



UNIVERSIDADE DO ESTADO DO RIO DE JANEIRO
CENTRO BRASILEIRO DE PESQUISAS FÍSICAS

PROJETO FINAL DE GRADUAÇÃO

TÍTULO:

**“PROGRAMADOR DE PULSOS DE SEQUÊNCIA ARBITRÁRIA,
APLICADO A RESSONÂNCIA MAGNÉTICA NUCLEAR PULSADA,
IMPLEMENTADO COM PROGRAMA DE CONTROLE LabVIEW E
TECNOLOGIA PLD”**

Aluno:
Ali Kamel Issmael Junior

Orientador:
Prof. José Franco Machado do Amaral - (UERJ)

Orientadores Convidados:
Prof. Geraldo Cernicchiaro - (CBPF)
Prof. Ivan S. Oliveira – (CBPF)

Coordenador da Disciplina:
Prof. Paulo Alonso

Julho de 1999

**Atmosphere - Joy Division
(Ian Curtis - H1956 +1980)**

**Walk -- in silence
Don't walk away -- in silence
See the danger -- always danger
Endless talking -- life rebuilding
Don't walk away**

**Walk -- in silence
Don't turn away -- in silence
Your confusion -- my illusion
Worn like a mask
of self-hate
Confronts and then dies
Don't walk away**

**People like you -- find it easy
Naked to see -- walking on air
Hunting by the rivers, through the streets,
every corner abandoned to soon
Set down with due care
Don't walk away -- in silence --
Don't walk away**

Agradecimentos

Sempre em nossas vidas, chegamos a momentos em que nos deparamos com desafios à nossa própria existência. E isso em todos os campos possíveis. Neste momento particular, em que eu estou obtendo a minha graduação em Engenharia Eletrônica, isto não poderia ser diferente.

Muitas vezes, me questionaram sobre o porque de se estar fazendo Engenharia, e ainda mais Eletrônica, em um país que, aparentemente, não se importa muito em querer desenvolver coisas. Eu só poderia responder:

- Ora, meu amigo, eu sou louco!

Mas pensando bem, acho que não é tão loucura assim. A pretexto de se falar coisas bonitas, nós podemos parecer um tanto quanto piegas, em nossas convicções. Mas realmente, depois de 5 anos estudando, lutando, e, às vezes, até sem acreditar que se pode "chegar lá", acho que todo formando em Engenharia deveria refletir em como chegamos até aqui. E agradecer. Agradecer muito. No meu caso eu agradeço à:

Minha mãe, Maria de Fátima, que muitas vezes precisou de minha ajuda, já que quando eu tinha acabado de entrar na faculdade, meu pai nos abandonou. E mesmo assim ela sempre esteve presente. Tirava forças às vezes de onde não se tinha, e me incentivava. Para ela, eu dedico uma grande parte desta vitória.

Os amigos. Pessoas que fazem muita diferença nesta vida. Tenho dois que gostaria de fazer um certo destaque. Meus amigos Fábio e Fernando. São exatos 14 anos que conheço o Fábio e 11 que eu conheço o Fernando. E durante todo este tempo, aprendemos uns com os outros o significado da palavra amizade. Que a vida perpetue a FAF!

Há também uma pessoa especial, que apesar de agora não estar fisicamente presente comigo, sempre me deu apoio e força. E, como minha primeira namorada, me deu também afeto, carinho e algo que falta muito às pessoas hoje em dia: o amor. Não só o amor entre um homem e uma mulher, mas o amor que te revitaliza e te dá forças para tentar mudar e melhorar as coisas. Minha querida Silene.

Nesta jornada há também pessoas que ajudaram não só pelo apoio, mas também pelo convívio. Me refiro aos meus companheiros de meio acadêmico. São muitos, mas se eu me esquecer de alguém, não me recriminem, eu sei quem vocês são e vocês também sabem.

Aos amigos do CBPF: Prof. Ivan, Prof. Alberto, Prof. Geraldo, Vitinho, Salvador, Israel, Aline, Flávio, Herman, Stephanini, Wanderley, Elber, Flavinho e Marior.

Aos amigos da UERJ: Prof. Franco, Prof. Migon, Prof. Weber, Prof. José Paulo, Williams, Márcio Careca, André de Jacarepaguá, Alexandre e Cadeirudo do Varandas(vou cobrar o comercial), Paulo Muralha, Leonardo Chola, Antônio(grande pessoa), Luís Monnerat , Elisa, Kátia, Ana Paula, Ana Cristina, Eduardo Albani, Philippe, Alessandra, Nicholas entre outros.

E aí, toda a loucura começa a fazer sentido. Acho que agora, podemos entender porque chegamos até aqui. Chegamos, porque lutamos por nós e pelas pessoas que amamos, para que possamos ter capacidade de oferecer à elas e às nossas próximas gerações um futuro e um país melhor. Obrigado à todos.

Índice

<i>Agradecimentos.....</i>	Pág. 02
<i>1 - Introdução.....</i>	Pág. 04
<i>2 - A Ressonância Magnética Nuclear.....</i>	Pág. 05
<i>2.1 - O Fenômeno da Ressonância.....</i>	Pág. 05
<i>2.2 - Como se obtém a Ressonância Magnética Nuclear.....</i>	Pág. 06
<i>2.3 - O espectrômetro de RMN.....</i>	Pág. 09
<i>3 - O Programador de Pulses.....</i>	Pág. 11
<i>3.1 - O Princípio de Funcionamento.....</i>	Pág. 12
<i>3.1.1 - A Placa Padrão PPDI-2.....</i>	Pág. 13
<i>3.1.1.1 - I/O em um sistema PC.....</i>	Pág. 14
<i>3.1.1.2 - Princípio de Funcionamento da Placa PPDI-2.....</i>	Pág. 16
<i>3.1.2 - O Contador Programável e a Static-Ram.....</i>	Pág. 17
<i>3.1.2.1 - A Static-Ram.....</i>	Pág. 18
<i>3.1.2.2 – O Contador Programável.....</i>	Pág. 20
<i>3.1.2.2.1 – A tecnologia PLD.....</i>	Pág. 21
<i>3.1.2.2.2 – O software Max-Plus II.....</i>	Pág. 24
<i>3.1.2.3-Considerações sobre o Contador e a Static-Ram.....</i>	Pág. 32
<i>4 - A linguagem LabVIEW e o Software de Controle.....</i>	Pág. 37
<i>4.1 – A Linguagem gráfica LabVIEW.....</i>	Pág. 37
<i>4.2 – O Software de Controle.....</i>	Pág. 39
<i>5 – Conclusões.....</i>	Pág. 44
<i>6 – Anexo I - Esquemas.....</i>	Pág. 45
<i>7– Anexo II – Data Sheets</i>	Pág. 50

Capítulo 1 - Introdução

O movimento da magnetização de um sistema paramagnético sob a ação de campos magnéticos é descrito pelas Equações de Bloch (1946). Sob a ação de campos pulsados, essas equações tem como soluções os chamados ecos de spin, que são sinais transientes que representam uma refocalização da magnetização no seu plano de precessão. Em uma medida de Ressonância Magnética Nuclear Pulsada (RMN), uma amostra é submetida a campos magnéticos e pulsos de Rádio Freqüência com amplitude, largura e separação entre eles definidos por um gerador de pulsos. A seleção destes parâmetros que caracterizam os pulsos em um espectrômetro, normalmente é feita no próprio gerador de pulsos, entretanto de maneira limitada. O programador de pulsos deste trabalho está sendo desenvolvido com o objetivo de automatizar a seleção destes parâmetros, tornando as seqüências de pulsos por cada canal independente uma das outras, utilizando alta tecnologia em instrumentação, com um custo baixo.

O sistema é baseado na gravação e leitura de uma Static-Ram de 512k(adress) x 8-bit. Logo, devido as características do projeto, temos 7 canais de saída de pulsos. Este processo é controlado via software LabVIEW e permite que a seqüência de pulsos possa ser obtida através de três modos:

- a)Loop – a saída repete a seqüência programada em loop, ou seja, indefinidamente, a menos que o usuário a interrompa.
- b)One Shoot – Um único disparo da seqüência.
- c)External Trigger – O usuário pode disparar o sistema através de um sinal externo ao programador de pulsos.

A saída de pulsos possui nível TTL . O tempo mínimo de um pulso é 20 ns e o tempo máximo, devido ao tamanho da memória (512 k x 20 ns) seria de 10 ms. Porém para ampliar este tempo máximo, nos utilizamos de um divisor de clock de 8 bits, o que permite que tenhamos um tempo máximo de aproximadamente 2,68 s. Para pulsos de 20 ns, o número máximo de pulsos por canal é a metade do número de endereços, ou seja, 262144 pulsos.

Neste trabalho iremos descrever os princípios básicos da Ressonância Magnética Nuclear e a importância do programador de pulsos em um experimento deste tipo, as ferramentas utilizadas para a realização do projeto (PLDs, o software Max-Plus II da Altera, a placa padrão para PC PPDI-2 da Delta São Paulo e o software LabVIEW da National Instruments) e os passos seguidos para a realização do projeto.

Capítulo 2 - A Ressonância Magnética Nuclear

2.1 - O Fenômeno da Ressonância

A ressonância é um dos fenômenos mais estudados pela física, pois aparece em quase todos os tipos de sistemas mecânicos, acústicos, ópticos, elétricos e magnéticos. Ela ocorre sempre em que ocorrem estímulos cuja freqüência é próxima das vibrações naturais destes sistemas. O aproveitamento desse fenômeno se verifica em diversas atividades como, por exemplo, a sintonia de um receptor de rádio, onde a ressonância ocorre no momento em que ajustamos a freqüência do oscilador do aparelho com a freqüência da onda transmitida pela estação emissora. Em instrumentos musicais de cordas, onde só as freqüências naturais relacionadas a cada corda, são amplificadas na caixa acústica a ponto de se tornarem audíveis. O fenômeno da ressonância manifesta-se também nos níveis molecular, atômico, eletrônico e nuclear. Neste último caso, é de natureza magnética, sendo por isso chamada de Ressonância Magnética Nuclear (RMN). Ela resulta do fato de certos núcleos possuírem um momento angular intrínseco chamado de spin e um momento magnético associado. Podemos imaginar o comportamento dos núcleos atômicos como próximo ao de peões magnetizados cujos pólos se situam nos extremos de seu eixo de rotação. A força magnética produzida por um campo magnético B_0 forçará o peão a executar um movimento de precessão, da mesma forma como a gravidade faz precessionar um peão de brinquedo, de modo que o movimento giratório da parte livre do seu eixo desenhe um cone no espaço. Para caracterizar esse movimento, podemos medir quantas vezes por segundo o eixo completa a figura do cone, o que nos fornece a chamada freqüência de Larmor (ω), diretamente proporcional à intensidade do campo magnético:

$$\omega = \gamma B_0$$

onde γ é a constante de razão giromagnética, cujo valor difere não só para cada elemento químico, como também para cada isótopo de um mesmo elemento.

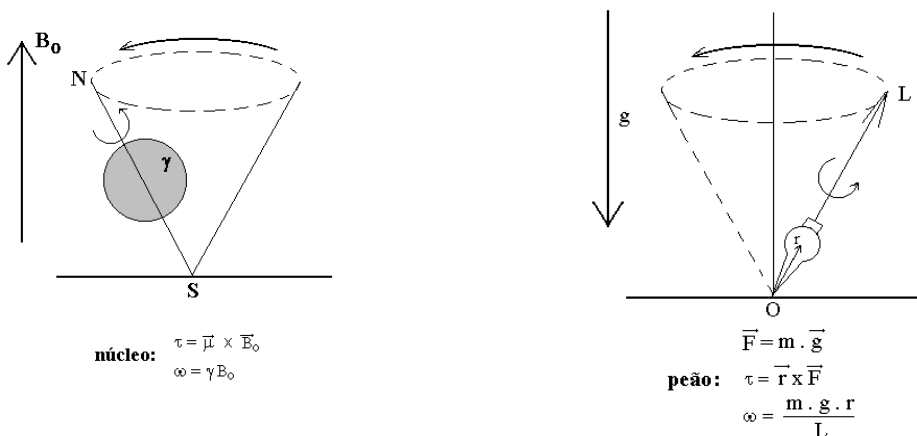


Figura 1 - Um núcleo dotado de momento magnético, precessa devido a aplicação de B_0 , assim como um peão precessa devido a gravidade.

2.2 - Como se observa a Ressonância Magnética Nuclear

Quando uma amostra é colocada em um campo magnético, uma parte dos núcleos nela contidos vence a agitação térmica dos átomos e se orienta preferencialmente ao longo do campo, criando uma magnetização M_o , paralela a B_o . O plano perpendicular a B_o não adquire qualquer magnetização macroscópica, já que os movimentos de precessão dos núcleos individuais são, em geral, independentes e não correlacionados; por isso, as diferentes projeções dos seus momentos magnéticos apontam para todas as direções do plano e acabam por se anular, alcançando assim o equilíbrio termodinâmico do sistema.

É importante lembrar que a Ressonância Magnética Nuclear pode ser aplicada em materiais magnéticos, ou seja, materiais que já possuem em sua estrutura molecular orientações específicas dos spins dos núcleos, de forma que já possuem este campo B_o em seu interior (os imãs por exemplo). Neste caso, a RMN seria utilizada para o estudo das características magnéticas destes materiais, como o estudo local de mudanças nas amostras em função da concentração de certo elemento, da temperatura, da magnetização, etc., sem a necessidade de aplicação de um campo B_o externo. Este método é conhecido como "Zero Field Pulsed" NMR, ou seja, Ressonância Magnética Nuclear Pulsada com Campo Zero.

Este é o método usado no Laboratório de Ressonância Magnética Nuclear do Centro Brasileiro de Pesquisas Físicas (CBPF), onde são aplicados dois pulsos à amostra, e um sinal devido à magnetização é observado após um intervalo de tempo igual à separação entre estes (eco de spin), que será explicado mais adiante. Em experimentos de RMN em materiais ordenados magneticamente (ex. ferromagnetos), não é necessário aplicar-se um campo magnético externo, pois a ressonância é observada no campo hiperfino, campo magnético interno ao qual estão submetidos os núcleos nestes materiais. Os sinais de RMN observados em materiais ferromagnéticos são aumentados em relação àqueles observados em amostra não ordenadas, por efeito do acoplamento entre os momentos magnéticos nucleares e os momentos atômicos.

Prosseguindo a explicação da RMN, para se retirar a situação de equilíbrio do sistema magnetizado, aplica-se sob a forma de um pulso (isto é, durante um intervalo pequeno de tempo), um segundo campo magnético B_1 no plano perpendicular a B_o . A orientação deste novo campo deve mudar com uma freqüência igual à de Larmor, de modo que a precessão da magnetização em torno do campo total ($B_o + B_1$) induza um movimento em espiral. Terminada a ação do pulso, a magnetização formará, com a direção de B_o , um ângulo que dependerá da intensidade de B_o e do tempo de aplicação do pulso. Para descrever o efeito desses pulsos sobre a magnetização costuma-se falar de pulsos de $\pi/2$ e pulsos de π , pois eles provocam, respectivamente, rotação de 90 e 180 graus nos núcleos individuais, conforme pode ser visto abaixo:

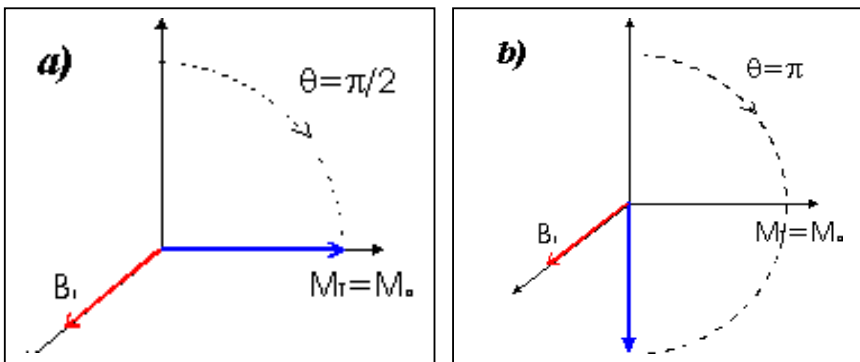


Figura 2- a)Pulso $\pi/2$ e b)Pulso π , representados do ponto de vista de um observador imaginário que se encontra girando com uma freqüência $\omega=\gamma B_0$. Ele verá o aumento do ângulo de precessão como uma simples rotação de M em torno do campo aplicado B_1 , que lhe parecerá estacionário.

Para a maioria dos núcleos e para campos magnéticos B_0 da ordem de 1000 a 10000 Gauss, a freqüência de Larmor fica na faixa de radiofreqüência. No caso da Ressonância sem campo aplicado, onde as amostras magnéticas possuem campos bem baixos, a freqüência de Ressonância fica na faixa dos MHz. Para se obter o campo rotante na freqüência de Larmor requerida, coloca-se a amostra dentro de uma bobina alimentada por um gerador de radiofreqüência (figura 3).

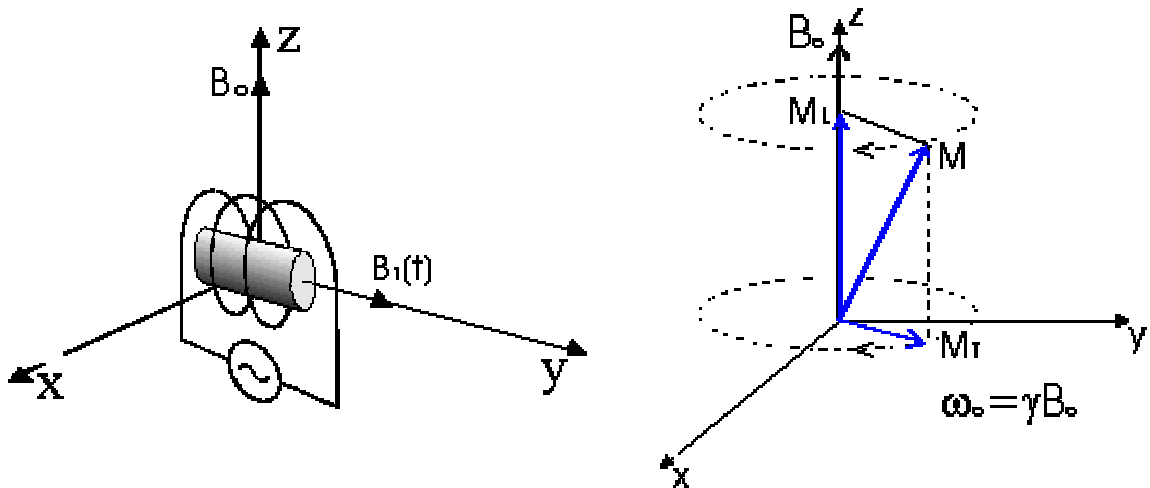


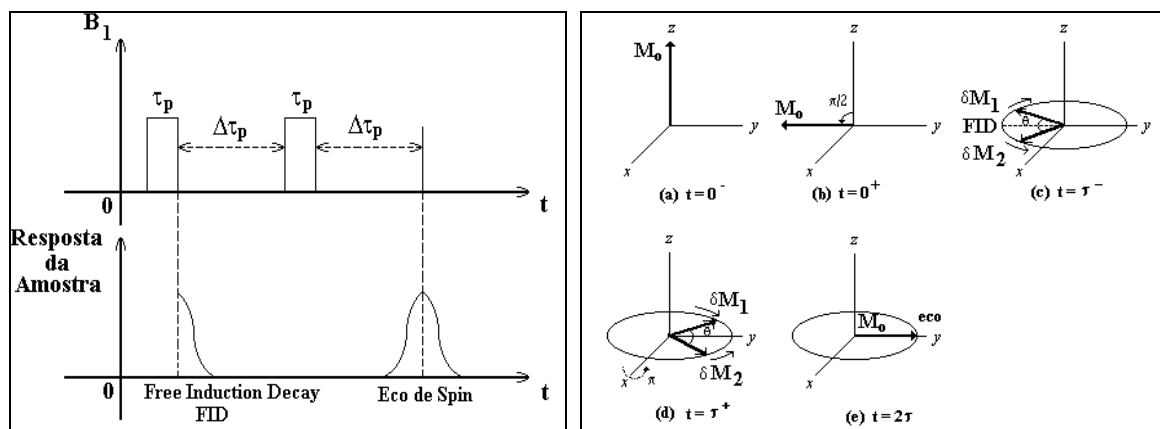
Figura 3 - A bobina de RF com a amostra, a disposição física dos campos magnéticos em um experimento de RMN e a influência destes campos em relação a Magnetização M , no referencial girante citado na figura 2.

No fim da aplicação do pulso de $\pi/2$ temos uma situação de não equilíbrio, na qual a magnetização (agora perpendicular ao campo externo B_0 e dotada de um movimento de precessão em torno de B_0 com freqüência ω) induz na própria bobina, uma tensão de mesma freqüência, cuja amplitude é proporcional à magnetização transversal. Esta bobina captará os sinais fracos, induzidos pela magnetiza-

ção transversal, chamados de "sinais de RMN", passíveis de observação e mensuração.

Ao retornar exponencialmente para o valor de equilíbrio, a magnetização transversal faz com que o sinal induzido por ela na bobina de B_1 , decaia a zero da mesma forma, gerando um sinal muito rápido, chamado de decaimento da indução livre ou, do inglês, FID (Free Induction Decay). Tal decaimento representa o efeito da interações entre os spins nucleares e dura nos materiais sólidos metálicos algo na ordem de microssegundos, nos líquidos na ordem de segundos e valores entre 0,4 e 1 segundo em materiais biológicos.

Durante o período de existência do FID, ocorre a perda de coerência de fase dos núcleos do plano transversal. Isto resulta da não uniformidade do campo magnético estático, sendo esta característica conhecida como inhomogeneidade do campo B_0 . Esta coerência de fase pode ser recuperada através da aplicação de um pulso π , que gera os chamados ecos de spin. Nós podemos entender a ocorrência destes sinais transitórios (FID e ecos de spin) através da figura abaixo, que descreve a técnica de RMN pulsada, utilizada no Laboratório do CBPF:



τ_p - Largura dos pulsos

$\Delta\tau_p$ - Intervalo entre os pulsos

FID - Decaimento da Indução Livre
(Free Induction Decay)

(a) Em $t=0^-$ a Magnetização, M_0 , está em equilíbrio ao longo da direção de z .

(b) Mostra a magnetização imediatamente após o pulso $\pi/2$.

(c) Elementos de magnetização, δM_1 e δM_2 , precessam com um ângulo θ , devido a inhomogeneidade do campo magnético estático, gerando o FID.

(d) Mostra o efeito de um pulso π sobre os elementos δM_1 e δM_2 .

(e) Todos os elementos de magnetização são refocalizados ao longo da direção y , formando o eco de spin.

Figura 4 - Descrição da obtenção dos ecos de spin

Um dos objetivos mais gerais na RMN, é se fazer uma varredura em freqüência da intensidade do eco de spin. Ou seja, muda-se a freqüência de B_1 , e obtém-se a variação da resposta da amostra. Os equipamentos que realizam este tipo de experiência são os chamados espetrômetros.

2.3 - O espetrômetro de RMN

Podemos considerar uma analogia para tentar explicar o que é um espetrômetro de RMN. Muitas vezes, em cursos de Eletrônica, se faz necessário traçar a curva de resposta em freqüência de alguns circuitos, como filtros por exemplo. Para isso se tenta encontrar a função de transferência do filtro, que representa a variação do sinal de saída, com a mudança de freqüência do sinal de entrada. Ou seja, uma vez excitada a entrada do sistema com um sinal oscilante, mede-se o sinal de saída, variando-se a freqüência da excitação da entrada. Em RMN, o filtro corresponderia a amostra e o espectro de freqüência obtido, a função de transferência. Por isso o equipamento de RMN que levanta este espectro de freqüência das amostras é chamado de espetrômetro.

Dependendo da aplicação, todo o instrumental eletrônico para a utilização da RMN se altera. Como nós já vimos, a RMN pode ser usada em diversos campos de aplicação, como a medicina, por exemplo. O instrumental de um tomógrafo de RMN é bem diferente do utilizado em um espetrômetro de RMN utilizado em laboratório de magnetismo. O equipamento em uso no laboratório de RMN do CBPF (um espetrômetro) consiste de:

- a) um sintetizador que gera a radiofreqüência (rf) nas freqüências exigidas;
- b) um modulador que forma os pulsos a partir da senóide original;
- c) um programador de pulsos que define as larguras, separações e taxa de repetição dos pulsos;
- d) um amplificador de rf que eleva a potência dos pulsos;
- e) uma bobina que irradia a rf e capta os sinais de RMN,
- f) um receptor,
- g) um pré-amplificador ,
- h) um sistema de aquisição de dados que digitaliza os sinais, e
- i) um computador que controla o programador e a aquisição de dados.

As medidas são em geral realizadas a 4,2 K, com aquisição automática dos espectros de RMN. A faixa de freqüências de operação é de 5 MHz a 220 MHz, o que permite estudar as ressonâncias em sistemas metálicos com metais de transição "d" e as terras raras "s" (ex. Gd), ou não magnéticas (La, Y).

Logo, ao se observar as características do nosso sistema, o que concluímos é que ele é semelhante a um sistema de radiotransmissão. Essa analogia inclusive pode explicar o funcionamento dos espetrômetros de RMN. No rádio, a informação desejada na faixa de audiofrequência é combinada com uma onda portadora que está na faixa de radiofreqüência, na estação transmissora. Este processo é chamado de modulação. A onda portadora modulada é enviada através do ar e recebida por um receptor sintonizado na freqüência da portadora. Depois de um bloco de amplificação, a onda portadora é removida do sinal total por um processo chamado demodulação, conseguindo assim separar o sinal desejado e enviá-lo até os alto-falantes. Na RMN pulsada, a freqüência da onda portadora é a freqüência de Larmor. Ela é modulada através dos pulsos gerados no Programador de Pulses, e esse sinal composto é amplificado e enviado até a bobina que contém a amostra. Essa amostra é, então, excitada e induz na própria bobina os sinais de RMN (FID e eco de spin) modulados com a freqüência da portadora. Esses sinais são novamente amplificados e enviados ao sistema receptor que filtra as componentes destes sinais das portadoras e os envia para o sistema de digitalização e envio para o computador, para tratamento do sinal e obtenção do espectro de RMN. Este processo pode ser entendido através da figura abaixo:

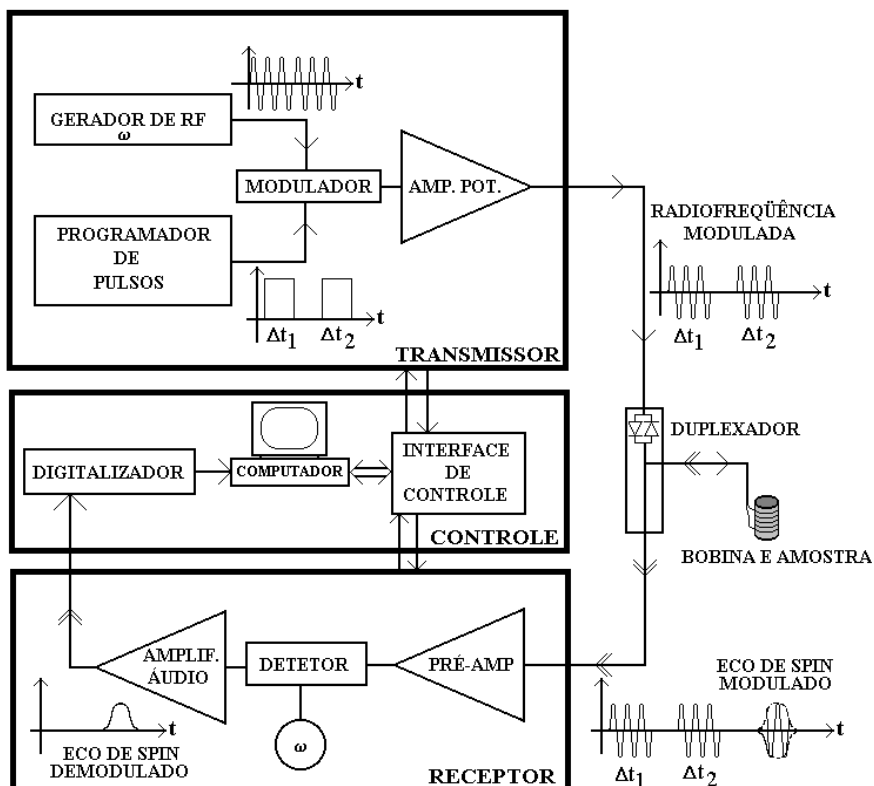


Figura 5 - Diagrama de Blocos Simplificado de um espetrômetro de RMN Pulsada

É importante lembrar que as bobinas com as amostras do laboratório de RMN do CBPF, ficam imersas em hélio líquido dentro de um criostato, a 4 Kelvin.

Vendo a figura 5, entendemos porque o programador de pulsos se faz necessário. Através do controle dos parâmetros de largura de pulso e espaçamento entre os mesmos, obtemos variações na forma e intensidade do eco de spin, que podem transmitir informações importantes para os usuários deste equipamento.

Capítulo 3 - O Programador de Pulses

Como vimos no último item, do capítulo anterior, a principal finalidade do programador de pulsos é gerar pulsos que possam ter seus parâmetros controlados. Esses parâmetros são o número de pulsos, sua amplitude, a largura de cada pulso, e o respectivo espaçamento entre eles.

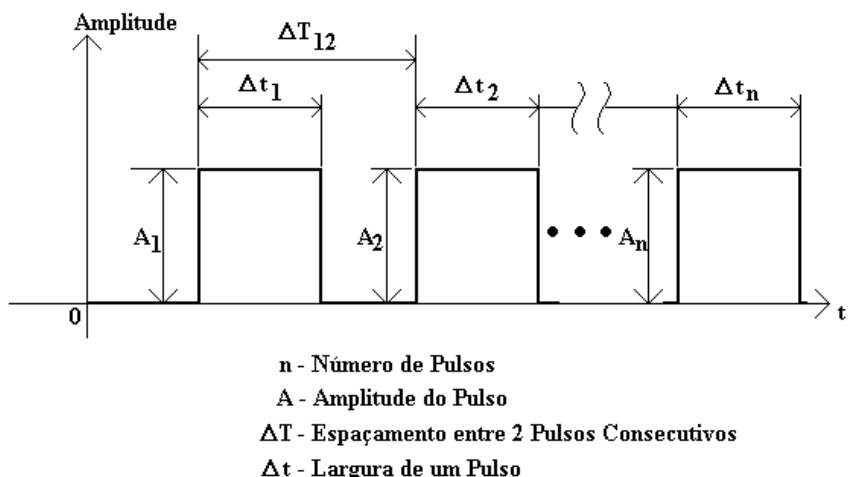


Figura 6 - Parâmetros Gerais de Controle de Pulses

Outra característica a ser considerada em um programador de pulsos é a forma como é feito o controle. O controle pode ser analógico ou digital. O controle analógico caracteriza os geradores de pulso convencionais, onde o controle normalmente é realizado através de knobs, ligados mecanicamente a potenciômetros que fazem parte de circuitos projetados especificamente para o controle de cada um dos parâmetros vistos acima. No caso dos controles digitais, normalmente são utilizados sistemas microprocessados dedicados, onde um software armazenado em memória ou transmitido através de interfaces para computadores, se encarrega de gerenciar o sistema e de fazer o papel dos knobs no controle analógico, ou seja, definir os parâmetros.

Neste projeto, utilizamos um Programador de Pulses de controle digital, só que com algumas diferenças em relação ao que foi descrito acima. Pretendemos nos próximos tópicos explicar detalhadamente, como é o princípio de funcional-

mento deste Programador de Pulses, como ele foi desenvolvido, e o uso das ferramentas de projeto.

3.1 - O Princípio de Funcionamento

A primeira coisa que temos que definir na construção de um Programador de Pulses, são as suas características de trabalho. Ou seja, quais são os parâmetros que ele permite controlar e em que limites ele permite o controle. No caso deste programador de pulsos, não nos preocupamos em controlar a amplitude dos pulsos, pois nos experimentos de RMN, a amplitude de saída dos pulsos é fixa, e após a modulação com a rf, o sinal é amplificado para os níveis desejados. Normalmente o nível TTL é plenamente satisfatório para a amplitude destes pulsos, e este padrão foi adotado para este projeto. Os parâmetros que pretendemos controlar são o número de pulsos, a largura de cada pulso e o espaçamento entre eles.

Como limites, colocamos como largura mínima para um pulso, o tempo de 20 ns. O tempo máximo depende da escolha de uma memória Static-Ram. Como isso ainda não é importante agora, pois precisamos entender como o sistema funciona, chegaremos à essa informação mais adiante.

Como já foi citado, os sistema se baseia em um controle digital. Para compreender o sistema vejamos o seu diagrama de blocos:

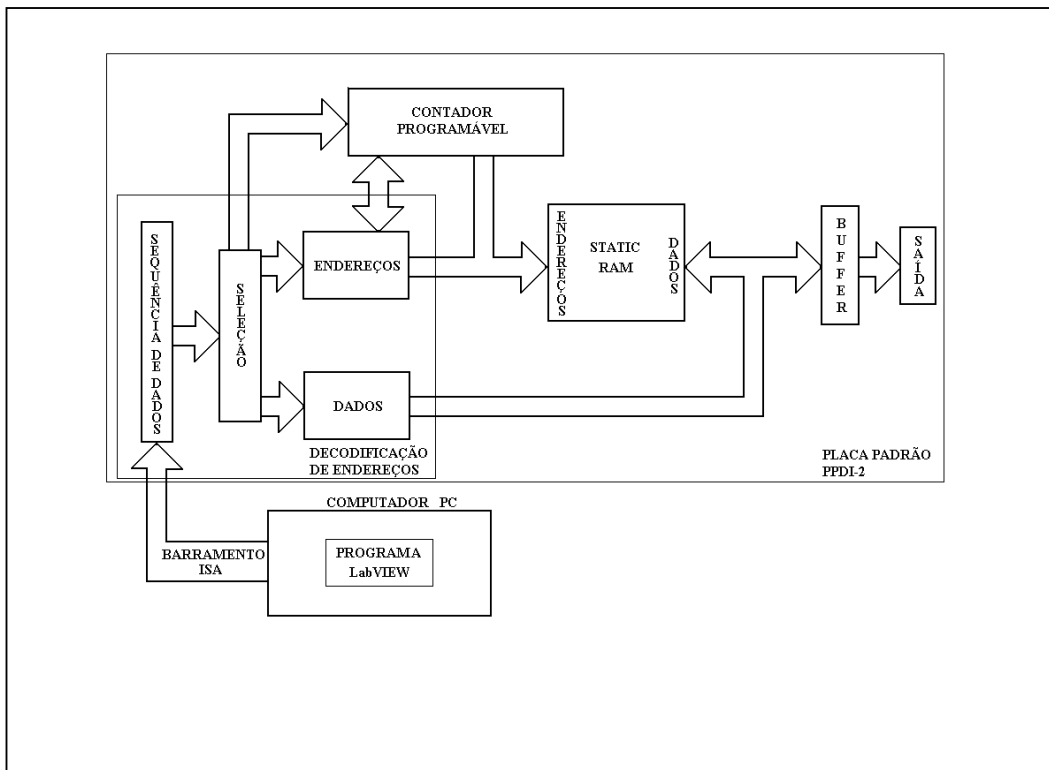


Figura 7- Diagrama de Blocos do Projeto

O que podemos ver no diagrama de blocos acima é que a primeira grande diferença em relação ao controle digital comentado no começo deste capítulo, é que ao invés do hardware ser dedicado, ele será inserido diretamente ao barramento ISA de um computador tipo PC, através de uma placa padrão comercial de interface para o computador, PPDI-2, da Delta São Paulo, com circuito decodificador pronto para portas de Entrada/Saída. Outro fator, é a forma de se gerar os pulsos. Se baseia em gravação e leitura de uma Static-Ram, sendo gerados os pulsos através da mudança de endereços da Static-Ram e o envio de dados previamente gravados (programação dos pulsos) para a saída do sistema. Uma vez gerada uma seqüência de pulsos, a forma como será fornecido, é definida através do controle de um Contador Programável, que permite que se obtenha os pulsos de maneira contínua e repetida (modo LOOP), apenas de uma única vez (modo ONE SHOOT) ou através de um disparo externo (modo EXTERNAL TRIGGER). Na projeto e confecção deste Contador Programável, nos utilizamos da tecnologia de integração de sistemas eletrônicos conhecida como PLD (Programmable Logic Devices).

Todo este aparato de possibilidades é controlado via software, onde, neste projeto, incluímos uma novidade em termos de programação. Nos utilizamos do software para instrumentação LabVIEW, onde a linguagem não é estruturada em comandos em um prompt, mas sim blocos lógicos interligados, como em um fluxograma.

Agora, vamos detalhar cada bloco deste projeto, procurando explicar sua função e como foi desenvolvido.

3.1.1 - A Placa Padrão PPDI-2

A placa PPDI-2, da Delta-São Paulo, que pode ser vista nas figuras 8(a) e 8(b), é utilizada no desenvolvimento de interfaces para computadores da linha IBM-PC, XT e AT. A grande vantagem desta placa é que ela já comporta um circuito eletrônico para seleção de endereços. Ela originalmente comporta 4 endereços de portas de saídas e 4 endereços de portas de entrada, podendo ser expandidos para mais 4 de saída e 4 de entrada. Ou seja, ele pode comportar até 64 sinais (32 de entrada e 32 de saída) expandidíveis até 128 sinais (64 de entrada e 64 de saída). Neste circuito é possível, através de um DIP Switch, selecionar qualquer faixa de endereços de I/O. Ela possui, ainda, 2500 furos metalizados espaçados de 0,1 polegada, para montagem de soquetes para wire-wrap ou outros componentes para protótipos.

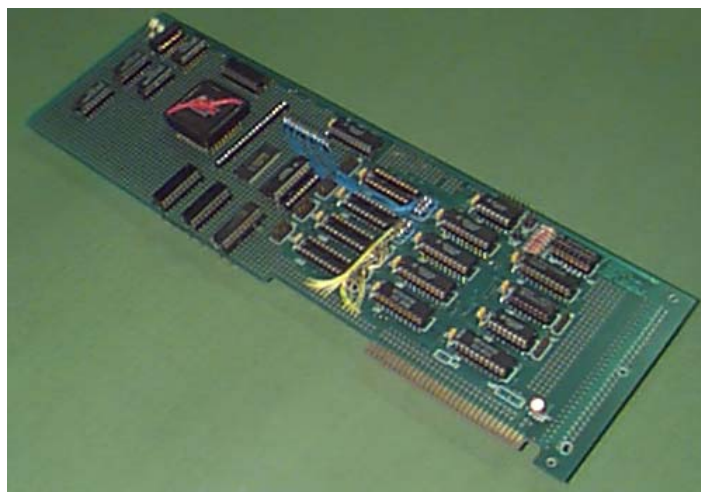


Figura 8 – Foto Frontal da Placa PPDI-2

O seu circuito de decodificação pode ser visto no Anexo I - Esquemas, desenho PROGPUL-01. Antes de explicá-lo, vamos explicar como a arquitetura PC implementa as operações de I/O e quais os sinais do barramento ISA-PCI que estão envolvidos nesta operações.

3.1.1.1 - I/O em um sistema PC

O PC permite uma faixa de 1024 endereços específicos para I/O e eles podem ser acessados através de instruções IN e OUT do microprocessador. Este endereços em hexadecimal vão de 000h até 3FFh e é endereçada com os sinais A00 a A09 do barramento ISA-PCI. Esta faixa de 1024 endereços é dividida em duas grandes regiões:

a)Região Baixa - de 000h até 1FFh

É normalmente usada para operações com periféricos localizados na placa mãe (DMA, controlador de interrupções, timer, etc.)

b)Região Alta - de 200h até 3FFh

É usada para periféricos conectados através dos slots (discos, vídeo, impressora, etc.)

Apesar de acessar essas posições com os sinais de endereçamento do barramento, elas não se referem a posições de memória, ou seja, no PC não precisamos usar I/O mapeado em memória, uma vez que temos as instruções IN e OUT especificadas para operações de entrada e saída.

A seguir, podemos ver a configurações de sinais do barramento ISA-PCI, vistos a partir do slot do PC onde se encaixa a placa PPDI-2:

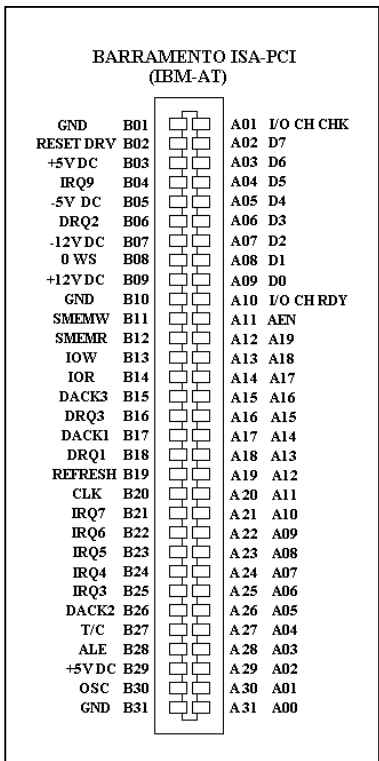


Figura 9 - A parte do slot do Barramento ISA-PCI em um computador IBM-PC AT, no qual se acopla a placa PPDI-2.

Os sinais de barramento usados nas operações de I/O são:

- O sinal de endereçamento propriamente dito:A00 a A08.
- O sinal de endereçamento A09, que para operações de I/O com periféricos conectados aos slots do micro, será sempre "1"(região alta da faixa de endereços).
- O sinal IOR e IOW que indicam se a operação é de entrada (da placa para o barramento) ou de saída (do barramento para a placa) respectivamente.
- O sinal AEN. O nosso sistema só pode responder aos outros sinais anteriores se este sinal estiver em "0". Este sinal em nível "1" indica que uma operação de Acesso Direto à Memória (DMA) está sendo efetuada e os sinais anteriores não podem ser utilizados pelo sistema.

Ou seja, Se $A09=1$, $AEN=0$ e $IOR=1$, temos uma operação de entrada. Se $A09=1$, $AEN=0$ e $IOW=0$, temos uma operação de saída. O endereço de I/O dessas operações é o número binário formado pelos sinais A00 a A09.

3.1.1.2 - Princípio de Funcionamento da Placa PPDI-2

Um circuito de seleção de I/O para um PC, nada mais é do que um circuito digital combinacional que responda aos sinais A09, AEN, IOR, IOW e ao conjunto A00 a A08. O circuito da placa PPDI-2 resolve esta seleção de uma forma bem simples.

O sinais A03 a A09 e AEN vindos do barramento são comparados por U1 (vide Anexo 1- desenho PROGPUL-01), que é um comparador de 8 bits 74688, com os sinais gerados a partir do DIP SWITCH S1. Note que, além dos sinais do DIP SWITCH, é fornecido ao comparador um sinal ligado a +5V e outro a 0V. Estes dois sinais serão comparados respectivamente com A09 e AEN, respectivamente. O resultado dessa comparação, combinado com os sinais de leitura (IOR) e gravação(IOW) serve para:

- Habilitar U2 e U3 (decodificadores 74138, de 3 para 8 bits) para que sinalizem os circuitos de entrada ou saída correspondentes;
- Habilitar e ativar o buffer bidirecional 74245, U4, de acordo com o sentido de transferência dos dados (entrada ou saída).

Normalmente, o sinal RST(reset), após inversão é aplicado aos circuitos de saída de modo que todos os sinais de saída da placa estejam zerados quando o micro é ligado.

O esquema não mostra os capacitores de desacoplamento C1 a C13 ($0,1\mu F$, disco) entre Vcc e GND de cada integrado e o capacitor C14 ligado a Vcc e GND, próximo ao conector do slot. Os integrados são todos TTL/LS por indicação do fabricante da placa. Normalmente não há problema de "timing", mesmo em micros mais velozes, pois o hardware do micro insere ciclos de wait nas operações de I/O para que o microprocessador possa interpretar as informações.

A seleção de endereços de I/O é feita fechando ou abrindo as 6 chaves mais à direita do DIP SWITCH. As chaves, da direita para a esquerda, olhando pelo lado dos componentes, correspondem aos sinais A03 a A08. Uma chave fechada gera um sinal "0" e aberta um sinal "1". Considerando que A09 é sempre "1", podemos escolher sub-faixas de endereços entre (200h) e (3F8h). O endereço selecionado no DIP SWITCH é o endereço base(mais baixo da sub-faixa), e varia em saltos de 8 em 8. No nosso projeto selecionamos o endereço 280h. A forma como as chaves do DIP SWITCH ficaram pode ser vista abaixo:

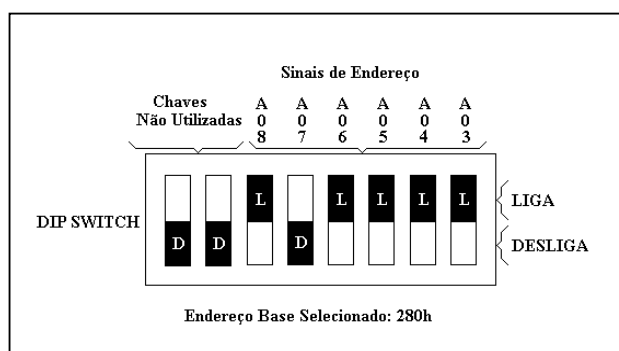


Figura 10 - DIP SWITCH para Seleção de Endereços de I/O na placa PPDI-2

Logo, dispomos de endereços de I/O que vão de 280h à 287h. Na placa já estão disponíveis, como já comentamos antes, 4 portas de entrada e 4 portas de saída. Podendo ser implementadas mais 4 para cada. No nosso projeto tivemos que implementar apenas um endereço de saída. E não utilizamos as portas de entrada.

Cada um desses 8 endereços possíveis de I/O (XX0h a XX7h), é definido pelos sinais A00,A01 e A02 que entram diretamente nos decodificadores 74138, U2 e U3. Para acessar esses endereços para teste, basta enviarmos comandos de entrada ou saída de dados, em linguagens como o assembler por exemplo. Nele se quisermos enviar um dado para o endereço 280h por exemplo, basta utilizarmos o comando OUT, conforme abaixo:

```
MOV AL, 01H  
OUT 280H,AL
```

Nele estamos enviando para o primeiro bit da porta 280h, o dado 1, armazenado no registrador AL.

Analogamente podemos ler dados de uma porta de entrada. Por exemplo

```
IN AL ,(280H)
```

Este comando carrega no registrador AL o valor lido no endereço 280H.

3.1.2 - O Contador Programável e a Static-Ram

Esses dois blocos são a alma do programador de pulsos. Como já foi citado anteriormente, o princípio de geração de pulsos é a gravação e o posterior envio destes dados da Static-Ram para a saída do programador de pulsos. Agora para que esses dados possam ser lidos, ou, na verdade, gerados para a saída do programador de pulsos, precisamos gerar os endereços na entrada da Static-Ram, para que na sua saída de dados apareça o que foi previamente gravado. A idéia lógica é se utilizar um contador, onde sua contagem em um determinado instante represente o endereço neste mesmo momento e seja enviado à entrada de endereços da Static-Ram. Mas não só a geração destes endereços em uma contagem ininterrupta nos interessa. É preciso que a forma como esses endereços são gerados na entrada da Static-Ram, possa ser controlada de forma a permitir que se possa variar o tempo de contagem entre um endereço e outro (clock), gerar uma seqüência ininterrupta(loop) ou não, onde podemos acionar uma seqüência de pulsos uma única vez (one-shoot) ou no momento que desejarmos(external trigger).

Para entender todo este processo, vamos explicar o princípio básico de funcionamento de uma Static-Ram, como ela pode gerar a seqüência de pulsos que nós desejamos, e como o Contador Programável, permite estas operações.

3.1.2.1 - A Static-Ram

A figura abaixo apresenta o bloco representativo de uma memória SRAM, com os terminais e barramentos já conhecidos e mais um terminal de controle $WE\bar{l}$ para habilitar a escrita. Ela possibilita a leitura ($WE\bar{l}=1$), ou escrita ($WE\bar{l}=0$) dos dados nas localidades endereçadas. A linha $OE\bar{l}$ é a habilitação da saída(output enable), a saída está presente quando ela está em "0" e ausente quando está em "1". Neste caso diz-se que ela está em terceiro estado ou com alta impedância, deixando assim a saída desconectada do circuito.

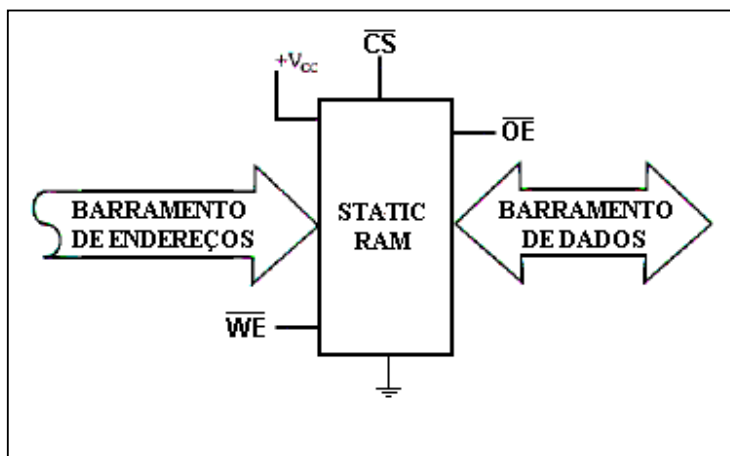


Figura 11 – Diagrama de uma Static-Ram

Uma RAM estática usa um flip-flop como a célula de memória básica. Uma vez armazenado em um flip-flop, o bit permanecerá lá enquanto houver alimentação, daí o termo "estática".

Para entendermos o funcionamento básico de uma RAM estática, vamos, inicialmente analisar o circuito de uma célula básica que permite a escrita e a leitura de 1 bit de informação. Este circuito é visto na figura 12.

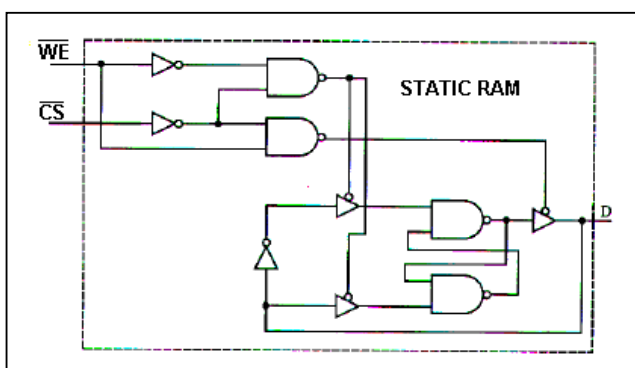


Figura 12 – Célula básica de memória

Para efetuar a escrita de um dado, devemos primeiramente selecionar a célula ($CS\bar{l}=0$) e passar o controle de leitura/escrita ($WE\bar{l}$) para 0. Logo após, aplicamos o dado no terminal D , agora configurado como entrada.

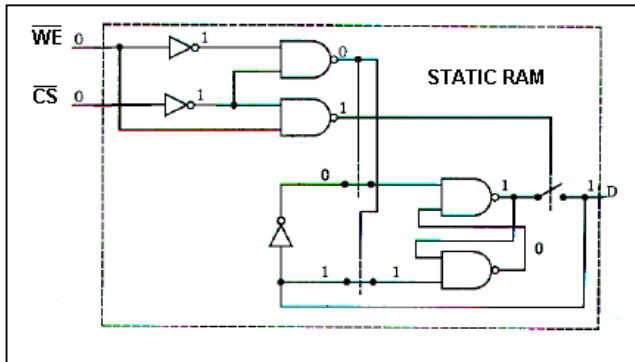


Figura 13 – Habilitação para envio de dado e sua gravação

A figura 13 apresenta a célula básica, com todas estas situações colocadas e, ainda como exemplo, a aplicação para armazenamento de nível 1 na entrada D.

Pela figura notamos que a porta NAND superior irá, através de nível 0 em sua saída, ativar as duas chaves (buffers), aqui substituídas pelos circuitos equivalentes, fazendo o dado ser aplicado ao flip-flop e consequentemente armazenado na saída. Enquanto isso, a outra porta, através de nível 1 em sua saída, irá desativar a chave de saída, permitindo a escrita ou entrada do dado.

Para efetuar a leitura, devemos também selecionar a célula ($CS \neq 0$), e passar o controle $WE \neq 1$, sendo obtido o dado armazenado pelo terminal D, agora configurado como saída. A figura 14 mostra esta situação colocada no esquema.

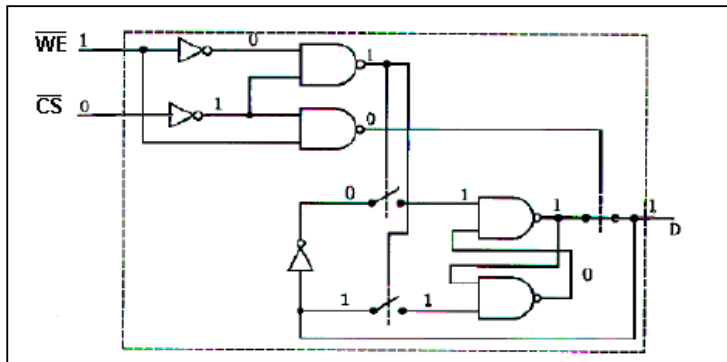


Figura 14 – Habilitação do dado gravado para a saída

Pela figura, notamos que a porta NAND superior, através de nível 1 em sua saída, irá desativar as chaves nas entradas das portas do flip-flop, impedindo a escrita de um novo dado. Estas entradas, estando em vazio devido à abertura das chaves, assumem nível 1, fazendo o flip-flop manter as suas saídas $Q_f = Q_a$ (círcuito elementar de um flip-flop RS). Enquanto isso, a outra porta NAND através de nível 0 em sua saída, irá ativar a chave na saída do flip-flop, fazendo um dado armazenado ser transportado à saída D.

No caso da célula não ser selecionada ($CS \neq 1$), as 2 portas NAND apresentarão nível 1 em suas saídas, mantendo as três chaves abertas, deixando a célula com a saída desativada (tri-state), impedindo qualquer escrita ou leitura de dados.

Este é o princípio básico para uma única célula. Na prática, nos utilizamos de várias linhas de endereços, onde cada endereço pode armazenar diversas linhas de dados. Por exemplo, no caso de nossa static-RAM, temos 512 Kbytes de endereços para 8 linhas de dados. Ou seja 18 bits de endereço, o que gera 2^{19} endereços de capacidade, cada um podendo armazenar até 8 bits de dados.

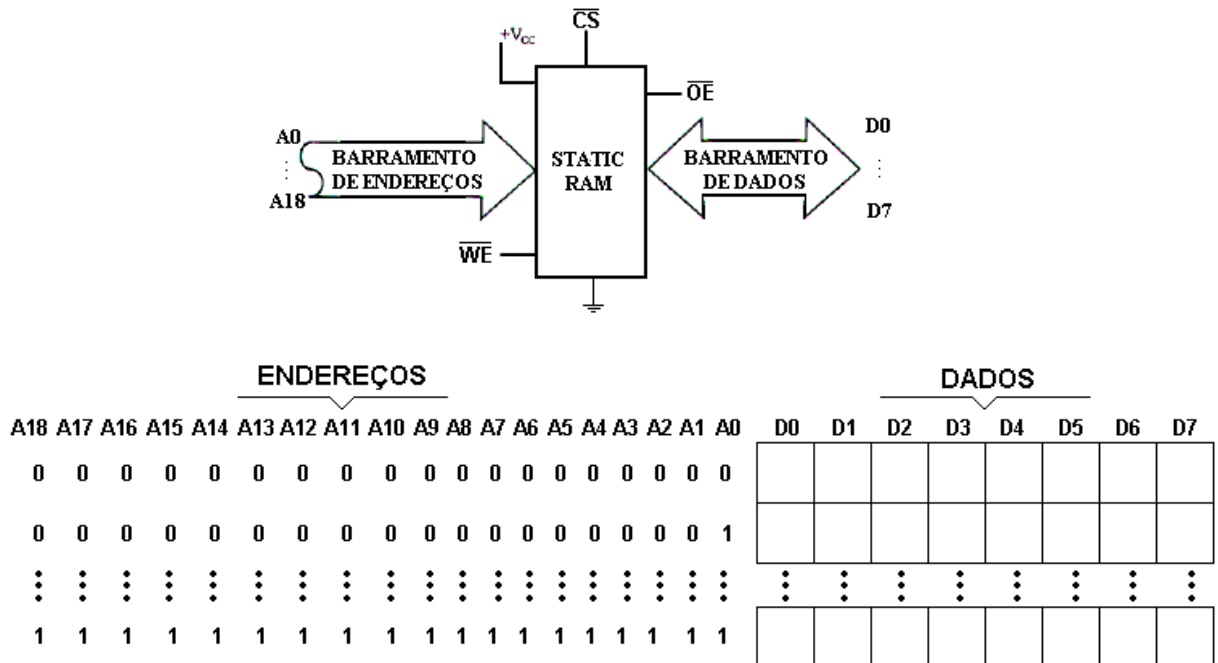


Figura 15 – Configuração e organização da Static-Ram utilizada no projeto com 512K(endereço) x 8-bits(dados)

3.1.2.2 – O Contador Programável

Como já citamos anteriormente, uma forma de se realizar a gravação e o posterior envio dos dados da Static-Ram seria utilizando um contador que permitisse estes procedimentos vistos no último tópico. Para realizar o projeto deste contador poderíamos utilizar circuitos integrados padrão TTL encontrados no mercado. Só que implementando o sistema dessa forma, teríamos problemas quanto a quantidade de circuitos integrados utilizados para se fazer um contador que pudesse englobar os 19 bits de endereço de nossa Static-Ram. Em virtude do espaço para montagem de protótipos da placa PPDI-2 ser pequeno para a montagem de um contador programável de 19 bits especificamente, resolvemos implementar o bloco com a tecnologia PLD (Programmable Logic Design).

Esta tecnologia em dispositivos semicondutores permite a integração de sistemas digitais complexos, ou relativamente grandes para serem implementados com circuitos integrados comuns, em uma única pastilha de silício. Neste projeto nos utilizamos da tecnologia de projeto e gravação de PLDs do fabricante Altera.

Para explicar o funcionamento e o circuito lógico do contador programável, vamos abordar paralelamente a tecnologia PLD e o software para confecção dos projetos lógicos Max-Plus II.

3.1.2.2.1 – A Tecnologia PLD

Uma tradução para PLD (Programmable Logic Devices) seria Dispositivos Lógicos Programáveis. E esta tradução já dá uma idéia do que eles se propõem. São circuitos integrados configuráveis pelo próprio usuário da tecnologia e usados para implementar sistemas lógicos digitais. As PLDs podem implementar qualquer expressão Booleana ou função com estruturas lógicas incorporadas, ao contrário de dispositivos TTLs comuns, dotados por apenas uma função lógica específica e que não podem ser modificados. Sendo assim, a primeira grande vantagem que se pode observar é a economia de espaço físico na placa de circuito. Para se montar determinados sistemas, pode necessitar-se de uma série de circuitos integrados TTL comuns. Estes circuitos integrados, dependendo da PLD escolhida, podem ser substituídos por um único circuito integrado.

O princípio da tecnologia PLD se baseia em “gates” (portas) programáveis contidos na pastilha semicondutora. A lógica digital consiste de uma série de sinais eletrônicos “on” ou “off”, que na verdade representam “1”(um) “0” (zero). Dois ou mais sinais de dados processados através de uma porta em um semicondutor cria um resultado específico, como é mostrado na figura 16.

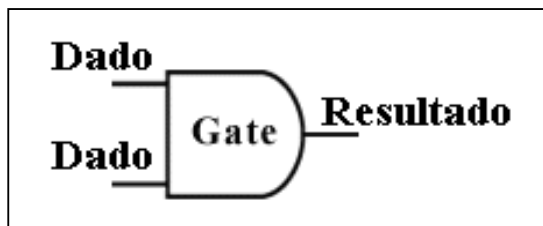


Figura 16 – Sinais de dados processados através de um “gate” (porta)

Gates são conectados juntos para se produzir funções que podem contar, multiplicar ou direcionar sinais. Alguns semicondutores contêm centenas de milhares de gates, que habilitados de certa forma, podem realizar múltiplas funções lógicas complexas.

A classificação dos tipos de PLDs existentes é feita baseada na forma como esses gates são construídos dentro do material semicondutor e a sua quantidade disponível na pastilha. No caso do fabricante Altera, ele se dedica ao ramo das PLDs com construção baseada na tecnologia de semicondutores CMOS, em duas famílias das CPLDs (complex PLDs): EPLD(Erasable Programmable Logic Devices), e FLEX Programmable Logic. Para se ter uma idéia da classificação das PLDs baseadas em CMOS, vejamos a figura a seguir:

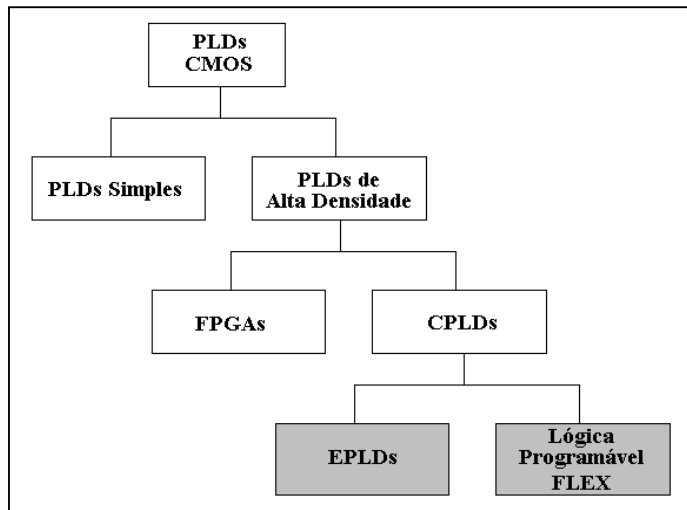


Figura 17 – PLDs fabricadas pela Altera (EPLDs e FLEX)

A família de PLDs CMOS se divide em PLDs Simples e PLDs de Alta Densidade. As de Alta Densidade possuem esse nome justamente por possuir uma maior quantidade de gates disponíveis que as simples. As de Alta Densidade se dividem em FPGA(Field-Programmable Gate Arrays) e CPLD(Complex Programmable Logic Device).

CPLDs e FPGAs tem diferentes estruturas de interconexão dos gates. A estrutura de interconexão das FPGAs é segmentada. Ou seja, utilizam múltiplas linhas de metal de diferentes comprimentos conectados por transistores de passagem ou anti-fusíveis para a conexão das células lógicas. Em contrapartida, a estrutura de interconexão das CPLDs é formada por linhas contínuas para fornecer uma conectividade lógica célula-a-célula lógica. Este tipo de PLD com estrutura contínua elimina os problemas imprevisíveis de atrasos associados a interconexão segmentada, além de ser mais rápida com os tempos de atraso entre células serem fixos. Ela também permite maior facilidade de implementação de projetos, reduzindo o tempo do processo de idealização do circuito lógico até a gravação no circuito integrado.

A organização interna de uma PLD é baseada em conjuntos de macrocélulas, que implementam as funções lógicas requeridas através dos gates internos à elas, inseridas em blocos separados e organizados através de barramentos e blocos de controle de saídas e/ou entradas disponíveis na pastilha. Para se ter uma idéia desta estrutura lógica, vejamos nas figuras 18 e 19 a macrocélula da família de EPLDs MAX7000, da Altera, que escolhemos para a realização do projeto e o seu respectivo diagrama de blocos:

EPM7032, EPM7032V, EPM7064 & EPM7096 Macrocelula

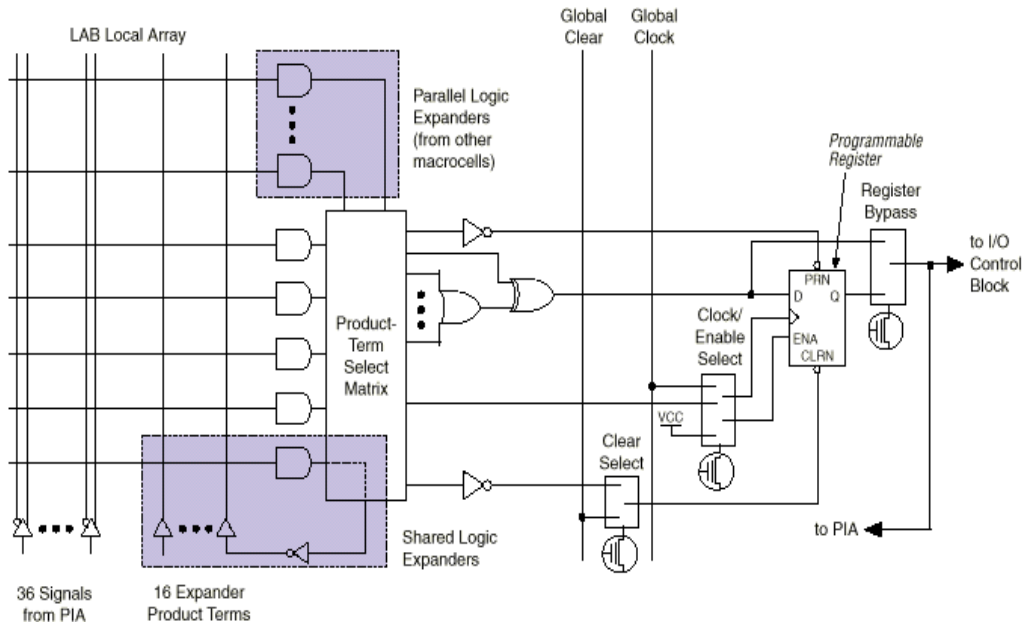


Figura 18- Organização interna de EPLDs da família MAX7000 – Macrocelula para implementação das funções lógicas

EPM7032, EPM7032V, EPM7064 & EPM7096 Diagrama de Blocos

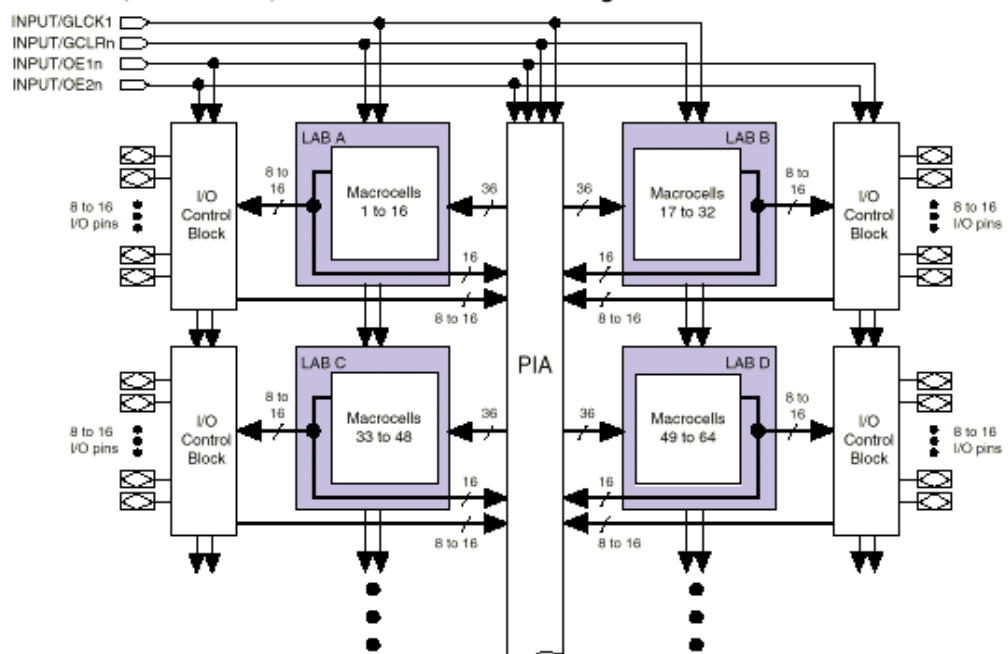


Figura 19- Organização interna de EPLDs da família MAX7000 - Diagrama de Blocos Interno de EPLDs.

Para a implementação de projetos lógicos e sua posterior gravação na PLD, precisamos dispor de um editor que permita a programação do circuito lógico que se deseja e que o compile no código fonte adequado para a gravação posterior da PLD. No caso das PLDs da Altera, nos utilizamos do software Max-Plus II. Iremos descrevê-lo no próximo tópico.

3.1.2.2.2 – O Software Max-Plus II

Conforme foi comentado, para se realizar um projeto de circuito lógico para PLDs, é necessário um software que gere o código fonte para a gravação. O software utilizado pelo fabricante Altera é o Max-Plus II.

Ele permite que se crie os projetos dos circuitos através de funções lógicas mais simples, como portas lógicas de 2 ou mais entradas, até blocos padrão da família TTL 74XXX, facilitando assim o projetista.

De uma maneira geral, os passos para se realizar um projeto de circuito lógico no Max-Plus II, tem os seguintes passos abaixo:

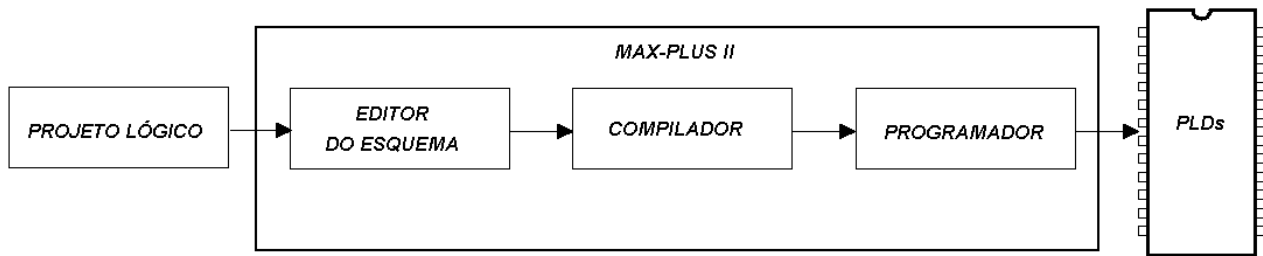


Figura 20 – Fluxograma do Processo de um Projeto de PLD

O Max-Plus II realiza a edição do esquema, compila o projeto para a geração do código fonte para gravação do chip e finalmente realiza a gravação no chip através de hardware adequado. Para o primeiro passo, devemos saber como será o nosso circuito a ser implementado. É o que veremos a seguir.

O projeto do Contador Programável englobou como primeiro passo a idealização do seu circuito. Este esquema é encontrado no anexo de esquemas, no final deste trabalho. Nele podemos reparar que temos um contador de 20 bits em código Gray. Isto é, ele conta em uma seqüência de troca de 1 bit diferente de cada vez. Isto foi utilizado para simplificação da programação dos pulsos.

O contador é sempre acionado através do START. Mas para isso, é necessário jogá-lo para “1” e causar um pulso no clock do flip-flop D. Agora para se escolher o modo de operação temos os outros bits de controle: ONESHOT, EXTERNAL e LOOPn.

- ONESHOT – toda vez que uma seqüência for completada, aciona-se esse bit com nível “1” no final da seqüência de programação. Ao final da seqüência, a saída do contador, contará de zero até o último número programado, uma única vez.

- *EXTERNAL* – este bit é semelhante ao anterior, só que com uma diferença, ele é acionado por um disparo externo ao programador de pulsos.
- *LOOPn* – este bit aciona o contador de zero até o último número programado na seqüência e repete a contagem indefinidamente, até que o operador execute uma operação de interrupção.

Os outros bits do projeto são :

- *OE* – este é o enable das saídas do contador. Ele permite que a contagem seja liberada, ou seja desabilitada, ficando em estado de alta impedância. Ele desabilita as saídas em quando estiver em "0".
- *MRESETn* – Reset do contador, ativo em zero.
- *CLOCK* – Entrada do clock. Devemos lembrar que para se ter uma maior faixa de trabalho do tempo de duração dos pulsos e da taxa de repetição deles, implementamos externamente à PLD um divisor de clock, que será explicado mais adiante.
- *DX* – serve para voltar a contagem ao valor inicial de zero, acionando os pinos *LDN* dos contadores que carregam o valor zero na saída do contador. Ele na verdade é o trigger do sistema, indicando sempre que o último número da contagem foi atingido.
- *CP1* – bit da lógica de habilitação dos modos de operação.
- *A0 a A19* – São as saídas dos bits de contagem em código Gray de *A0* até *A19*. A contagem em Gray é obtida através das portas XOR.

Para um melhor entendimento da função de cada bit de controle, precisamos entender a lógica de programação. Veremos isso nos tópicos a respeito do programa de controle do programador de pulso. O que precisamos entender aqui, é que este contador programável permite a gravação de uma seqüência de dados na Static-Ram e posteriormente joga os números correspondentes aos endereços utilizados, na forma de uma contagem na entrada da Static-Ram habilitada, de forma a gerar os pulsos em um dos modos que nós vimos neste tópico. Ainda abordaremos o funcionamento do conjunto Static-Ram e Contador Programável mais a frente, pois ainda falta explicarmos o divisor de clock e o controle de dados e endereços na Static-Ram.

Apenas demos essa primeira introdução, pois precisávamos do circuito do contador para verificarmos sua edição, compilação e gravação através do software Max-Plus II.

Uma vez que já temos o primeiro procedimento realizado, agora temos que editar o esquema no Max-Plus II. Para isso, precisamos conhecer a área de trabalho do mesmo.

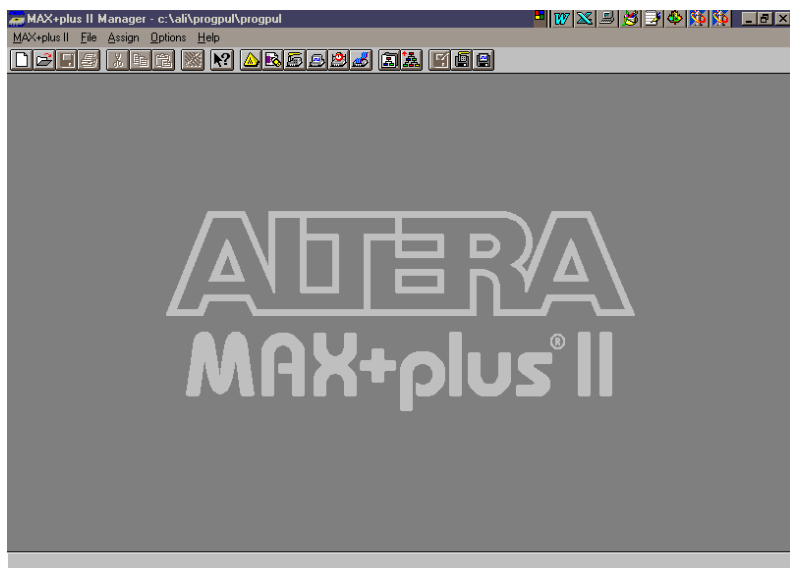


Figura 21 – Área de trabalho do Software Max-Plus II

Nela podemos operar o Max-Plus II através de vários botões de funções ou através das opções de menu. No começo é necessário criar um diretório para o seu projeto, de forma que nenhum outro tipo de arquivo possa ser colocado nele, apenas os relativos ao projeto. Isso se faz através do menu **File**. Escolhemos a função **Project**, e a sub-opção **Name**. Damos um nome para o projeto e o salvamos no diretório previamente criado para o mesmo.

A seguir, abrimos a worksheet para a edição do esquema, também através do menu **File**, clicamos a função **New**.

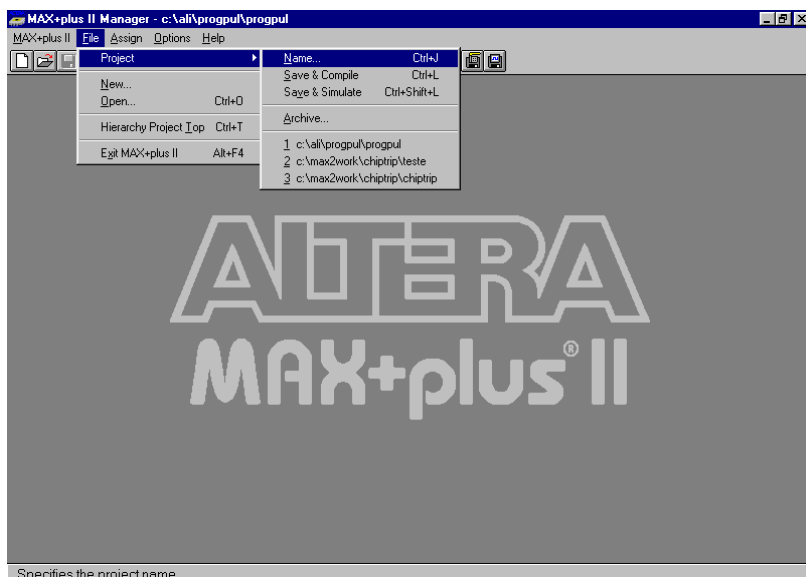


Figura 22 – Abrindo um novo projeto no Max-Plus II

Ao realizarmos esta operação entra a seguinte janela:

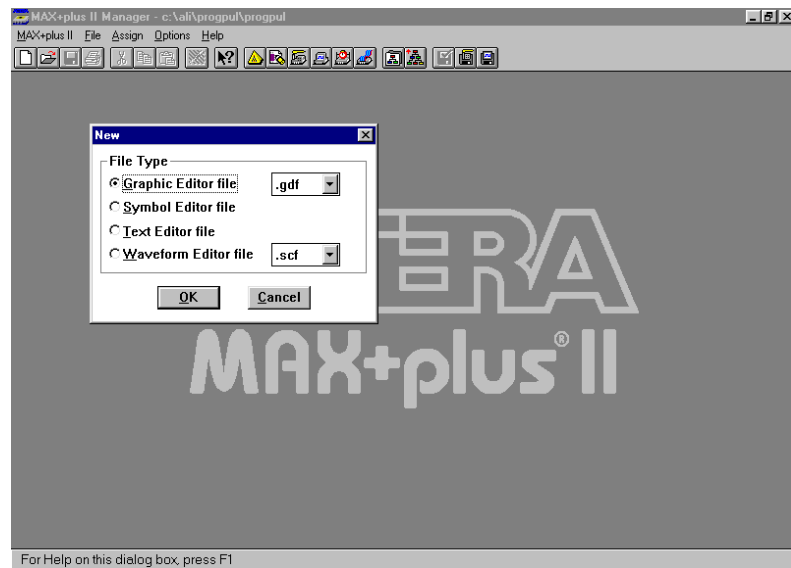


Figura 23 – Abrindo uma Work-Sheet

Nela optamos por **Graphic Editor File**. E assim aparecerá a Worksheet:

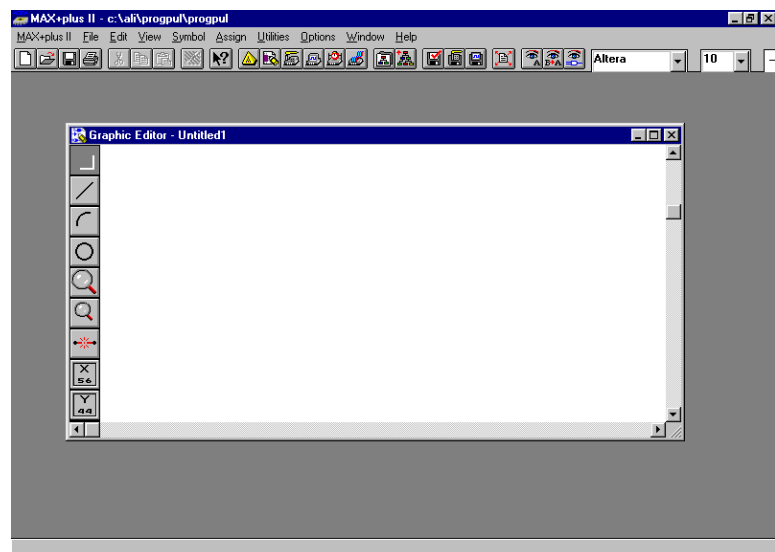


Figura 24 – Work-Sheet do Graphic Editor

Para salvar o projeto, basta entrar no menu **File**, função **Save As**, e escolher o nome do trabalho, que terá terminação ***.gdf**.

Uma vez aberta basta agora começarmos a montar o nosso circuito. Para isso, clicamos em um ponto em que se deseja começar a montagem e usa-se o menu **Symbol** e a sub-opção **Enter Symbol** para escolher o componente:

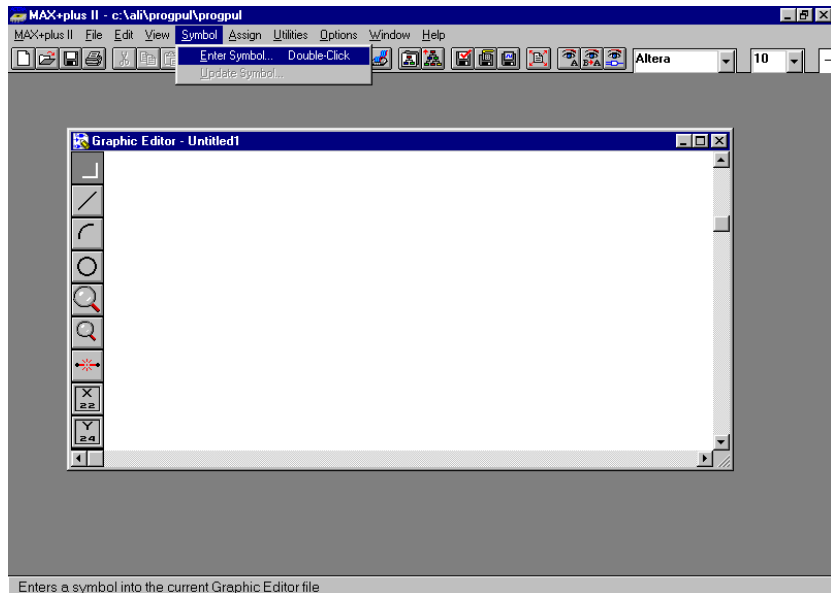


Figura 25 – Entrando com um componente na Work-sheet

Após isso aparecerá uma janela para a escolha do componente:

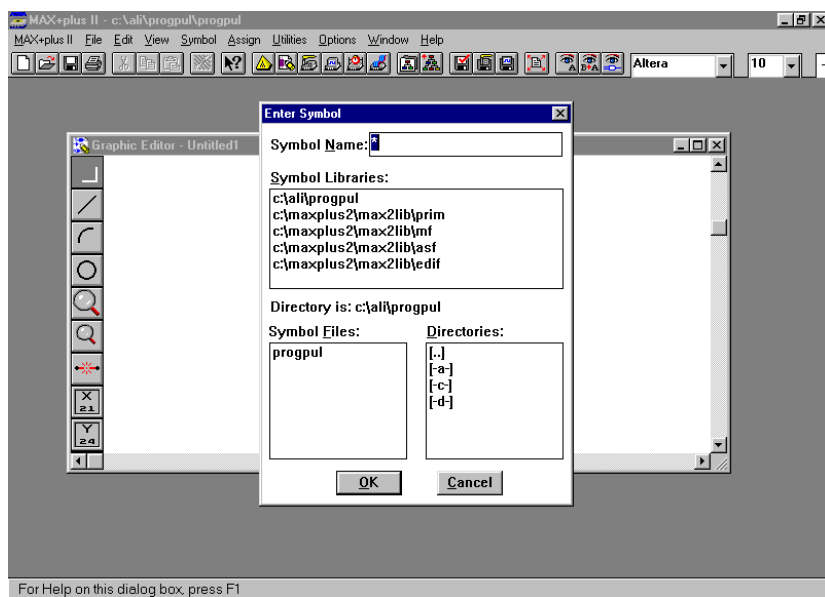


Figura 26 – Janela de opções de Bibliotecas (Library)

Nesta janela temos as opções de bibliotecas (“libraries”) disponíveis pelo software ou criadas pelo usuário. Uma vez escolhida a biblioteca e o componente basta entrar com ele na worksheet e posicioná-lo de acordo com o que foi projetado. Uma grande vantagem é que dispomos de blocos lógicos padrão TTL

74XXX e blocos simples como portas or e and e not, além de podermos criar nossos próprios componentes.

Na figura abaixo podemos ver abaixo a área de trabalho com um esquema sendo montado:

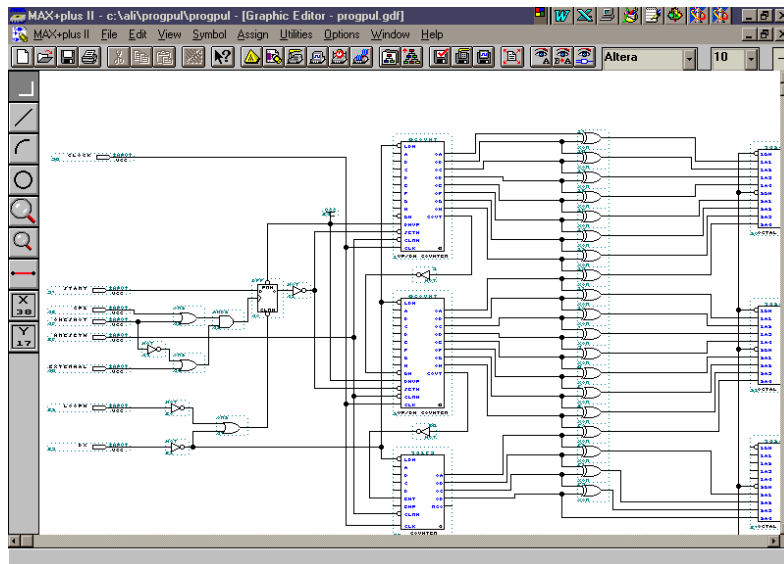


Figura 27 – Circuito sendo montado na work-sheet

É importante lembrar que só estamos dando uma idéia do uso do Max-Plus II. Para se ter mais detalhes de como se otimizar a montagem de projetos seria necessário se fazer um trabalho só sobre este software.

Uma vez que já tenhamos montado o circuito, resta agora passar para o terceiro passo para a realização do projeto da PLD, a compilação. No caso do Altera, o arquivo para a compilação tem terminação *.pof e ele gera o código fonte para a posterior gravação da pastilha de silício. Para isso entramos no menu **Max-Plus II** e na sub-opção **Compiler**.

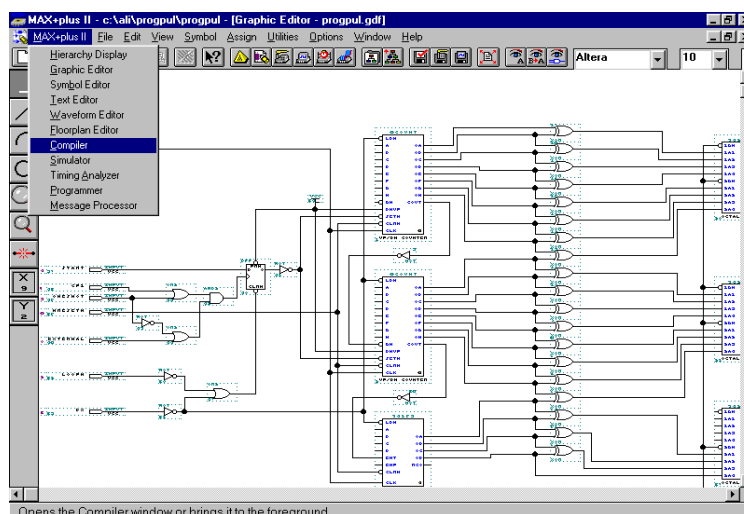


Figura 28 – Entrando na área de compilação

Abre-se então a janela de compilação e damos inicio ao processo, pressionando o botão **Start**:

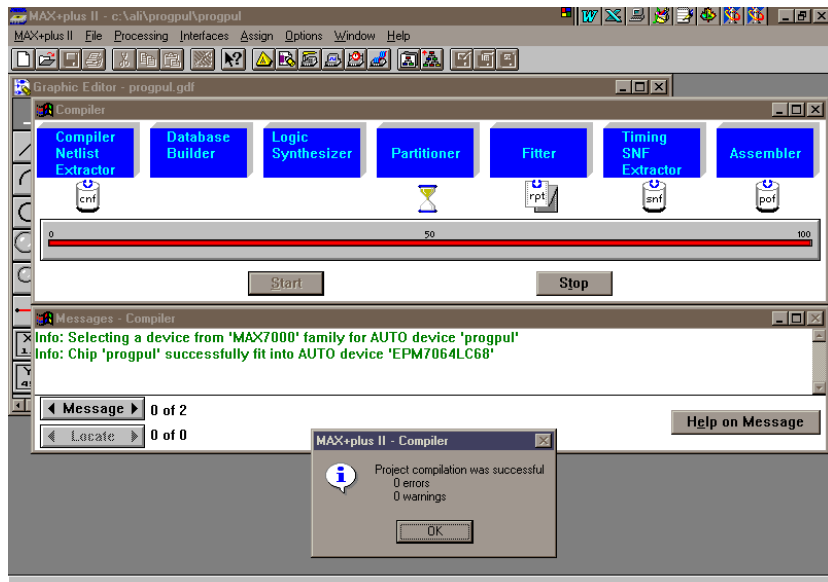


Figura 29 – A compilação do projeto com a geração do código fonte para a gravação da PLD.

Caso não haja nenhum erro de montagem, o compilador indica que não houve problemas na compilação, além de escolher o dispositivo que terá de ser utilizado, de acordo com prévia escolha no menu **Assign**, sub-opção **Device**. Nela podemos escolher a família que queremos utilizar, além do próprio componente. É sempre bom escolhermos sempre a família, pois nem sempre o dispositivo escolhido tem espaço para o projeto que se deseja. No nosso caso escolhemos a família MAX7000 e ele indicou o componente EPM7064LC68, PLD de 68 pinos.

O procedimento seguinte é gravar a PLD. Para isso precisamos de um hardware específico fornecido pelo fabricante Altera. Nele inclui o cassete de encaixe para a PLD e uma placa encaixada no slot interno do computador PC, de forma que o Max-Plus II possa transferir o código fonte para a pastilha de silício. Antes de se fazer a gravação, podemos através do FloorPlan Editor, configurar a pinagem física da pastilha de silício de acordo com a conveniência do projeto. Caso não se faça este procedimento, o próprio Max-Plus II seleciona uma pinagem padrão dele. Para isso entramos no menu **Max-Plus II**, sub-opção **FloorPlan Editor**. Para a gravação propriamente dita, entramos também no menu **Max-Plus II**, sub-opção **Programmer**. Nele acionamos a opção **Examine**, para se verificar se há problemas com o chip. A seguir apertamos o botão azul START para gravação no cassete programador para iniciar o processo e após a indicação positiva do Led constante nele, iniciamos a programação através da opção **Program**.

Feito isso e terminado todo o processo, terminamos de gravar nosso Contador Programável.

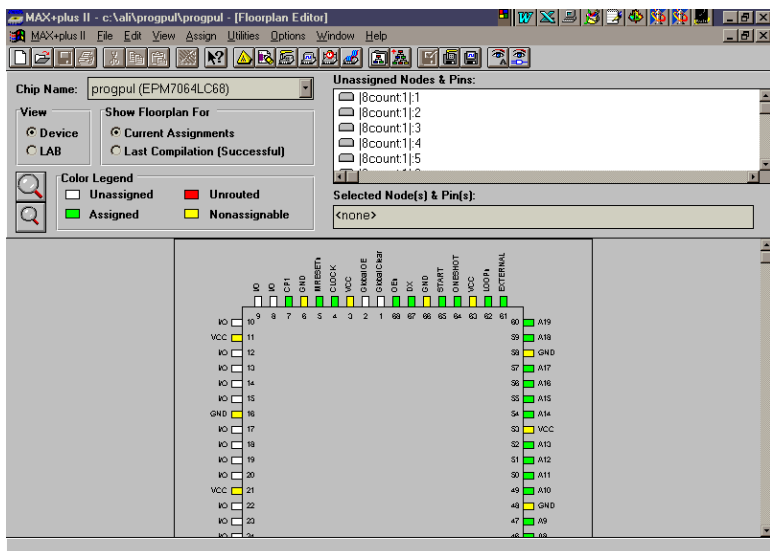


Figura 30 – FloorPlan Editor que configura a pinagem física da pastilha

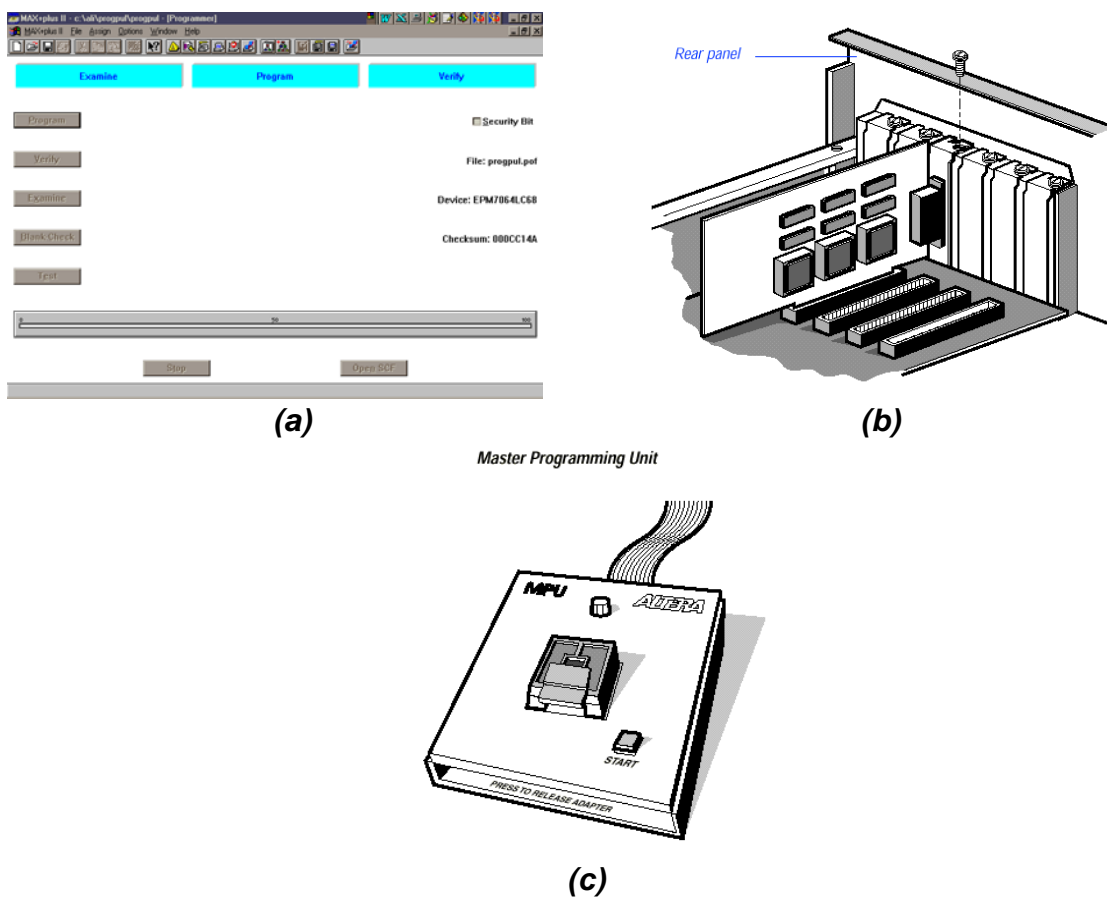


Figura 31 – a)Programmer que realiza a gravação do código fonte do projeto na pastilha de silício; b) Hardware fornecido pela Altera para comunicação do PC com o cassete de gravação do chip e c) Unidade de gravação do chip Altera com o cassete para encaixe

E abaixo, a pinagem física de nossa PLD:

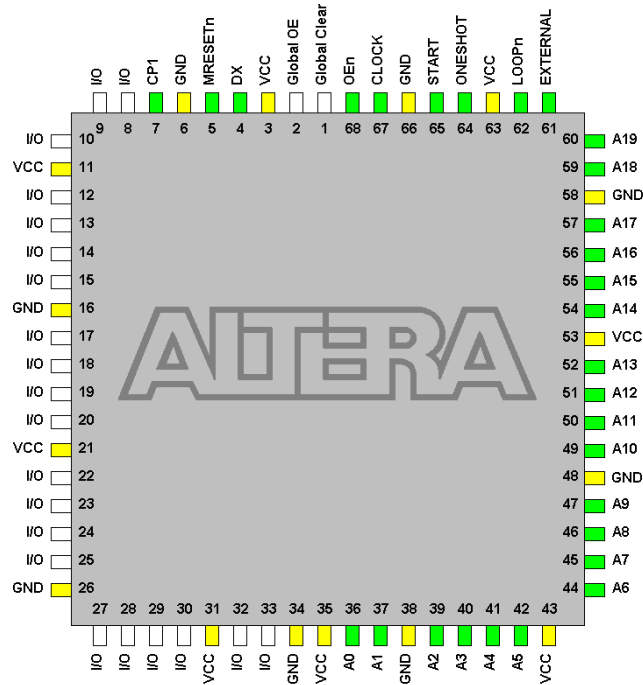


Figura 32 – Pinagem Física da PLD EPM7064LC68, configurada através do FloorPlan Editor

3.1.2.3- Considerações sobre o Contador e a Static-Ram

Uma vez que até agora só analisamos os blocos separadamente, vamos concluir este capítulo falando sobre o conjunto Contador Programável e Static-Ram. O primeiro fator a ser analisado é o circuito de interligação dos dois blocos. Ele pode ser encontrado no Anexo I, no desenho PROGPUL-03. Nele, observamos a organização das portas de saída em relação à PLD e à Static-RAM. Em outras palavras, quais os endereços de portas de saída que deverão ser acionados para se efetuar o controle da gravação e envio de dados para a saída da Static-Ram, através do contador programável. Conforme o esquema, temos as seguintes funções para cada porta de 8 bits:

a) Envio de Endereços para a Static-Ram:

Portas 280h, 281h e os bits Q0, Q1 e Q2 da porta 282h.

b) Seletor de divisor de clock

Os bits Q5, Q6 e Q7 da porta 282h.

c) ERASER para a apagamento da Static RAM e habilitador da saída de pulsos (PULSE-ENABLE\)

Os bits Q3 e Q4 da porta 282h, respectivamente.

d) Controles do Contador Programável

d.1)OE\

O bit Q0 da porta 283h.

d.2)START

O bit Q1 da porta 283h.

d.3)ONESHOT

O bit Q2 da porta 283h.

d.4)LOOP\

O bit Q3 da porta 283h.

d.5)CP1

O bit Q5 da porta 283h.

e)Controles da Static-Ram

e.1)OE\ - STATIC

O bit Q6 da porta 283h.

e.2)WE\

O bit Q7 da porta 283h.

f)Envio de Dados

Porta 284h.

Cada comando, exceto os do divisor de clock, já foram explanados nos itens anteriores. Para se gravar e posteriormente enviar os pulsos a partir da Static-RAM, deve-se fazer um programa que permita através destes bits de controle, a seqüência básica de escrita e leitura na Static-RAM. Para isso, enviamos os endereços para a Static-Ram, desabilitando as saídas do contador programável através do seu Output Enable OE\. Enviamos os dados para cada canal de saída da Static-Ram, desabilitando o seu Output Enable também. Quando o dado estiver

pronto, habilitamos o controle WE\ da Static-Ram e gravamos no endereço deste instante o dado requerido. Este processo se repete até a quantidade de endereços necessária para a realização da seqüência desejada de pulsos.

Aqui é que entra o divisor de clock. Se precisarmos de pulsos mais longos que 20 ns, não seria muito rápido a sua obtenção, utilizando-se muitos endereços da Static-RAM. Se nos utilizarmos de um sistema divisor de clock, que permita o aumento deste tempo de clock, podemos além de gerar o pulso com menos endereços, poderemos ter uma flexibilidade em relação ao tempo de repetição da seqüência de pulsos.

O circuito do divisor de clock pode ser visto no Anexo I, desenho PROGPUL-02. Nele podemos observar que o clock principal de 50 MHz é inserido na entrada de uma porta inversora Schmitt-Trigger, para melhorar sua forma de onda. Depois ele é colocado na entrada de um contador de 8 bits. Este contador realizará a divisão de freqüência. E os bits Q5, Q6 e Q7 da porta de saída 282h são inseridos na seleção de um multiplexador, que chaveará para a entrada do clock do Contador Programável a freqüência relativa à indicação destes três bits. Na tabela abaixo podemos verificar as freqüências obtidas a partir das combinações possíveis, conforme o esquema citado:

Porta de Saída 282h			Freqüência do Divisor de Clock
Q5	Q6	Q7	
0	0	0	50.0000 MHz
0	0	1	25.0000 MHz
0	1	0	12.5000 MHz
0	1	1	6.25000 MHz
1	0	0	3.12500 MHz
1	0	1	1.56250 MHz
1	1	0	781.250 KHz
1	1	1	390.625 KHz

Figura 33 – Configuração do Divisor de Clock

A freqüência adequada para uma determinada seqüência pode ser escolhida pelo software para o programador de pulsos. Iremos explicar a lógica para esta e outras seleções do programador de pulsos no próximo capítulo deste trabalho.

Continuando, uma vez que a seqüência completa esteja gravada na Static-RAM, devemos gravar o último dado sendo o pulso de trigger DX (vide item 3.1.2.2.2). Ele será utilizado não só para reiniciar a contagem, como também para gerar um pulso externo de trigger para equipamentos externos ao programador de pulsos para sincronização.

Imaginemos que precisaríamos de uma seqüência de 8 endereços e que cada intervalo de divisão visto na figura a seguir represente o período completo do clock já escolhido.

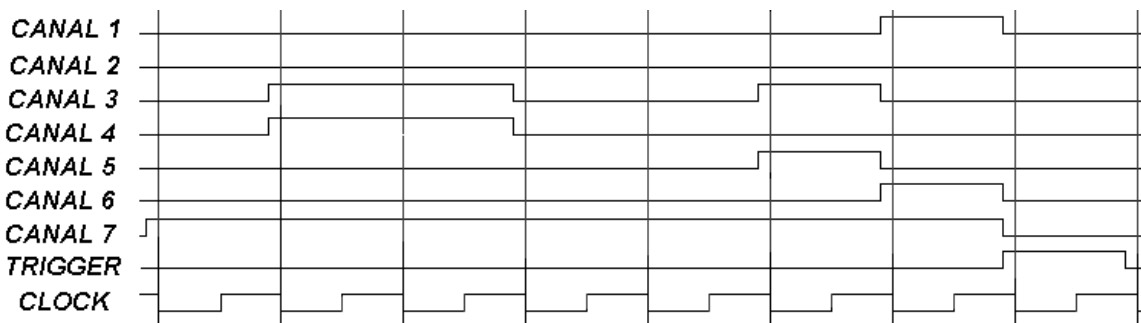


Figura 34 – Exemplo de seqüência de pulsos

Na figura, podemos reparar que os pulsos de cada canal, inclusive o de trigger são independentes. A duração de um determinado pulso sempre toma como referência a duração de um período de clock. Isto se deve, pois ao final de gravarmos a seqüência de dados na Static-RAM, o tempo de duração de um dado de um endereço na saída, será o período de contagem do contador programável, que nada mais é o do que o período de tempo pré-selecionado no divisor de clock. Logo, cada período de clock representa uma contagem do contador programável e também um endereço da Static-RAM. Uma vez que a Static-RAM esteja habilitada para fornecer o dado, quando se mudar o valor do endereço, o dado pré-gravado aparecerá na saída dos canais, no intervalo de um período do clock.

Assim, observando a seqüência da figura anterior podemos afirmar que os dados gravados na seqüência acima são:

SEQÜÊNCIA DE DADOS								
ENDEREÇOS (CÓDIGO GRAY)	DADOS							
	CH1	CH2	CH3	CH4	CH5	CH6	CH7	trigger
0h	0	0	0	0	0	0	1	0
1h	0	0	1	1	0	0	1	0
3h	0	0	1	1	0	0	1	0
2h	0	0	0	0	0	0	1	0
6h	0	0	0	0	0	0	1	0
7h	0	0	1	0	1	0	1	0
5h	1	0	0	0	0	1	1	0
4h	0	0	0	0	0	0	0	1

Figura 35 - Exemplo de dados gravados nos endereços indicados da Static-RAM para gerar a seqüência da figura 35

Uma vez que a seqüência esteja pronta na Static-RAM, resta selecionarmos o modo de operação, ou seja, se a seqüência será gerada em Loop, em One Shot ou External Trigger. Para ambos os casos sempre deveremos gravar no último endereço da seqüência, na Static-RAM, o dado 00000001. Isto se deve pois pretendemos utilizar o último canal como trigger do sistema e como trigger externo para equipamentos externos ao programador de pulsos. Configurando as portas

de saída que controlam os comandos CP1, EXTERNAL, ONESHOT,LOOP e START, obtemos o modo que desejamos. No caso do EXTERNAL e ONESHOT, necessitamos nos utilizar do último endereço gravado da Static-RAM para gerar o pulso de trigger no início da seqüência. Toda vez que iniciarmos estes dois modos, o contador é resetado para o endereço 0h e como o DX estará habilitado, o endereço 00h será automaticamente carregado (vide esquema da PLD, em Anexos I). No caso do LOOP, a mesma coisa, só que com a não interrupção da seqüência, há menos que o usuário a faça.

Com isso, terminamos a explicação do funcionamento dos blocos de hardware do nosso projeto. Esta explicação não pode ser considerada completa, sem se considerar o software de controle, pois nele teremos que entender e analisar a geração dos sinais de controle para que a seqüência seja realizada dentro do que usuário deseja. Este é o tema que será abordado no próximo capítulo. Além disso, comentaremos a utilização da linguagem gráfica LabVIEW, que permitiu uma melhor interface com o usuário do programador de pulsos e com o programador do software.

Capítulo 4 - A linguagem LabVIEW e o Software de Controle

Neste capítulo iremos descrever o desenvolvimento do software de controle do programador de pulsos. Antes de explicarmos o seu fluxograma de funcionamento e as operações que ele permite ao hardware do programador de pulsos, faremos uma breve explanação sobre a linguagem de programação que utilizamos: a linguagem gráfica LabVIEW, da National Instruments.

4.1 - A Linguagem Gráfica LabVIEW

O LabVIEW (Laboratory Virtual Instrument Engineering Workbench) é uma linguagem de programação gráfica que vem sendo adotada por indústrias e laboratórios como uma opção para as áreas de controle e aquisição de dados em instrumentação eletrônica. A grande diferença do LabVIEW em relação à outras linguagens de programação convencionais é que nele utilizamos blocos lógicos para se realizar um programa. Suas principais características são:

- Os programas são chamados de *Virtual Instruments* (VI's), que são compostos por painéis frontais, painéis de diagrama, ícones e conectores;
- Permite se construir aplicações podendo-se utilizar das seguintes formas de comunicação: DAQ, GPIB, porta serial e porta paralela do microcomputador;
- Pode-se transformar um VI em sub-VI de outro programa;
- Permite manipulações de funções do LabVIEW e bibliotecas (VI's) conjuntamente;

Para o nosso projeto estamos utilizando a versão 5.0 do LabVIEW:



Figura 36 - Logotipo do programa LabVIEW, versão 5.0

As ferramentas básicas para o uso do LabVIEW são o painel frontal, o diagrama de blocos e os menus utilitário(Tools), de controle(Controls), de funções(Functions).

Painel Frontal - é uma janela que é usada para interagir com o programa. Quando se executa o VI, temos o painel frontal aberto para se escolher os parâmetros de entrada do programa. Ele é uma combinação de controladores e indicadores. Controladores simulam dispositivos de entrada que encontramos em qualquer instrumento convencional, como knobs e chaves. Os indicadores

simulam as saídas. Tanto os indicadores, como os controladores são encontrados no menu Controls.

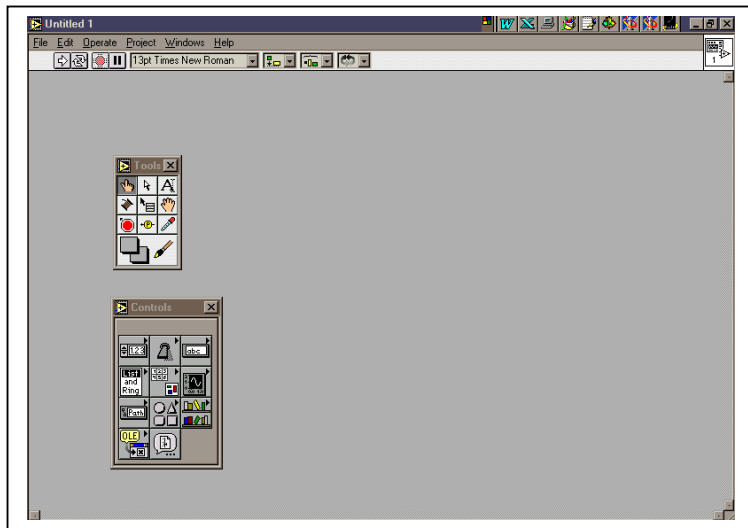


Figura 37 - Painel Frontal do LabVIEW, com os menus Tools e Controls

Diagrama de Blocos - O diagrama de blocos do LabVIEW corresponde as linhas de texto encontradas nas linguagens convencionais como C ou Basic. Nele, pode-se construir um diagrama de blocos unindo os objetos através de linhas coloridas que especificam um tipo de variável. Quando colocamos um controlador ou indicador no painel frontal, o LabVIEW cria automaticamente seu correspondente terminal na área do diagrama de blocos. Não se pode deletar um terminal, na área do diagrama de blocos, que pertença a um controlador ou indicador. Para isso, deve-se deletar o controlador ou indicador no painel frontal. Para a inserção de funções lógicas na área do diagrama de blocos, utiliza-se o menu Functions.

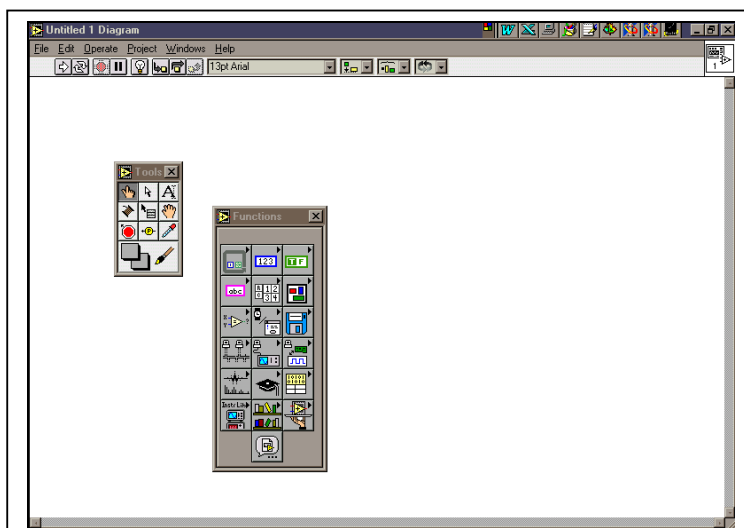


Figura 38 - Diagrama de Blocos do LabVIEW, com os menus Tools e Functions

Através das inserções de diversos blocos lógicos contidos no menu *functions* no diagrama de blocos e botões e indicadores no painel frontal, realizamos um programa em LabVIEW. Para o começo de um programa, independentemente da linguagem, precisamos entender o fluxo de informações através do mesmo. Por isso, após essa breve apresentação do LabVIEW, veremos o seu uso de forma mais específica, através da explicação do diagrama de blocos do nosso programa para controle do programador de pulsos e sua implementação com os recursos do LabVIEW.

4.2- O Software de Controle

Para simplificação do projeto, resolvemos realizar um software bem simples e que não usaria de todos os recursos disponíveis. O software permite a geração de uma seqüência de três pulsos em três canais distintos, onde podemos controlar suas larguras e as separações entre eles. Além disso, também podemos gerar um delay (atraso) antes do começo do primeiro pulso e a taxa de repetição da seqüência em caso de uso do modo loop. A seqüência básica que pode ser gerada, pode ser vista abaixo:

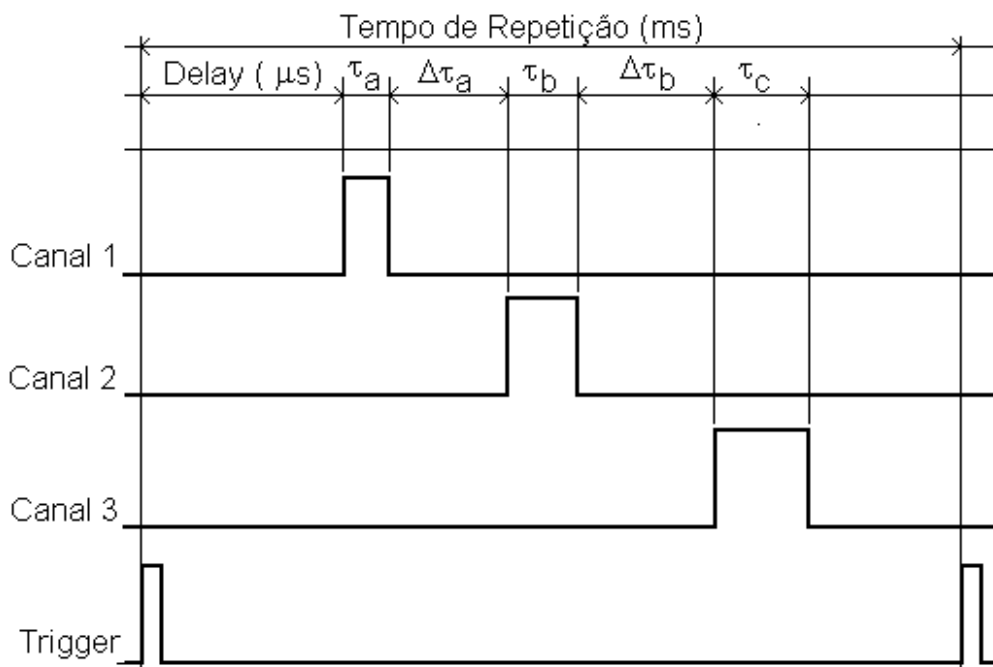


Figura 39 – Seqüência Básica gerada pelo Software de Controle

Outra implementação foi definir o clock fixo em um valor de 160 ns, valor mínimo suficiente para um pulso em aplicação em Ressonância Magnética Nuclear. Preservamos a função One Shooting, além da de Loop.

Abaixo vemos o *Diagram* do programa desenvolvido. Ele é a interface com o usuário:



Figura 40 – Interface do Software de Controle com o usuário

O princípio do programa é calcular quantos endereços são necessários para se gravar 1 nos canais escolhidos, uma vez considerando a Static-RAM apagada. Logo, para inicialização do sistema, criamos um sub-VI que tem a função de acionar o circuito apagador da memória através do bit Q3 (ERASER) da porta de saída 282h. Conforme pode ser visto no esquema PROGPUL-03, o circuito de apagamento se baseia em pulsos de clock, sincronizados com os sinais de OESTATIC e WE| da porta 283h e com o envio de dados 0 para a porta 284h. Esta operação é a primeira em nosso programa, conforme pode ser abaixo:

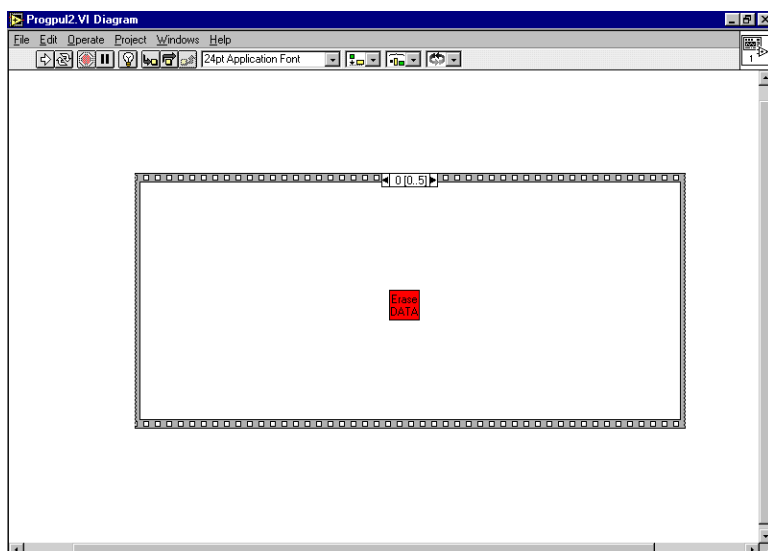


Figura 41 – Primeira operação do programa. Apagar a Static-Ram através do sub-VI ERASE DATA

Após essa operação ter sido realizada, os próximos blocos são responsáveis pelo cálculo e envio para gravação dos endereços e dados relativos ao delay inicial (em μ s), aos pulsos τ_a , τ_b e τ_c com seus respectivos espaçamentos $\Delta\tau_a$ e $\Delta\tau_b$. e ao tempo de repetição (em ms). Essa gravação e posterior leitura é controlada pelas portas 280h, 281h, 282h, 283h e 284h, conforme esquema PROGPUL-03. Os sub-VIs BIN/GRAY e LOAD DATA realizam essa operações de gravação na Static-RAM. E o que podemos ver através das figuras 42.a), 42.b), 42.c) e 42.d), abaixo:

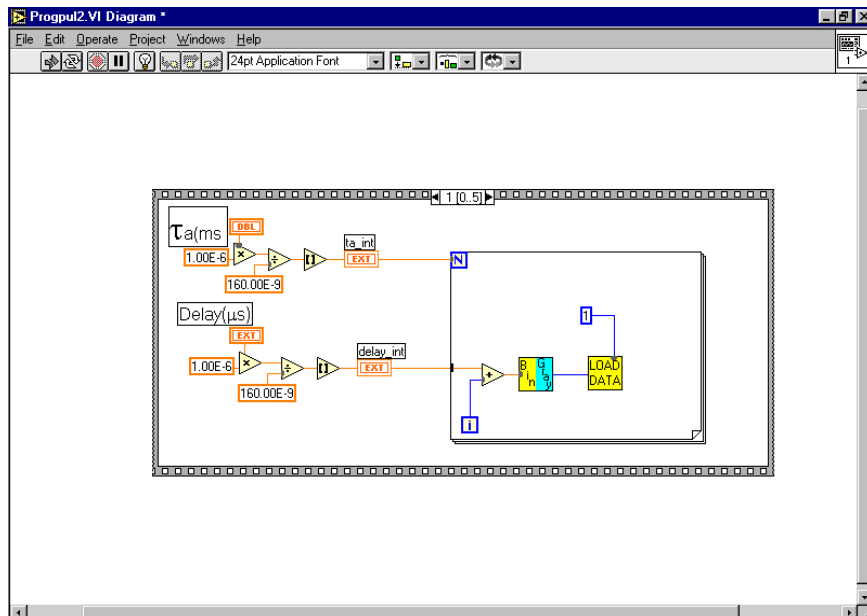


Figura 42 - Através do valores do Delay e de τ_a inseridos pelo usuário no Diagram criado no LabVIEW, temos uma simples rotina para cálculo dos endereços necessários para a gravação de vários dados “1” nos canais relativos a estes endereços. O número de endereços para gravar o pulso τ_a entra no controle N da função LOOP FOR do LabVIEW, enquanto o valor do número de endereços que devem estar com os dados em “0”, relativos ao Delay entram em no controle i. De i até (N-1), o LOOP FOR realiza a rotina de gravar os dados “1” relativos aos endereços correspondentes ao pulso. O que não for gravado antes de i, já estará em “0” uma vez que a primeira rotina do programa foi apagar toda a Static-Ram.

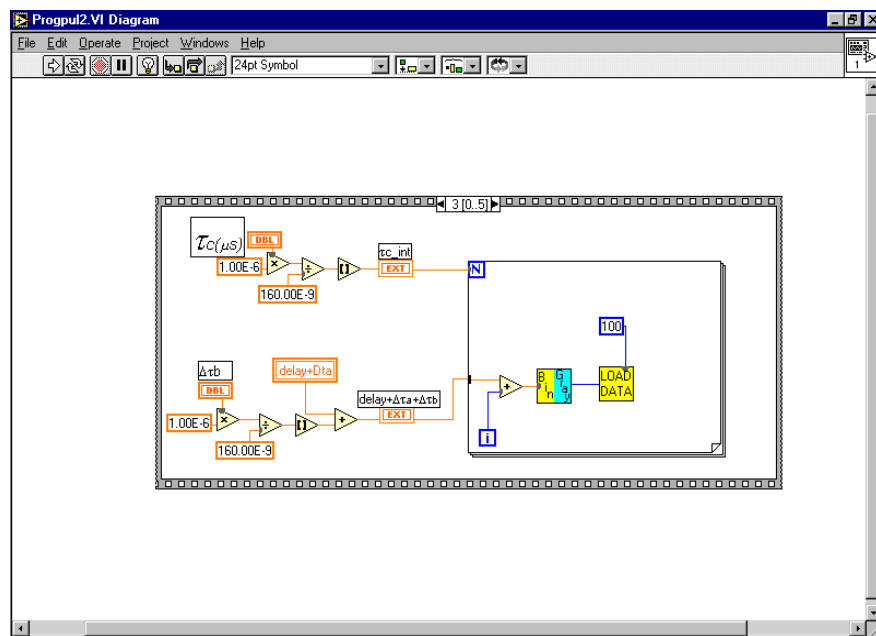


Figura 43 –O mesmo princípio é usado aqui para a inserção do pulso τ_b e do espaçamento $\Delta\tau_a$, só que acumulando os valores já previamente gravados para o primeiro pulso e o delay.

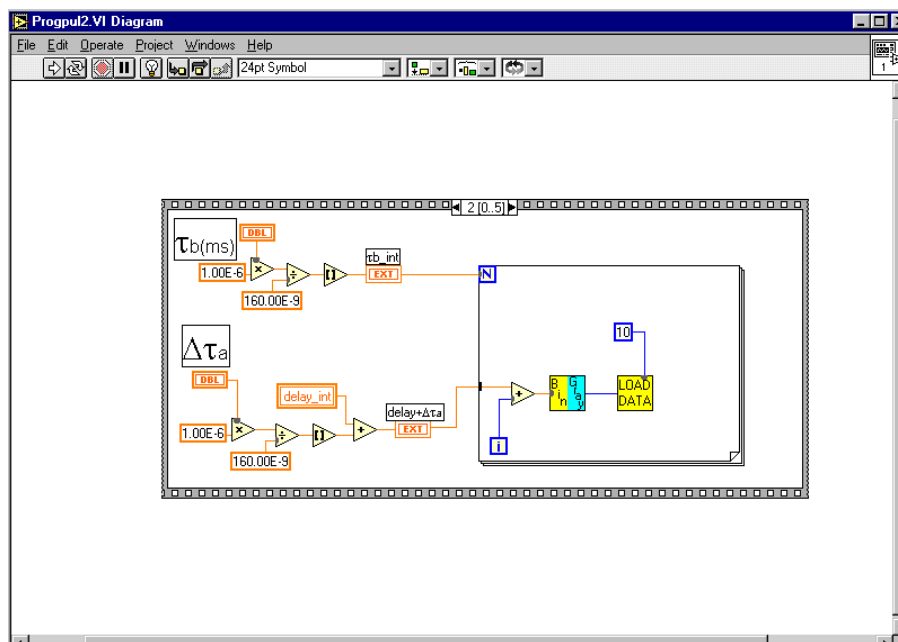


Figura 44 - Procedimento idêntico para o pulso τ_c

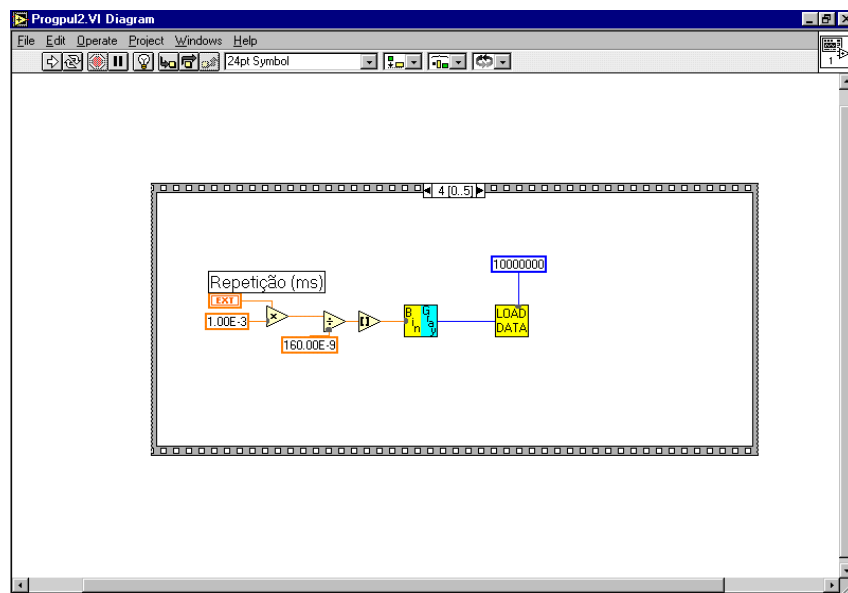


Figura 45 – Gravação do pulso de trigger que gera o total de endereços para a gravação da isto é o seu tempo de repetição.

Após este procedimento, nos resta apenas o envio dos dados para a saída através do último evento do SEQUENCER do LabVIEW. Nele temos os dois valores dos indicadores dos botões One Shooting e Loop, onde apenas um pode ser previamente escolhido pelo usuário antes de se rodar o programa. Após ser verificada a escolha, o sub-VI EXIT DATA manda os comandos necessários para o hardware enviar a seqüência, conforme podemos ver abaixo:

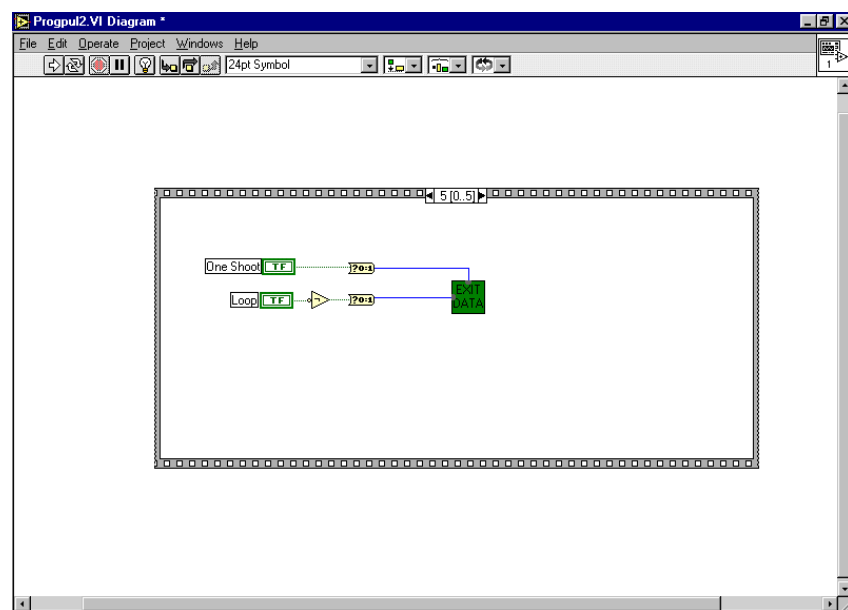


Figura 46 – Envio de dados para a saída do programador de pulsos.

Capítulo 5 – Conclusões

Uma vez montado e testado, verificamos que o programador de pulsos apresentou alguns problemas. A Static-RAM escolhida para o projeto estava apresentando os dois primeiros canais de dados com valor lógico ‘1’ constantemente, indicando um possível dano em sua estrutura interna. Chegamos a conseguir gravar dados nos outros bits de dados, entretanto, outro problema surgiu. Se verificou imperfeições na gravação dos dados via software LabVIEW. Uma vez que apagávamos a Static-Ram, o aparecimento de diversos pulsos nos canais selecionados para a geração da seqüência para RMN mostrada na figura 39, demonstrava que o procedimento de gravação não havia sido feito corretamente, apesar dos sinais de controle estarem sendo enviados corretamente pelo software. Por isso a substituímos por uma memória de 8k x 8, 160 ns para tentar demonstrar o funcionamento do projeto. Contudo, os problemas persistiram e acreditamos serem responsáveis por isso o **timing** dos circuitos lógicos envolvidos e baixa imunidade a ruído da montagem. Como resultado positivo, testamos a placa com o **debug** do DOS e conseguimos gerar uma seqüência de teste coerente mas fora do que fora projetado para o software original. Essa seqüência pode ser vista na figura abaixo:

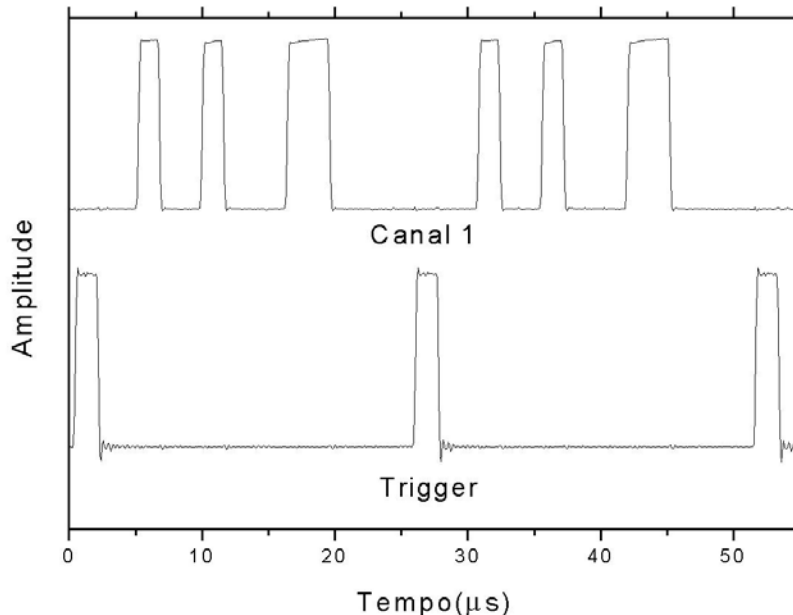


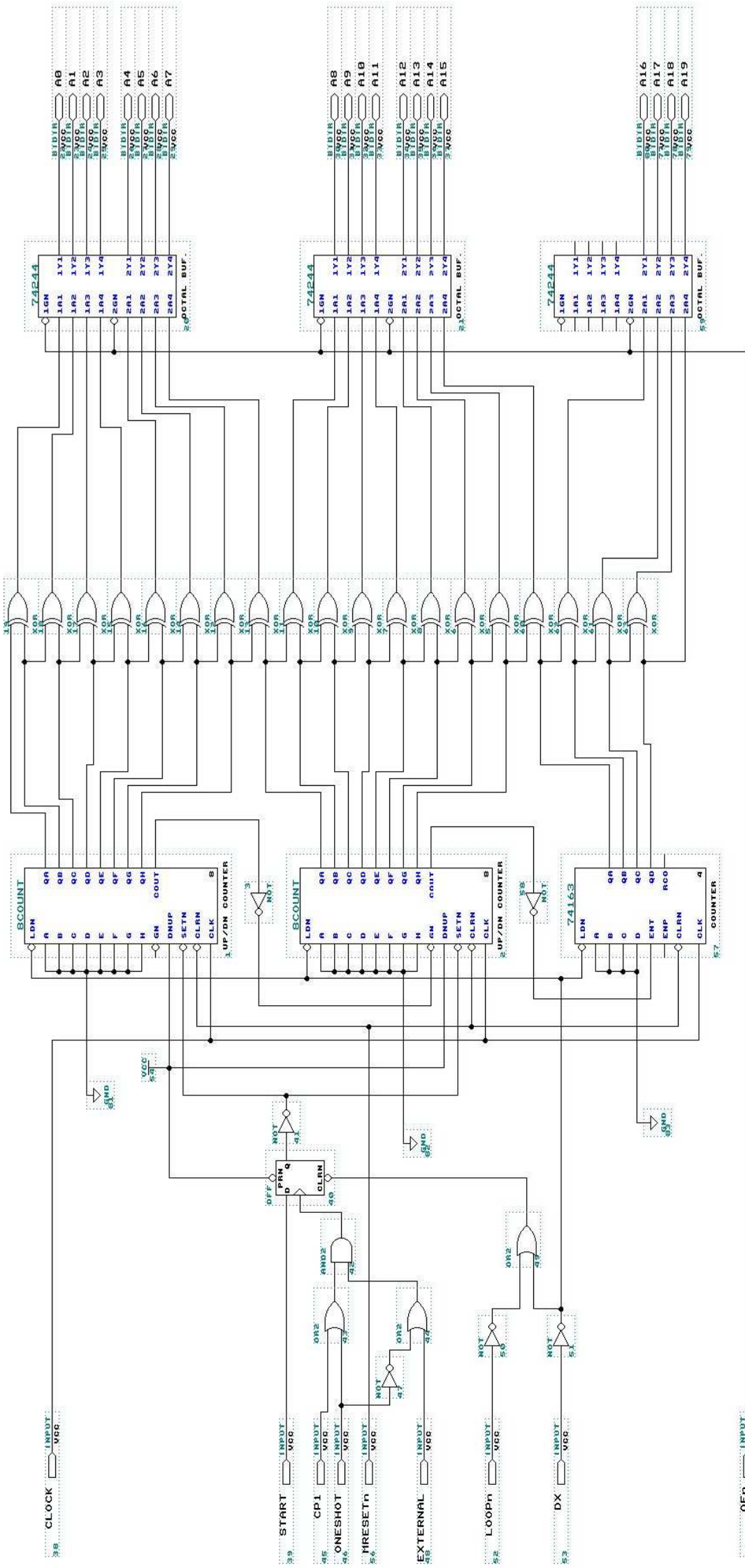
Figura 47 – Seqüência de teste gravada nos canais 1 e de trigger via debug do DOS mostrando o funcionamento do programador de pulsos.

Por esse resultado que conseguimos, podemos concluir que com mais algum tempo de análise do circuito da placa em relação ao **timing** e um trabalho para redução dos ruídos observados, poderemos ter o programador funcionando plenamente em breve.

Capítulo 6 - Bibliografia

- Panepucci, Horácio ; Pedroso Donoso, José; Tannús ,Alberto; Beckman, Nicolau e Bonagamba, Tito; - "Tomografia por Ressonância Magnética Nuclear – Novas Imagens do Corpo", Instituto de Física e Química de São Carlos - Revista Ciência Hoje Vol.4 No. 20,SBPC, Setembro/Outubro de 1985
- Fukushima,E.; Roeder, S.B.W.- "Experimental Pulse NMR: A Nuts and Bolts Approach", Addison-Wesley,1981
- Belmonte,S.B.; Guimarães, A.P.; Oliveira, I.S.; - "RMN Pulsada em Campo Zero"
- "The TTL Data Book, Volume 2, Standard TTL, Schottky, Low-Power Circuits", Texas Instruments, 1985
- "Max+Plus II, Getting Started", Version 5.0, Altera, July 1994
- "The Altera Advantage Data Book", Altera, June 1996
- "User-Configurable Logic, Applications Handbook", Altera, 1998
- "PPDI-2: Placa Padrão para o desenvolvimento de interfaces para o IBM-PC,XT,AT, Manual do Usuário", Delta São Paulo
- "KM684002, KM684002E, KM684002I CMOS SRAM, 512Kx8 Bit High Speed Static RAM(5V Operating), Revolutionary Pin out. Operated at Commercial, Extended and Industrial Temperature Range.", Data Sheet, Samsung Eletronics, Document
- Cernicchiaro, G.R.C.; Rudge, M.G. e Albuquerque, M.P.; "Programador de Pulses para Barramento S100 aplicado a Ressonância Magnética Nuclear Pulsada", Notas Técnicas, Centro Brasileiro de Pesquisas Físicas, Rio de Janeiro/RJ,1989
- Bourgeois,F.; Cernicchiaro,G.R.C.; "CAMAC Sequence Pulse Programmer", 03/11/1989

7 – Anexo I - Esquemas



TITLE		Contador Programável	
COMPANY		CBPF	
DESIGNER	Ali Kamel Issmael Junior		
SIZE	D	NUMBER	1.00
DATE	5:34P	2-28-1999	SHEET 1 OF 1
REV	A		

Document Title

**512Kx8 Bit High Speed Static RAM(5V Operating), Revolutionary Pin out.
Operated at Commercial, Extended and Industrial Temperature Range.**

Revision History

<u>Rev No.</u>	<u>History</u>	<u>Draft Data</u>	<u>Remark</u>
Rev. 0.0	Initial release with Preliminary.	Jun. 1th, 1991	Preliminary
Rev. 1.0	Release to final Data Sheet. 1.1. Delete Preliminary	Oct. 4th, 1993	Final
Rev. 2.0	2.1. Delete 15ns part 2.2. Add 17ns part. 2.3.Add the test condition for Voh1 with Vcc=5V±5% at 25°C	Apr. 2th, 1994	Final
Rev. 3.0	3.1.Delete Low power product with Data Retention Mode. 3.1.1. Delete Data Retention Characteristics 3.2.Add Industrial and Extended Temperature Range parts with the same parameters as Commercial Temperature Range parts. 3.2.1 Add KM684002I for Industrial Temperature Range. 3.2.2.Add KM684002E for Extended Temperature Range. 3.2.3.Add ordering information. 3.2.4. Add the condition for operating at Industrial and Extended Temperature Range. 3.3.Add timing diagram to define tWP as "(Timing Wave Form of Write Cycle(\overline{CS} =Controlled))"	Jun. 17th, 1997	Final

The attached data sheets are prepared and approved by SAMSUNG Electronics. SAMSUNG Electronics CO., LTD. reserve the right to change the specifications. SAMSUNG Electronics will evaluate and reply to your requests and questions on the parameters of this device. If you have any questions, please contact the SAMSUNG branch office near your office, call or contact Headquarters.



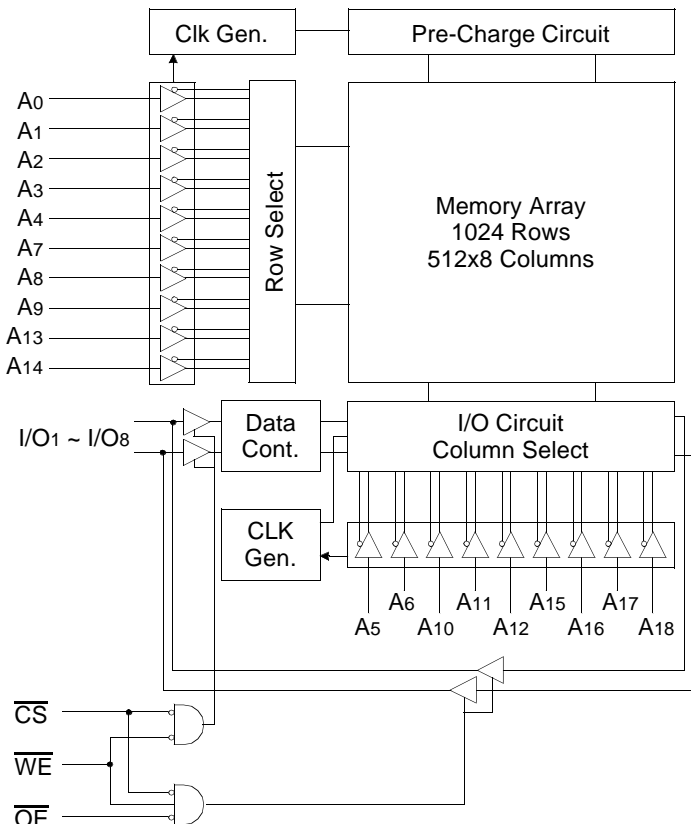
ELECTRONICS

512K x 8 Bit High-Speed CMOS Static RAM**FEATURES**

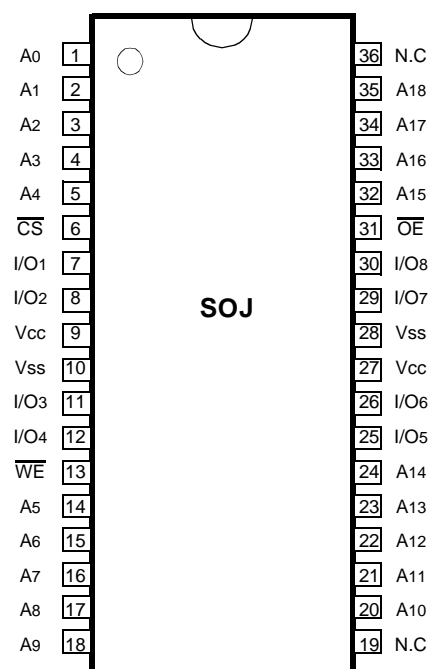
- Fast Access Time 17,20,25 ns (Max.)
- Low Power Dissipation
 - Standby (TTL) : 60 μW (Max.)
 - (CMOS) : 10 μW (Max.)
- Operating KM684002 - 17 : 180 μs (Max.)
- KM684002 - 20 : 170 μs (Max.)
- KM684002 - 25 : 160 μs (Max.)
- Single 5.0V \pm 10% Power Supply
- TTL Compatible Inputs and Outputs
- I/O Compatible with 3.3V Device
- Fully Static Operation
 - No Clock or Refresh required
- Three State Outputs
- Center Power/Ground Pin Configuration
- Standard Pin Configuration
 - KM684002J : 36-SOJ-400

ORDERING INFORMATION

KM684002 -17/20/25	Commercial Temp.
KM684002E -17/20/25	Extended Temp.
KM684002I -17/20/25	Industrial Temp.

FUNCTIONAL BLOCK DIAGRAM**GENERAL DESCRIPTION**

The KM684002 is a 4,194,304-bit high-speed Static Random Access Memory organized as 524,288 words by 8 bits. The KM684002 uses 8 common input and output lines and has an output enable pin which operates faster than address access time at read cycle. The device is fabricated using Samsung's advanced CMOS process and designed for high-speed circuit technology. It is particularly well suited for use in high-density high-speed system applications. The KM684002 is packaged in a 400 mil 36-pin plastic SOJ.

PIN CONFIGURATION (Top View)**PIN FUNCTION**

Pin Name	Pin Function
A0 - A18	Address Inputs
WE	Write Enable
CS	Chip Select
OE	Output Enable
I/O1 ~ I/O8	Data Inputs/Outputs
Vcc	Power(+5.0V)
Vss	Ground
N.C.	No Connection



ABSOLUTE MAXIMUM RATINGS*

Parameter	Symbol	Rating	Unit
Voltage on Any Pin Relative to Vss	VIN, VOUT	-0.5 to 7.0	V
Voltage on Vcc Supply Relative to Vss	Vcc	-0.5 to 7.0	V
Power Dissipation	PD	1.0	W
Storage Temperature	TSTG	-65 to 150	°C
Operating Temperature	Commercial	TA	0 to 70
	Extended	TA	-25 to 85
	Industrial	TA	-40 to 85

* Stresses greater than those listed under "Absolute Maximum Rating" may cause permanent damage to the device. This is a stress rating only and functional operation of the device at these or any other conditions above those indicated in the operating sections of this specification is not implied. Exposure to absolute maximum rating conditions for extended periods may affect reliability.

RECOMMENDED DC OPERATING CONDITIONS($TA=0$ to 70°C)

Parameter	Symbol	Min	Typ	Max	Unit
Supply Voltage	Vcc	4.5	5.0	5.5	V
Ground	Vss	0	0	0	V
Input Low Voltage	VIH	2.2	-	Vcc+0.5**	V
Input Low Voltage	VIL	-0.5*	-	0.8	V

NOTE: Above parameters are also guaranteed at extended and industrial temperature ranges.

* $V_{IL}(\text{Min}) = -2.0\text{V}$ a.c(Pulse Width $\leq 10\text{ns}$) for $I \leq 20\text{mA}$

** $VIH(\text{Max}) = Vcc + 2.0\text{V}$ a.c (Pulse Width $\leq 10\text{ns}$) for $I \leq 20\text{mA}$

DC AND OPERATING CHARACTERISTICS($TA=0$ to 70°C , $Vcc = 5.0\text{V}\pm 10\%$, unless otherwise specified)

Parameter	Symbol	Test Conditions	Min	Max	Unit
Input Leakage Current	ILI	$V_{IN} = Vss$ to Vcc	-2	2	μA
Output Leakage Current	ILO	$\overline{CS}=VIH$ or $\overline{OE}=VIH$ or $\overline{WE}=VIL$ $V_{OUT} = Vss$ to Vcc	-2	2	μA
Operating Current	ICC	Min. Cycle, 100% Duty $\overline{CS}=VIL$, $V_{IN} = VIH$ or VIL , $I_{OUT}=0\text{mA}$	17ns	-	180
			20ns	-	170
			25ns	-	160
Standby Current	ISB	Min. Cycle, $\overline{CS}=VIH$	-	60	SI
	ISB1	f=0MHz, $\overline{CS} \geq Vcc - 0.2\text{V}$, $V_{IN} \geq Vcc - 0.2\text{V}$ or $V_{IN} \leq 0.2\text{V}$	-	10	SI
Output Low Voltage Level	VOL	$I_{OL}=8\text{mA}$	-	0.4	V
Output High Voltage Level	VOH	$I_{OH}=-4\text{mA}$	2.4	-	V
	VOH1*	$I_{OH1}=-0.1\text{mA}$	-	3.95	V

NOTE: Above parameters are also guaranteed at extended and industrial temperature ranges.

* $Vcc=5.0\text{V}\pm 5\%$ Temp. = 25°C

CAPACITANCE*($TA=25^{\circ}\text{C}$, $f=1.0\text{MHz}$)

Item	Symbol	Test Conditions	MIN	Max	Unit
Input/Output Capacitance	C _{I/O}	$V_{I/O}=0\text{V}$	-	8	pF
Input Capacitance	C _{IN}	$V_{IN}=0\text{V}$	-	6	pF

* NOTE : Capacitance is sampled and not 100% tested .

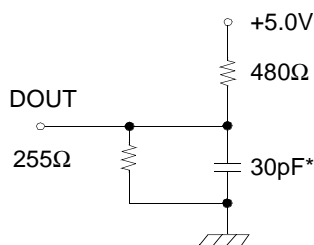
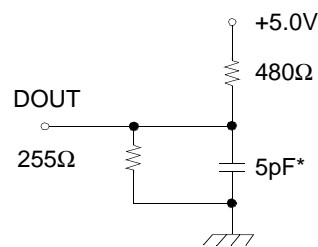


AC CHARACTERISTICS(TA=0 to 70°C, Vcc=5.0V±10%, unless otherwise noted.)**TEST CONDITIONS**

Parameter	Value
Input Pulse Levels	0V to 3V
Input Rise and Fall Times	3ns
Input and Output timing Reference Levels	1.5V
Output Loads	See below

NOTE: Above test conditions are also applied at industrial temperature ranges.

Output Loads(A)

Output Loads(B)
for tHZ, tLZ, tWHZ, tow, tolz & tohz

* Including Scope and Jig Capacitance

READ CYCLE

Parameter	Symbol	KM684002-17		KM684002-20		KM684002-25		Unit
		Min	Max	Min	Max	Min	Max	
Read Cycle Time	tRC	17	-	20	-	25	-	ns
Address Access Time	tAA	-	17	-	20	-	25	ns
Chip Select to Output	tCO	-	17	-	20	-	25	ns
Output Enable to Valid Output	toE	-	8	-	10	-	12	ns
Chip Enable to Low-Z Output	tLZ	3	-	3	-	3	-	ns
Output Enable to Low-Z Output	tolz	0	-	0	-	0	-	ns
Chip Disable to High-Z Output	tHZ	0	7	0	8	0	10	ns
Output Disable to High-Z Output	tohz	0	7	0	8	0	10	ns
Output Hold from Address Change	toH	3	-	4	-	5	-	ns
Chip Selection to Power Up Time	tPU	0	-	0	-	0	-	ns
Chip Selection to Power DownTime	tPD	-	17	-	20	-	25	ns

NOTE: Above parameters are also guaranteed at extended and industrial temperature ranges.

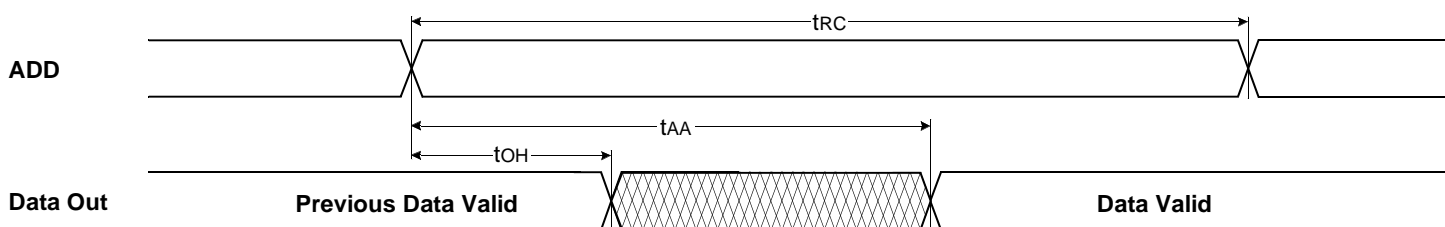


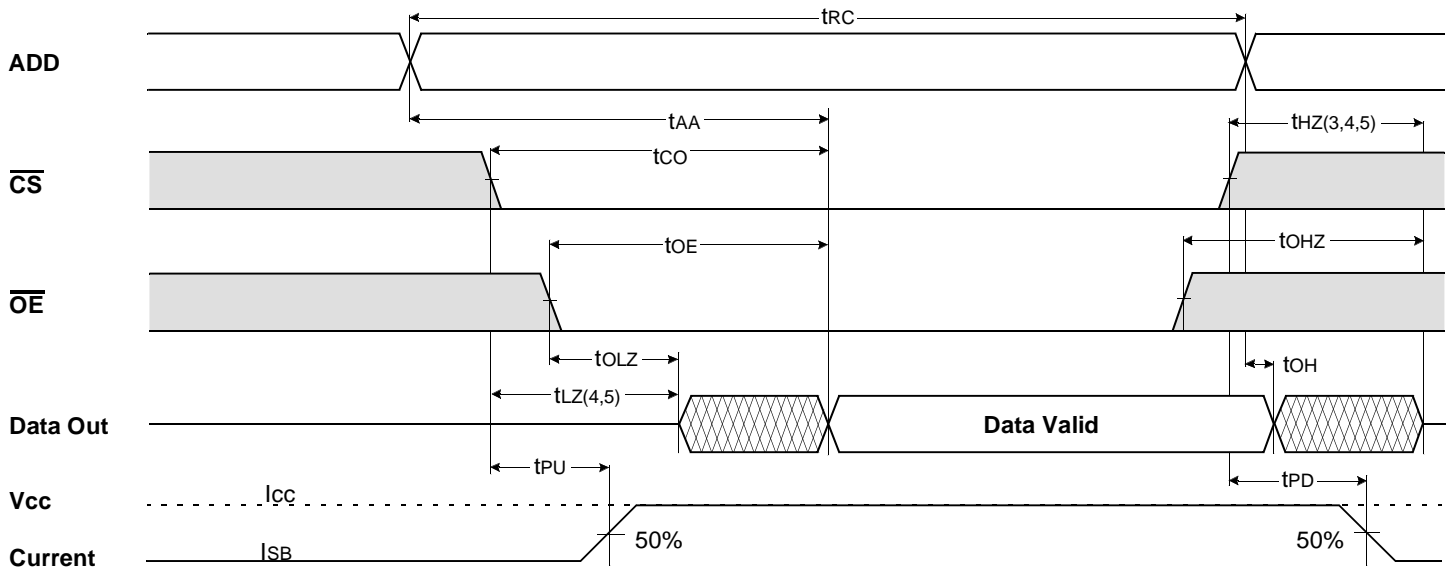
WRITE CYCLE

Parameter	Symbol	KM684002-17		KM684002-20		KM684002-25		Unit
		Min	Max	Min	Max	Min	Max	
Write Cycle Time	t _{WC}	17	-	20	-	25	-	ns
Chip Select to End of Write	t _{CW}	12	-	13	-	15	-	ns
Address Set-up Time	t _{AS}	0	-	0	-	0	-	ns
Address Valid to End of Write	t _{AW}	12	-	13	-	15	-	ns
Write Pulse Width(\overline{OE} High)	t _{WP}	12	-	13	-	15	-	ns
Write Pulse Width(\overline{OE} Low)	t _{WP1}	17	-	20	-	25	-	ns
Write Recovery Time	t _{WR}	0	-	0	-	0	-	ns
Write to Output High-Z	t _{WHZ}	0	8	0	8	0	10	ns
Data to Write Time Overlap	t _{DW}	8	-	9	-	10	-	ns
Data Hold from Write Time	t _{DH}	0	-	0	-	0	-	ns
End Write to Output Low-Z	t _{OW}	3	-	4	-	5	-	ns

NOTE: Above parameters are also guaranteed at extended and industrial temperature ranges.

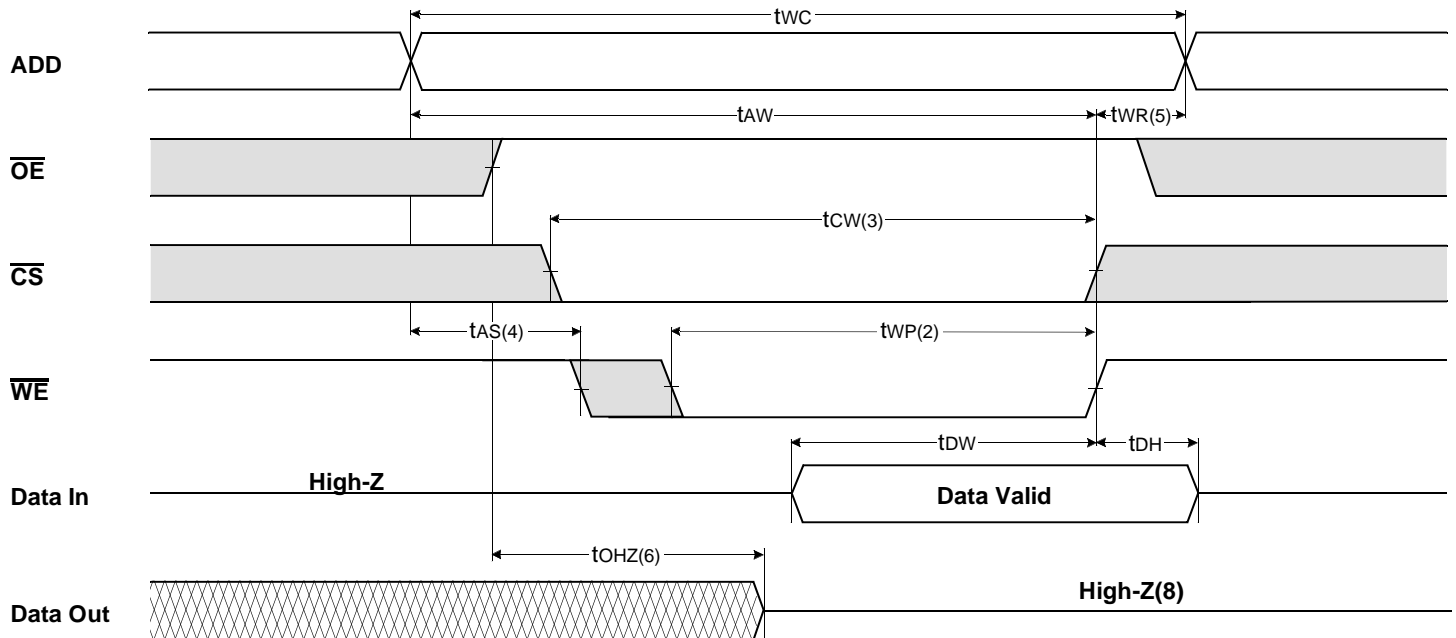
TIMING DIAGRAMS

TIMING WAVE FORM OF READ CYCLE(1) (Address Controlled, $\overline{CS}=\overline{OE}=V_{IL}$, $\overline{WE}=V_{IH}$)

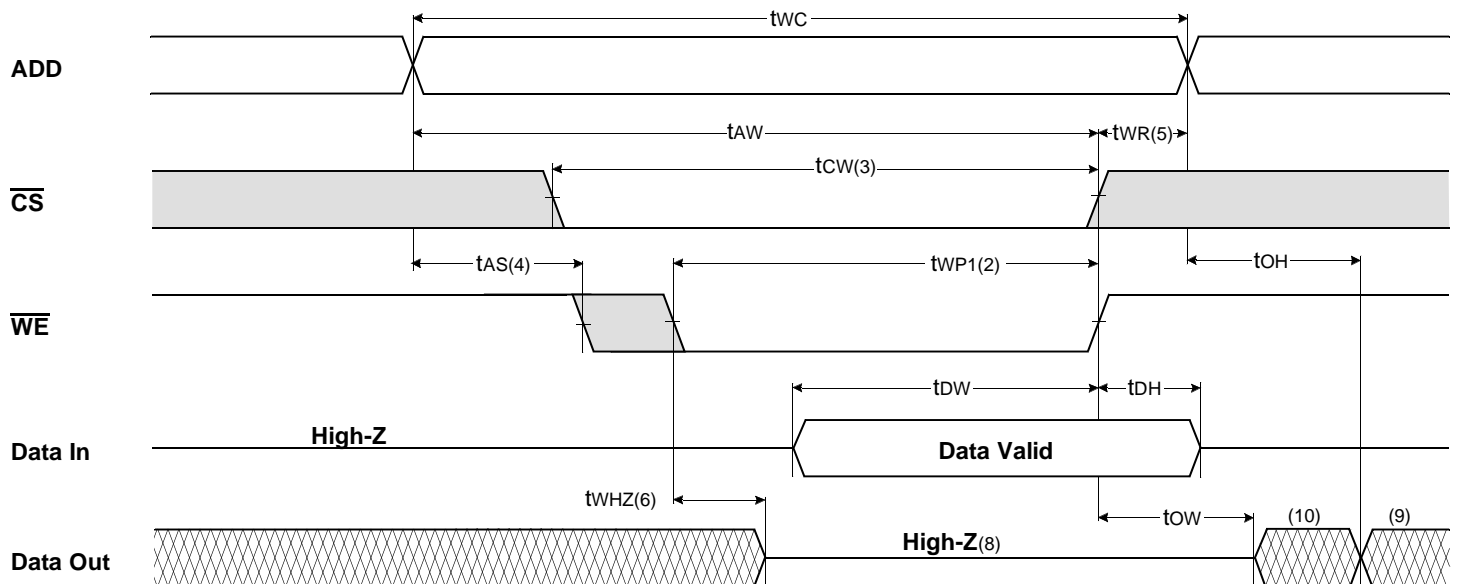
TIMING WAVE FORM OF READ CYCLE(2) $\overline{WE}=V_{IH}$ 

NOTES(READ CYCLE)

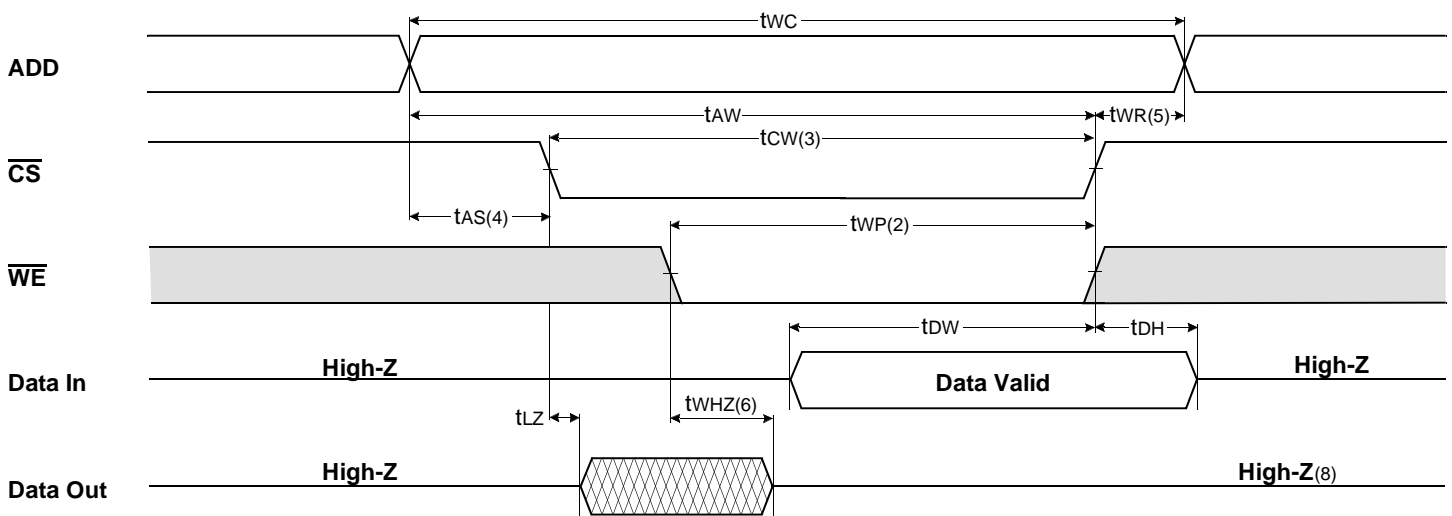
1. \overline{WE} is high for read cycle.
2. All read cycle timing is referenced from the last valid address to the first transition address.
3. t_{HZ} and t_{OHZ} are defined as the time at which the outputs achieve the open circuit condition and are not referenced to V_{OH} or V_{OL} Levels.
4. At any given temperature and voltage condition, $t_{HZ}(\text{Max.})$ is less than $t_{LZ}(\text{Min.})$ both for a given device and from device to device.
5. Transition is measured $\pm 200\text{sA}$ from steady state voltage with Load(B). This parameter is sampled and not 100% tested.
6. Device is continuously selected with $\overline{CS}=V_{IL}$.
7. Address valid prior to coincident with \overline{CS} transition low.
8. For common I/O applications, minimization or elimination of bus contention conditions is necessary during read and write cycle.

TIMING WAVE FORM OF WRITE CYCLE(1) $\overline{OE}=\text{Clock}$ 

TIMING WAVE FORM OF WRITE CYCLE(2) \overline{OE} =Low Fixed)



TIMING WAVE FORM OF WRITE CYCLE(3) \overline{CS} =Controlled)



NOTES(WRITE CYCLE)

1. All write cycle timing is referenced from the last valid address to the first transition address.
2. A write occurs during the overlap of a low \overline{CS} and \overline{WE} . A write begins at the latest transition \overline{CS} going low and \overline{WE} going low ; A write ends at the earliest transition \overline{CS} going high or \overline{WE} going high. tWP is measured from the beginning of write to the end of write.
3. tcw is measured from the later of \overline{CS} going low to end of write.
4. tas is measured from the address valid to the beginning of write.
5. twr is measured from the end of write to the address change. tWR applied in case a write ends as \overline{CS} or \overline{WE} going high.
6. If OE, \overline{CS} and \overline{WE} are in the Read Mode during this period, the I/O pins are in the output low-Z state. Inputs of opposite phase of the output must not be applied because bus contention can occur.
7. For common I/O applications, minimization or elimination of bus contention conditions is necessary during read and write cycle.
8. If \overline{CS} goes low simultaneously with \overline{WE} going or after \overline{WE} going low, the outputs remain high impedance state.
9. Dout is the read data of the new address.
10. When \overline{CS} is low : I/O pins are in the output state. The input signals in the opposite phase leading to the output should not be applied.

FUNCTIONAL DESCRIPTION

\overline{CS}	\overline{WE}	\overline{OE}	Mode	I/O Pin	Supply Current
H	X	X*	Not Select	High-Z	ISB, ISB1
L	H	H	Output Disable	High-Z	ICC
L	H	L	Read	DOUT	ICC
L	L	X	Write	DIN	ICC

* NOTE : X means Don't Care.

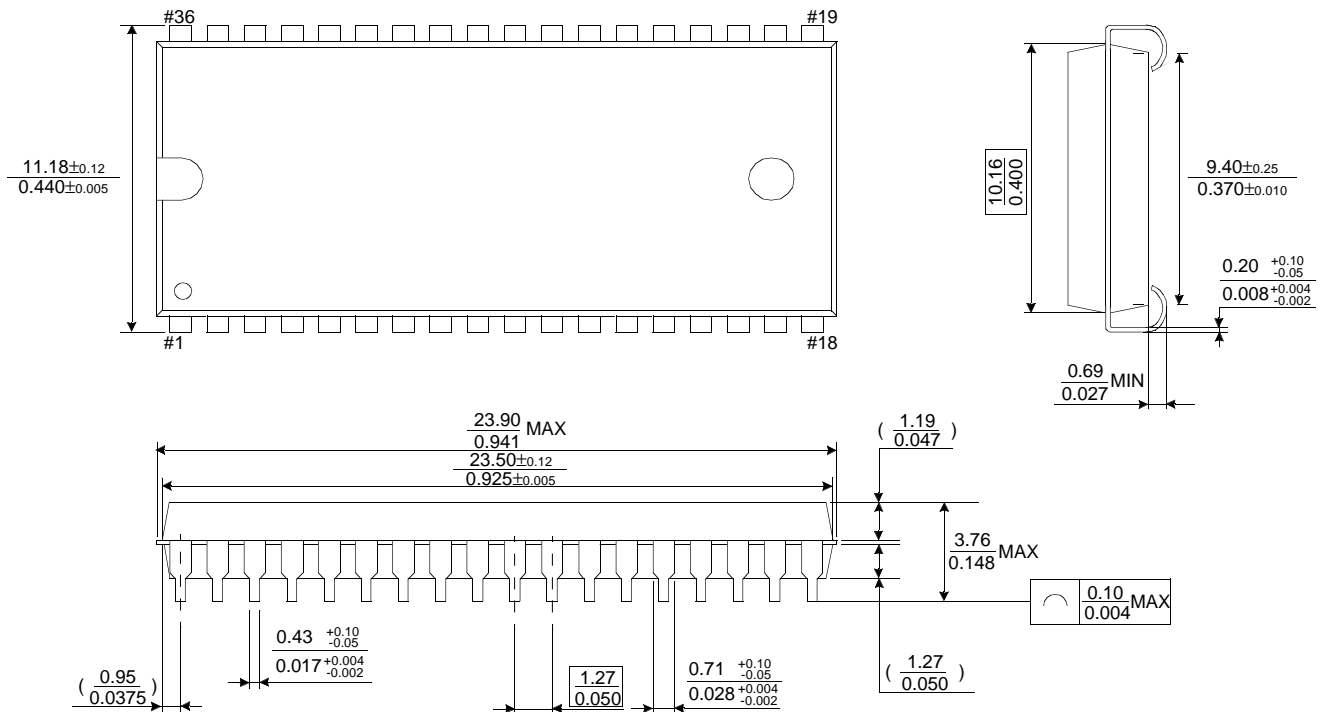


ELECTRONICS

PACKAGE DIMENSIONS

36-SOJ-400

Units : Inches (millimeters)



Features...

- High-performance, EEPROM-based programmable logic devices (PLDs) based on second-generation Multiple Array MatriX (MAX) architecture
- 5.0-V in-system programmability (ISP) via standard Joint Test Action Group (JTAG) interface (IEEE Std. 1149.1-1990) available in MAX 7000S devices
- Built-in JTAG boundary-scan test (BST) circuitry in MAX® 7000S devices with 128 or more macrocells
- Complete EPLD family with logic densities ranging from 600 to 5,000 usable gates (see [Table 1](#))
- 5-ns pin-to-pin logic delays with up to 178.6-MHz counter frequencies (including interconnect)
- PCI-compliant devices available
- Open-drain output option in MAX 7000S devices
- Programmable macrocell flipflops with individual clear, preset, clock, and clock enable controls

Table 1. MAX 7000 Device Features Note (1)

Feature	EPM7032 EPM7032V EPM7032S	EPM7064 EPM7064S	EPM7096	EPM7128E EPM7128S	EPM7160E EPM7160S	EPM7192E EPM7192S	EPM7256E EPM7256S
Usable gates	600	1,250	1,800	2,500	3,200	3,750	5,000
Macrocells	32	64	96	128	160	192	256
Logic array blocks	2	4	6	8	10	12	16
Maximum user I/O pins	36	68	76	100	104	124	164
t_{PD} (ns)	6 (12)	5	7.5	6	6	7.5	7.5
t_{SU} (ns)	5 (10)	4	6	5	5	6	6
t_{FSU} (ns)	2.5 (n/a)	2.5	3	2.5	2.5	3	3
t_{CO1} (ns)	4 (7)	3.5	4.5	4	4	4.5	4.5
f_{CNT} (MHz)	151.5 (90.9)	178.6	125	151.5	151.5	125	125

Note:

(1) Values in parentheses are for low-voltage EPM7032V devices.

...and More Features

- Programmable power-saving mode for 50% or greater power reduction in each macrocell
- Configurable expander product-term distribution, allowing up to 32 product terms per macrocell
- 44 to 208 pins available in plastic J-lead chip carrier (PLCC), ceramic pin-grid array (PGA), plastic quad flat pack (PQFP), power quad flat pack (RQFP), and 1.0-mm thin quad flat pack (TQFP) packages
- Programmable security bit for protection of proprietary designs
- 3.3-V or 5.0-V operation
 - Full 3.3-V EPM7032V device
 - MultiVolt™ I/O interface operation, allowing devices to interface with 3.3-V or 5.0-V devices (MultiVolt I/O operation is not available in 44-pin packages)
 - Pin compatible with low-voltage MAX 7000A devices
- Enhanced features available in MAX 7000E and MAX 7000S devices
 - Six pin- or logic-driven output enable signals
 - Two global clock signals with optional inversion
 - Enhanced interconnect resources for improved routability
 - Fast input setup times provided by a dedicated path from I/O pin to macrocell registers
 - Programmable output slew-rate control
- Software design support and automatic place-and-route provided by the Altera® MAX+PLUS® II development system on 486- and Pentium-based PCs, and Sun SPARCstation, HP 9000 Series 700/800, and IBM RISC System/6000 workstations
- Additional design entry and simulation support provided by EDIF 2.0.0 and 3.0.0 netlist files, library of parameterized modules (LPM), Verilog HDL, VHDL, and other interfaces to popular EDA tools from manufacturers such as Cadence, Exemplar Logic, Mentor Graphics, OrCAD, Synopsys, and VeriBest
- Programming support with Altera's Master Programming Unit (MPU), BitBlaster™ serial download cable, ByteBlaster™ parallel port download cable, as well as programming hardware from third-party manufacturers

General Description

The MAX 7000 family of high-density, high-performance (PLDs) is based on Altera's second-generation MAX architecture. Fabricated with advanced CMOS technology, the EEPROM-based MAX 7000 family provides 600 to 5,000 usable gates, ISP, pin-to-pin delays as fast as 5 ns, and counter speeds of up to 178.6 MHz. MAX 7000S devices in the -5, -6, -7, and -10 speed grades as well as MAX 7000 and MAX 7000E devices in -5, -6, -7, -10P, -12P speed grades comply with the ***PCI Local Bus Specification, Revision 2.1***. See **Table 2** for available speed grades.

Table 2. MAX 7000 Speed Grades *Note (1)*

Device	Speed Grade									
	-5	-6	-7	-10P	-10	-12P	-12	-15	-15T	-20
EPM7032	✓	✓			✓		✓	✓	✓	
EPM7032V							✓	✓		✓
EPM7032S	✓ (1)	✓ (1)			✓ (1)					
EPM7064	✓	✓			✓		✓	✓		
EPM7064S	✓ (1)	✓ (1)	✓ (1)		✓ (1)					
EPM7096			✓		✓		✓	✓		
EPM7128E			✓	✓	✓		✓	✓		✓
EPM7128S	✓ (1)	✓ (1)			✓ (1)			✓ (1)		
EPM7160E				✓	✓		✓	✓		✓
EPM7160S	✓ (1)	✓ (1)			✓ (1)			✓ (1)		
EPM7192E						✓	✓	✓		✓
EPM7192S			✓ (1)		✓ (1)			✓ (1)		
EPM7256E						✓	✓	✓		✓
EPM7256S			✓ (1)		✓ (1)			✓ (1)		

Note:

- (1) All information on MAX 7000S devices is preliminary. Contact Altera Customer Marketing at (408) 544-7104 for product availability.

The MAX 7000E devices—including the EPM7128E, EPM7160E, EPM7192E, and EPM7256E devices—have several enhanced features: additional global clocking, additional output enable controls, enhanced interconnect resources, fast input registers, and a programmable slew rate.

In-system programmable MAX 7000 devices—called MAX 7000S devices—include the EPM7032S, EPM7064S, EPM7128S, EPM7160S, EPM7192S, and EPM7256S devices. MAX 7000S devices have the enhanced features of MAX 7000E devices as well as JTAG BST circuitry in devices with 128 or more macrocells, ISP, and an open-drain output option. See [Table 3](#).

Feature	EPM7032 EPM7032V EPM7064 EPM7096	All MAX 7000E Devices	All MAX 7000S Devices
ISP via JTAG interface			✓
JTAG BST circuitry			✓ (1)
Open-drain output option			✓
Fast input registers		✓	✓
Six global output enables		✓	✓
Two global clocks		✓	✓
Slew-rate control		✓	✓
MultiVolt interface, Note (2)	✓	✓	✓
Programmable register	✓	✓	✓
Parallel expanders	✓	✓	✓
Shared expanders	✓	✓	✓
Power-saving mode	✓	✓	✓
Security bit	✓	✓	✓
PCI-compliant devices available	✓	✓	✓

Notes:

- (1) Available in EPM7128S, EPM7160S, EPM7192S, and EPM7256S devices only.
- (2) The MultiVolt I/O interface is not available in 44-pin packages.

The MAX 7000 architecture supports 100% TTL emulation and high-density integration of SSI, MSI, and LSI logic functions. It easily integrates multiple devices ranging from PALs, GALs, and 22V10s to MACH, pLSI, and FPGA devices. With speed, density, and I/O resources comparable to commonly used masked gate arrays, MAX 7000 devices are an ideal alternative to gate-arrays. MAX 7000 devices are available in a wide range of packages, including PLCC, PGA, PQFP, RQFP, and TQFP packages.

See [Table 4](#).

Table 4. MAX 7000 Maximum User I/O Pins [Note \(1\), \(2\)](#)

Device	44-Pin PLCC	44-Pin PQFP	44-Pin TQFP	68-Pin PLCC	84-Pin PLCC	100-Pin PQFP	100-Pin TQFP	160-Pin PQFP	160-Pin PGA	192-Pin PGA	208-Pin PQFP	208-Pin RQFP
EPM7032	36	36	36									
EPM7032V	36		36									
EPM7032S	36		36									
EPM7064	36		36	52	68	68						
EPM7064S	36		36		68		68					
EPM7096				52	64	76						
EPM7128E					68	84		100				
EPM7128S					68	84	84, (3)	100				
EPM7160E					64	84		104				
EPM7160S					64		84, (3)	104				
EPM7192E								124	124			
EPM7192S								124				
EPM7256E								132, (3)		164		164
EPM7256S										164, (3)		164

Notes:

- (1) Contact Altera for up-to-date information on available device package options.
- (2) When the JTAG interface in MAX 7000S devices is used, four I/O pins become JTAG pins.
- (3) Perform a complete thermal analysis before committing a design to this device package. See the [Operating Requirements for Altera Devices Data Sheet](#) in the **1998 Data Book** for more information.

MAX 7000 devices use CMOS EEPROM cells to implement logic functions. The user-configurable MAX 7000 architecture accommodates a variety of independent combinatorial and sequential logic functions. The devices can be reprogrammed for quick and efficient iterations during design development and debug cycles, and can be programmed and erased up to 100 times.

MAX 7000 devices contain from 32 to 256 macrocells that are combined into groups of 16 macrocells, called logic array blocks (LABs). Each macrocell has a programmable-AND/fixed-OR array and a configurable register with independently programmable clock, clock enable, clear, and preset functions. To build complex logic functions, each macrocell can be supplemented with both shareable expander product terms and high-speed parallel expander product terms to provide up to 32 product terms per macrocell.

The MAX 7000 family provides programmable speed/power optimization. Speed-critical portions of a design can run at high speed/full power, while the remaining portions run at reduced speed/low power. This speed/power optimization feature enables the designer to configure one or more macrocells to operate at 50% or lower power while adding only a nominal timing delay. MAX 7000E and MAX 7000S devices also provide an option that reduces the slew rate of the output buffers, minimizing noise transients when non-speed-critical signals are switching. The output drivers of all MAX 7000 devices (except 44-pin devices) can be set for either 3.3-V or 5.0-V operation, allowing MAX 7000 devices to be used in mixed-voltage systems.

The MAX 7000 family is supported by Altera's MAX+PLUS II development system, a single, integrated package that allows schematic, text—including VHDL, Verilog HDL, and the Altera Hardware Description Language (AHDL)—and waveform design entry; compilation and logic synthesis; simulation and timing analysis; and device programming. The MAX+PLUS II software provides EDIF 2.0 0 and 3.0 0, LPM, VHDL, Verilog HDL, and other interfaces for additional design entry and simulation support from other industry-standard PC- and UNIX-workstation-based EDA tools. The MAX+PLUS II software runs on 486- and Pentium-based PCs, and Sun SPARCstation, HP 9000 Series 700/800, and IBM RISC System/6000 workstations.



For more information on development tools, go to the *MAX+PLUS II Programmable Logic Development System & Software Data Sheet* in the **1998 Data Book**.

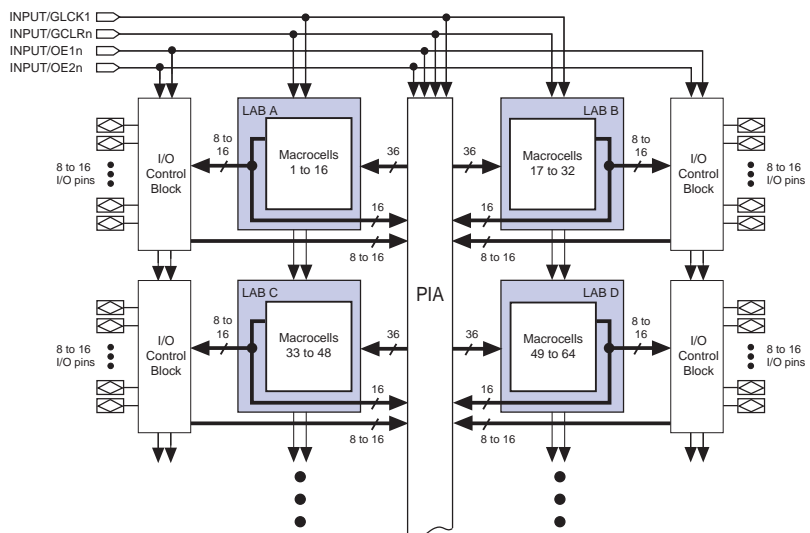
Functional Description

The MAX 7000 architecture includes the following elements:

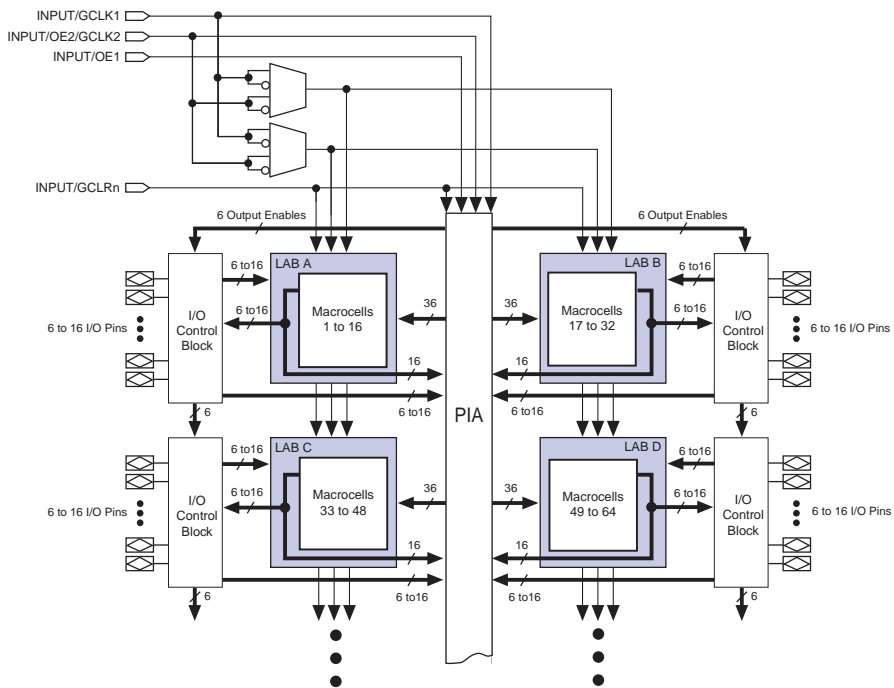
- Logic array blocks
- Macrocells
- Expander product terms (shareable and parallel)
- Programmable interconnect array
- I/O control blocks

The MAX 7000 architecture includes four dedicated inputs that can be used as general-purpose inputs or as high-speed, global control signals (clock, clear, and two output enable signals) for each macrocell and I/O pin. [Figure 1](#) shows the architecture of EPM7032, EPM7032V, EPM7064, and EPM7096 devices.

Figure 1. EPM7032, EPM7032V, EPM7064 & EPM7096 Device Block Diagram



[Figure 2](#) shows the architecture of MAX 7000E and MAX 7000S devices.

Figure 2. MAX 7000E & MAX 7000S Device Block Diagram

Logic Array Blocks

The MAX 7000 device architecture is based on the linking of high-performance, flexible, logic array modules called logic array blocks (LABs). LABs consist of 16-macrocell arrays, as shown in Figures 1 and 2. Multiple LABs are linked together via the programmable interconnect array (PIA), a global bus that is fed by all dedicated inputs, I/O pins, and macrocells.

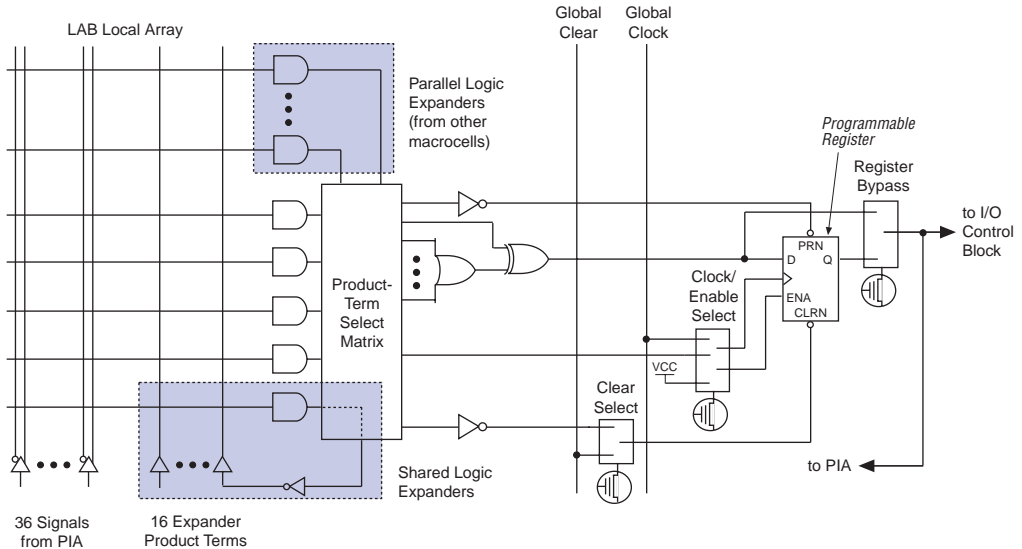
Each LAB is fed by the following signals:

- 36 signals from the programmable interconnect array (PIA) that are used for general logic inputs
- Global controls that are used for secondary register functions
- Direct input paths from I/O pins to the registers that are used for fast setup times for MAX 7000E and MAX 7000S devices

Macrocells

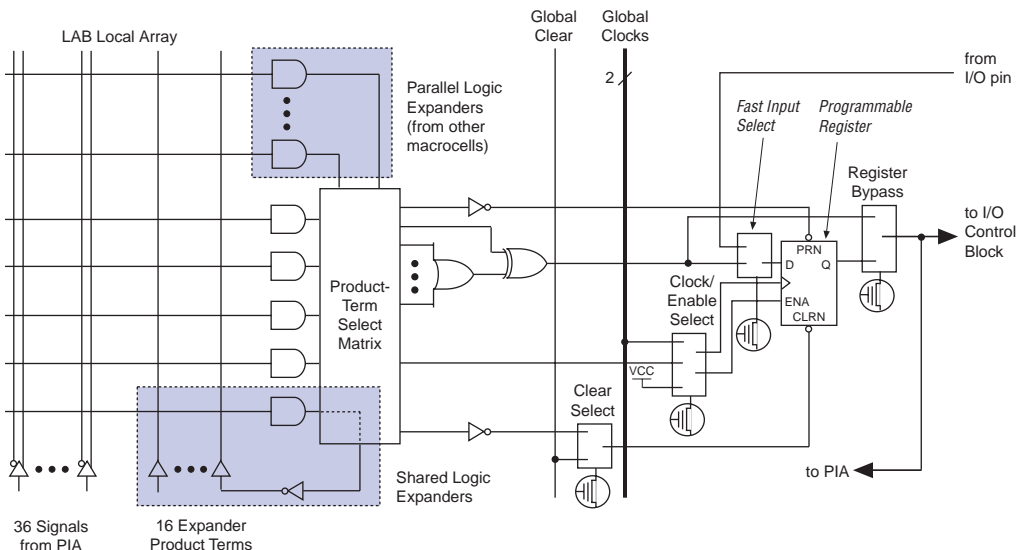
The MAX 7000 macrocell can be individually configured for either sequential or combinatorial logic operation. The macrocell consists of three functional blocks: the logic array, the product-term select matrix, and the programmable register. The macrocell of EPM7032, EPM7032V, EPM7064, and EPM7096 devices is shown in [Figure 3](#).

Figure 3. EPM7032, EPM7032V, EPM7064 & EPM7096 Device Macrocell



The macrocell of MAX 7000E and MAX 7000S devices is shown in [Figure 4](#).

Figure 4. MAX 7000E & MAX 7000S Device Macrocell



Combinatorial logic is implemented in the logic array, which provides five product terms per macrocell. The product-term select matrix allocates these product terms for use as either primary logic inputs (to the OR and XOR gates) to implement combinatorial functions, or as secondary inputs to the macrocell's register clear, preset, clock, and clock enable control functions. Two kinds of expander product terms ("expanders") are available to supplement macrocell logic resources:

- Shareable expanders, which are inverted product terms that are fed back into the logic array
- Parallel expanders, which are product terms borrowed from adjacent macrocells

The MAX+PLUS II software automatically optimizes product-term allocation according to the logic requirements of the design.

For registered functions, each macrocell flipflop can be individually programmed to implement D, T, JK, or SR operation with programmable clock control. The flipflop can be bypassed for combinatorial operation. During design entry, the designer specifies the desired flipflop type; the MAX+PLUS II software then selects the most efficient flipflop operation for each registered function to optimize resource utilization.

Each programmable register can be clocked in three different modes:

- By a global clock signal. This mode achieves the fastest clock-to-output performance.
- By a global clock signal and enabled by an active-high clock enable. This mode provides an enable on each flipflop while still achieving the fast clock-to-output performance of the global clock.
- By an array clock implemented with a product term. In this mode, the flipflop can be clocked by signals from buried macrocells or I/O pins.

In EPM7032, EPM7032V, EPM7064, and EPM7096 devices, the global clock signal is available from a dedicated clock pin, GCLK1, as shown in [Figure 1](#). In MAX 7000E and MAX 7000S devices, two global clock signals are available. As shown in [Figure 2](#), these global clock signals can be the true or the complement of either of the global clock pins, GCLK1 or GCLK2.

Each register also supports asynchronous preset and clear functions. As shown in Figures [3](#) and [4](#), the product-term select matrix allocates product terms to control these operations. Although the product-term-driven preset and clear of the register are active high, active-low control can be obtained by inverting the signal within the logic array. In addition, each register clear function can be individually driven by the active-low dedicated global clear pin (GCLRN).

All MAX 7000E and MAX 7000S I/O pins have a fast input path to a macrocell register. This dedicated path allows a signal to bypass the PIA and combinatorial logic and be driven to an input D flipflop with an extremely fast (3-ns) input setup time.

Expander Product Terms

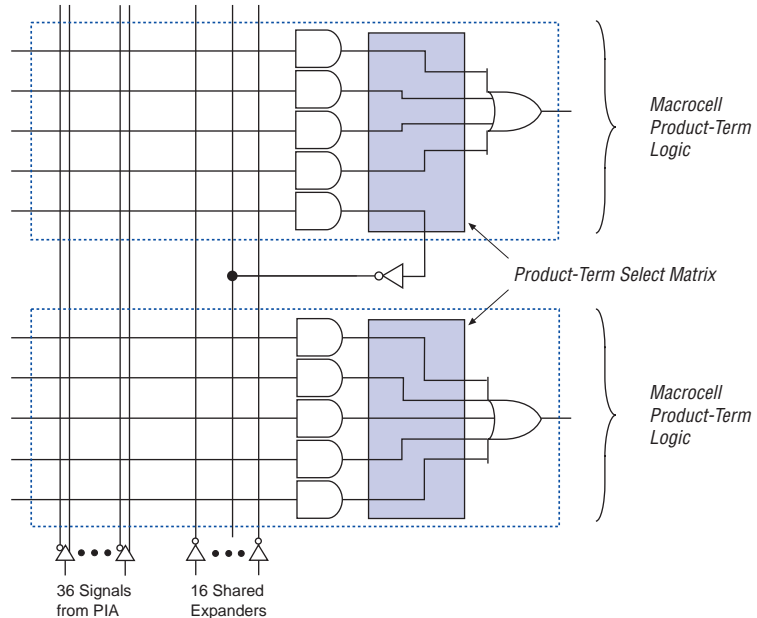
Although most logic functions can be implemented with the five product terms available in each macrocell, the more complex logic functions require additional product terms. Another macrocell can be used to supply the required logic resources; however, the MAX 7000 architecture also allows both shareable and parallel expander product terms (“expanders”) that provide additional product terms directly to any macrocell in the same LAB. These expanders help ensure that logic is synthesized with the fewest possible logic resources to obtain the fastest possible speed.

Shareable Expanders

Each LAB has 16 shareable expanders that can be viewed as a pool of uncommitted single product terms (one from each macrocell) with inverted outputs that feed back into the logic array. Each shareable expander can be used and shared by any or all macrocells in the LAB to build complex logic functions. A small delay (t_{SEXP}) is incurred when shareable expanders are used. [Figure 5](#) shows how shareable expanders can feed multiple macrocells.

Figure 5. Shareable Expanders

Shareable expanders can be shared by any or all macrocells in an LAB.



Parallel Expanders

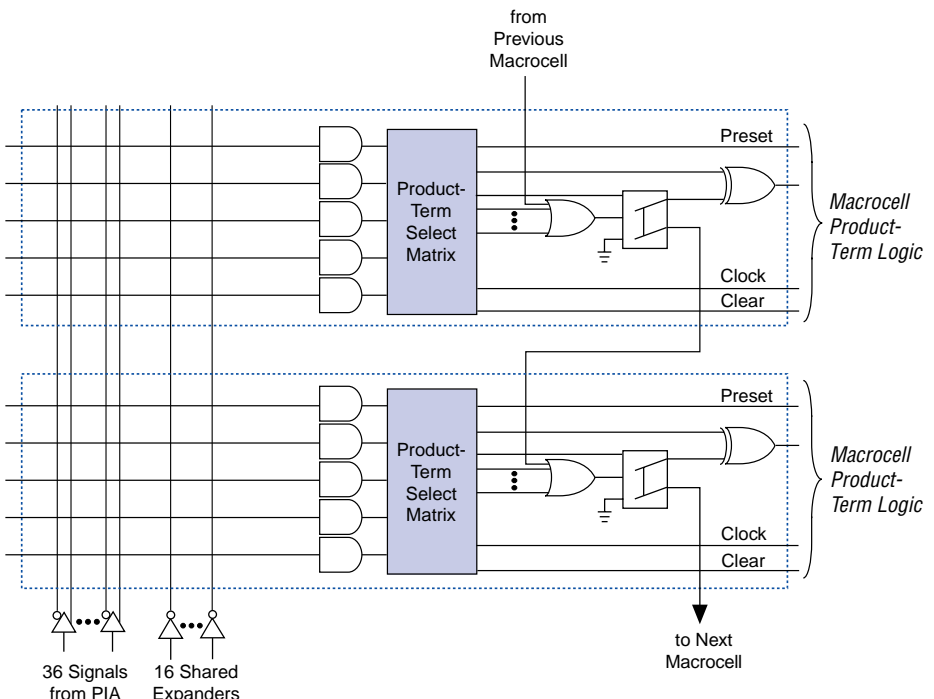
Parallel expanders are unused product terms that can be allocated to a neighboring macrocell to implement fast, complex logic functions. Parallel expanders allow up to 20 product terms to directly feed the macrocell OR logic, with 5 product terms provided by the macrocell and 15 parallel expanders provided by neighboring macrocells in the LAB.

The MAX+PLUS II Compiler can allocate up to 3 sets of up to 5 parallel expanders automatically to the macrocells that require additional product terms. Each set of 5 parallel expanders incurs a small, incremental timing delay (t_{PEXP}). For example, if a macrocell requires 14 product terms, the Compiler uses the 5 dedicated product terms within the macrocell and allocates 2 sets of parallel expanders; the first set includes 5 product terms and the second set includes 4 product terms, increasing the total delay by $2 \times t_{PEXP}$.

Two groups of 8 macrocells within each LAB (e.g., macrocells 1 through 8 and 9 through 16) form 2 chains to lend or borrow parallel expanders. A macrocell borrows parallel expanders from lower-numbered macrocells. For example, macrocell 8 can borrow parallel expanders from macrocell 7, from macrocells 7 and 6, or from macrocells 7, 6, and 5. Within each group of 8, the lowest-numbered macrocell can only lend parallel expanders and the highest-numbered macrocell can only borrow them. [Figure 6](#) shows how parallel expanders can be borrowed from a neighboring macrocell.

Figure 6. Parallel Expanders

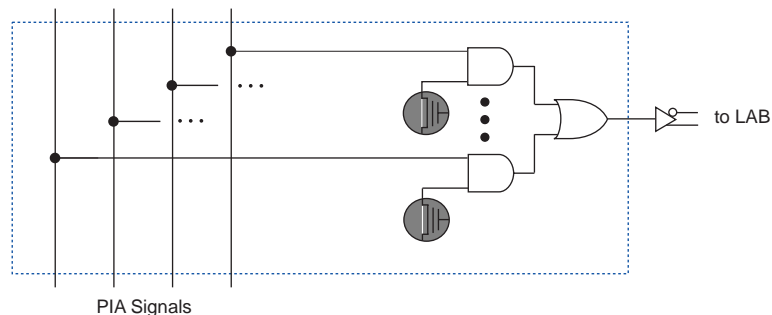
Unused product terms in a macrocell can be allocated to a neighboring macrocell.



Programmable Interconnect Array

Logic is routed between LABs via the programmable interconnect array (PIA). This global bus is a programmable path that connects any signal source to any destination on the device. All MAX 7000 dedicated inputs, I/O pins, and macrocell outputs feed the PIA, which makes the signals available throughout the entire device. Only the signals required by each LAB are actually routed from the PIA into the LAB. Figure 7 shows how the PIA signals are routed into the LAB. An EEPROM cell controls one input to a 2-input AND gate, which selects a PIA signal to drive into the LAB.

Figure 7. PIA Routing



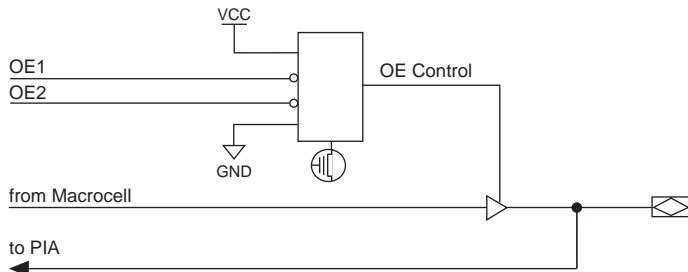
While the routing delays of channel-based routing schemes in masked or field-programmable gate arrays (FPGAs) are cumulative, variable, and path-dependent, the MAX 7000 PIA has a fixed delay. The PIA thus eliminates skew between signals and makes timing performance easy to predict.

I/O Control Blocks

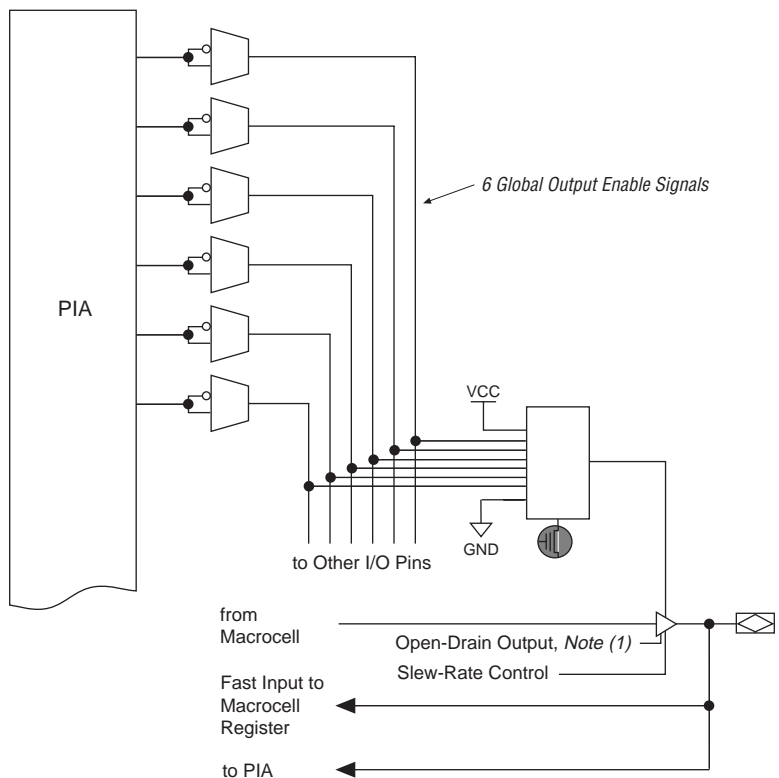
The I/O control block allows each I/O pin to be individually configured for input, output, or bidirectional operation. All I/O pins have a tri-state buffer that is individually controlled by one of the global output enable signals or directly connected to ground or V_{CC}. Figure 8 shows the I/O control block for the MAX 7000 family. The I/O control block of EPM7032, EPM7032V, EPM7064, and EPM7096 devices has two global output enable signals that are driven by two dedicated active-low output enable pins (OE1 and OE2). The I/O control block of MAX 7000E and MAX 7000S devices has six global output enable signals that are driven by the true or complement of two output enable signals, a subset of the I/O pins, or a subset of the I/O macrocells.

Figure 8. I/O Control Block of MAX 7000 Devices

EPM7032, EPM7032V, EPM7064 & EPM7096 Devices



MAX 7000E & MAX 7000S Devices

**Note:**

- (1) The open-drain output option is available in MAX 7000S devices only.

When the tri-state buffer control is connected to ground, the output is tri-stated (high impedance) and the I/O pin can be used as a dedicated input. When the tri-state buffer control is connected to V_{CC} , the output is enabled.

The MAX 7000 architecture provides dual I/O feedback, in which macrocell and pin feedbacks are independent. When an I/O pin is configured as an input, the associated macrocell can be used for buried logic.

In-System Programma- bility (ISP)

MAX 7000S devices are in-system programmable via an industry-standard 4-pin Joint Test Action Group (JTAG) interface (IEEE Std. 1149.1-1990). ISP allows quick, efficient iterations during design development and debugging cycles. The MAX 7000S architecture internally generates the high programming voltage required to program EEPROM cells, allowing in-system programming with only a single 5.0 V power supply. During in-system programming, the I/O pins are tri-stated and pulled-up to eliminate board conflicts. The pull-up value is nominally 50 k Ω .

ISP simplifies the manufacturing flow by allowing devices to be mounted on a printed circuit board with standard in-circuit test equipment before they are programmed. MAX 7000S devices can be programmed by downloading the information via in-circuit test (ICT) equipment, embedded processors, or the Altera BitBlaster or ByteBlaster download cables. Programming the devices after they are placed on the board eliminates lead damage on high-pin-count packages (e.g., QFP packages) due to device handling. MAX 7000S devices can be reprogrammed after a system has already shipped to the field. For example, product upgrades can be performed in the field via software or modem.

In-system programming can be accomplished with either an adaptive or constant algorithm. An adaptive algorithm reads information from the unit and adapts subsequent programming steps to achieve the fastest possible programming time for that unit. Because some ICT platforms have difficulties supporting an adaptive algorithm, Altera offers devices tested with a constant algorithm. Devices tested to the constant algorithm are marked with an "F" suffix in the ordering code.

Programmable Speed/Power Control

MAX 7000 devices offer a power-saving mode that supports low-power operation across user-defined signal paths or the entire device. This feature allows total power dissipation to be reduced by 50% or more, because most logic applications require only a small fraction of all gates to operate at maximum frequency.

The designer can program each individual macrocell in a MAX 7000 device for either high-speed (i.e., with the Turbo Bit™ option turned on) or low-power (i.e., with the Turbo Bit option turned off) operation. As a result, speed-critical paths in the design can run at high speed, while the remaining paths can operate at reduced power. Macrocells that run at low power incur a nominal timing delay adder (t_{LPA}) for the t_{LAD} , t_{LAC} , t_{IC} , t_{ACL} , t_{EN} , and t_{SEXP} parameters.

Output Configuration

MAX 7000 device outputs can be programmed to meet a variety of system-level requirements.

MultiVolt I/O Interface

MAX 7000 devices, except 44-pin devices, support the MultiVolt I/O interface feature, which allows MAX 7000 devices to interface with systems that have differing supply voltages. The 5.0-V devices in all packages can be set for 3.3-V or 5.0-V I/O pin operation. These devices have one set of VCC pins for internal operation and input buffers (VCCINT), and another set for I/O output drivers (VCCIO).

The VCCINT pins must always be connected to a 5.0-V power supply. With a 5.0-V V_{CCINT} level, input voltage thresholds are at TTL levels, and are therefore compatible with both low voltage and V_{CCINT} inputs.

The VCCIO pins can be connected to either a 3.3-V or a 5.0-V power supply, depending on the output requirements. When the VCCIO pins are connected to a 5.0-V supply, the output levels are compatible with 5.0-V systems. When V_{CCIO} is connected to a 3.3-V supply, the output high is 3.3 V and is therefore compatible with 3.3-V or 5.0-V systems. Devices operating with V_{CCIO} levels lower than 4.75 V incur a nominally greater timing delay of t_{OD2} instead of t_{OD1} .

Open-Drain Output Option (MAX 7000S Devices Only)

MAX 7000S devices provide an optional open-drain (functionally equivalent to open-collector) output for each I/O pin. This open-drain output enables the device to provide system-level control signals (e.g., interrupt and write enable signals) that can be asserted by any of several devices. It can also provide an additional wired-OR plane.

Slew-Rate Control

The output buffer for each MAX 7000E and MAX 7000S I/O pin has an adjustable output slew rate that can be configured for low-noise or high-speed performance. A faster slew rate provides high-speed transitions for high-performance systems. However, these fast transitions may introduce noise transients into the system. A slow slew rate reduces system noise, but adds a nominal delay of 4 to 5 ns. In MAX 7000E devices, when the Turbo Bit is turned off, the slew rate is set for low noise performance. For MAX 7000S devices, each I/O pin has an individual EEPROM bit that controls the slew rate, allowing designers to specify the slew rate on a pin-by-pin basis.

Programming with External Hardware

MAX 7000 devices can be programmed on 486- and Pentium-based PCs with the MAX+PLUS II Programmer, an Altera Logic Programmer card, the Master Programming Unit (MPU), and the appropriate device adapter. The MPU performs continuity checking to ensure adequate electrical contact between the adapter and the device. For more information, see *Altera Programming Hardware* in the **1998 Data Book**.

The MAX+PLUS II software can use text- or waveform-format test vectors created with the MAX+PLUS II Text Editor or Waveform Editor to test the programmed device. For added design verification, designers can perform functional testing to compare the functional behavior of a MAX 7000 device with the results of simulation. Moreover, Data I/O, BP Microsystems, and other programming hardware manufacturers also provide programming support for Altera devices. For more information, see *Programming Hardware Manufacturers* in the **1998 Data Book**.

IEEE 1149.1 (JTAG) Boundary-Scan Support

MAX 7000 devices support JTAG BST circuitry as specified by IEEE Std. 1149.1-1990. [Table 5](#) describes the JTAG instructions supported by the MAX 7000 family. The pin-out tables starting on [page 45](#) of this data sheet show the location of the JTAG control pins for each device. If the JTAG interface is not required, the JTAG pins are available as user I/O pins.

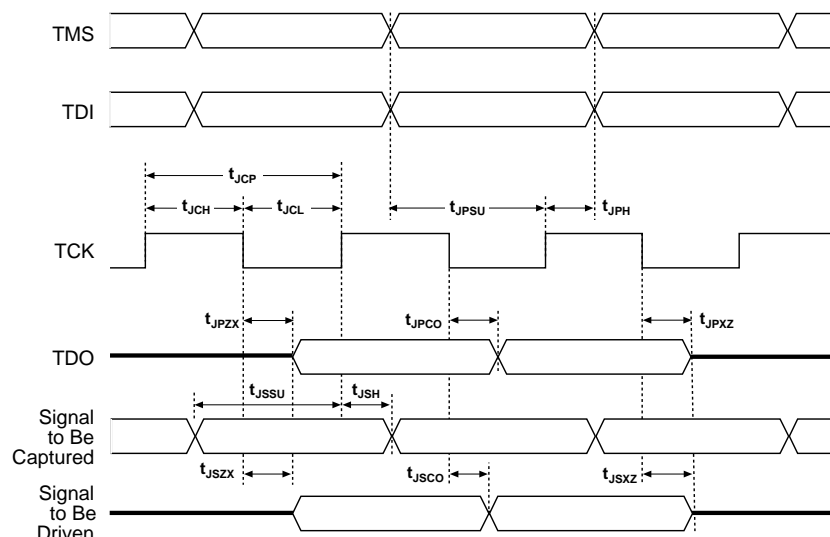
Table 5. MAX 7000 JTAG Instructions (Part 1 of 2)

JTAG Instruction	Devices	Description
SAMPLE/PRELOAD	EPM7128S EPM7160S EPM7192S EPM7256S	Allows a snapshot of signals at the device pins to be captured and examined during normal device operation, and permits an initial data pattern output at the device pins.
EXTEST	EPM7128S EPM7160S EPM7192S EPM7256S	Allows the external circuitry and board-level interconnections to be tested by forcing a test pattern at the output pins and capturing test results at the input pins.

Table 5. MAX 7000 JTAG Instructions (Part 2 of 2)

JTAG Instruction	Devices	Description
BYPASS	EPM7032S EPM7064S EPM7128S EPM7160S EPM7192S EPM7256S	Places the 1-bit bypass register between the TDI and TDO pins, which allows the BST data to pass synchronously through a selected device to adjacent devices during normal device operation.
IDCODE	EPM7032S EPM7064S EPM7128S EPM7160S EPM7192S EPM7256S	Selects the IDCODE register and places it between TDI and TDO, allowing the IDCODE to be serially shifted out of TDO.
ISP Instructions	EPM7032S EPM7064S EPM7128S EPM7160S EPM7192S EPM7256S	These instructions are used when programming MAX 7000S devices via the JTAG ports with the BitBlaster or ByteBlaster download cable, or using a Jam File or Serial Vector Format (.svf) file via an embedded processor or test equipment.

Figure 9 shows the timing requirements for the JTAG signals.

Figure 9. MAX 7000 JTAG Waveforms



Go to [Application Note 39 \(IEEE 1149.1 \(JTAG\) Boundary-Scan Testing in Altera Devices\)](#) for more information.

Design Security

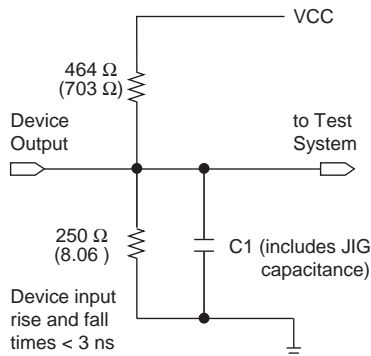
All MAX 7000 devices contain a programmable security bit that controls access to the data programmed into the device. When this bit is programmed, a proprietary design implemented in the device cannot be copied or retrieved. This feature provides a high level of design security, because programmed data within EEPROM cells is invisible. The security bit that controls this function, as well as all other programmed data, is reset only when the device is reprogrammed.

Generic Testing

MAX 7000 devices are fully functionally tested. Complete testing of each programmable EEPROM bit and all internal logic elements ensures 100% programming yield. AC test measurements are taken under conditions equivalent to those shown in [Figure 10](#). Test patterns can be used and then erased during early stages of the production flow.

Figure 10. MAX 7000 AC Test Conditions

Power supply transients can affect AC measurements. Simultaneous transitions of multiple outputs should be avoided for accurate measurement. Threshold tests must not be performed under AC conditions. Large-amplitude, fast ground-current transients normally occur as the device outputs discharge the load capacitances. When these transients flow through the parasitic inductance between the device ground pin and the test system ground, significant reductions in observable noise immunity can result. Numbers in parentheses are for 3.3-V devices.



QFP Carrier & Development Socket

MAX 7000 and MAX 7000E devices in QFP packages with 100 or more pins are shipped in special plastic carriers to protect the QFP leads. The carrier is used with a prototype development socket and special programming hardware available from Altera. This carrier technology makes it possible to program, test, erase, and reprogram a device without exposing the leads to mechanical stress. For detailed information and carrier dimensions, refer to the [QFP Carrier & Development Socket Data Sheet](#) in the [1998 Data Book](#).



MAX 7000S devices are not shipped in carriers.

Operating Conditions

The following tables provide information of absolute maximum ratings, recommended operating conditions, operating conditions, and capacitance for 5.0-V MAX 7000 devices.

MAX 7000 5.0-V Device Absolute Maximum Ratings *Note (1)*

Symbol	Parameter	Conditions	Min	Max	Unit
V_{CC}	Supply voltage	With respect to ground, <i>Note (2)</i>	-2.0	7.0	V
V_I	DC input voltage		-2.0	7.0	V
I_{OUT}	DC output current, per pin		-25	25	mA
T_{STG}	Storage temperature	No bias	-65	150	°C
T_{AMB}	Ambient temperature	Under bias	-65	135	°C
T_J	Junction temperature	Ceramic packages, under bias		150	°C
		PQFP and RQFP packages, under bias		135	°C

MAX 7000 5.0-V Device Recommended Operating Conditions

Symbol	Parameter	Conditions	Min	Max	Unit
V_{CCINT}	Supply voltage for internal logic and input buffers	<i>Notes (3), (4)</i>	4.75 (4.50)	5.25 (5.50)	V
V_{CCIO}	Supply voltage for output drivers, 5.0-V operation	<i>Notes (3), (4)</i>	4.75 (4.50)	5.25 (5.50)	V
	Supply voltage for output drivers, 3.3-V operation	<i>Notes (3), (4), (5)</i>	3.00 (3.00)	3.60 (3.60)	V
V_{CCISP}	Supply voltage during ISP	<i>Note (6)</i>	4.75	5.25	V
V_I	Input voltage		0	V_{CCINT}	V
V_O	Output voltage		0	V_{CCIO}	V
T_A	Ambient temperature	For commercial use	0	70	°C
		For industrial use	-40	85	°C
T_J	Junction temperature	For commercial use	0	90	°C
		For industrial use	-40	105	°C
t_R	Input rise time			40	ns
t_F	Input fall time			40	ns

MAX 7000 5.0-V Device DC Operating Conditions Note (7)

Symbol	Parameter	Conditions	Min	Max	Unit
V_{IH}	High-level input voltage		2.0	$V_{CCINT} + 0.3$	V
V_{IL}	Low-level input voltage		-0.3	0.8	V
V_{OH}	5.0-V high-level TTL output voltage	$I_{OH} = -4 \text{ mA DC}, V_{CCIO} = 4.75 \text{ V}$, Note (8)	2.4		V
	3.3-V high-level TTL output voltage	$I_{OH} = -4 \text{ mA DC}, V_{CCIO} = 3.00 \text{ V}$, Note (8)	2.4		V
	3.3-V high-level CMOS output voltage	$I_{OH} = -0.1 \text{ mA DC}, V_{CCIO} = 3.0 \text{ V}$, Note (8)	$V_{CCIO} - 0.2$		V
V_{OL}	5.0-V low-level TTL output voltage	$I_{OL} = 12 \text{ mA DC}, V_{CCIO} = 4.75 \text{ V}$, Note (9)		0.45	V
	3.3-V low-level TTL output voltage	$I_{OH} = 12 \text{ mA DC}, V_{CCIO} = 3.00 \text{ V}$, Note (8)		0.45	V
	3.3-V low-level CMOS output voltage	$I_{OL} = 0.1 \text{ mA DC}, V_{CCIO} = 3.0 \text{ V}$, Note (9)		0.2	V
I_I	Leakage current of dedicated input pins	$V_I = V_{CC}$ or ground	-10	10	μA
I_{OZ}	I/O pin tri-state output off-state current	$V_O = V_{CC}$ or ground, Note (10)	-40	40	μA

MAX 7000 5.0-V Device Capacitance: EPM7032, EPM7064 & EPM7096 Devices Note (11)

Symbol	Parameter	Conditions	Min	Max	Unit
C_{IN}	Input pin capacitance	$V_{IN} = 0 \text{ V}, f = 1.0 \text{ MHz}$		12	pF
$C_{I/O}$	I/O pin capacitance	$V_{OUT} = 0 \text{ V}, f = 1.0 \text{ MHz}$		12	pF

MAX 7000 5.0-V Device Capacitance: MAX 7000E Devices Note (11)

Symbol	Parameter	Conditions	Min	Max	Unit
C_{IN}	Input pin capacitance	$V_{IN} = 0 \text{ V}, f = 1.0 \text{ MHz}$		15	pF
$C_{I/O}$	I/O pin capacitance	$V_{OUT} = 0 \text{ V}, f = 1.0 \text{ MHz}$		15	pF

MAX 7000 5.0-V Device Capacitance: MAX 7000S Devices Note (11)

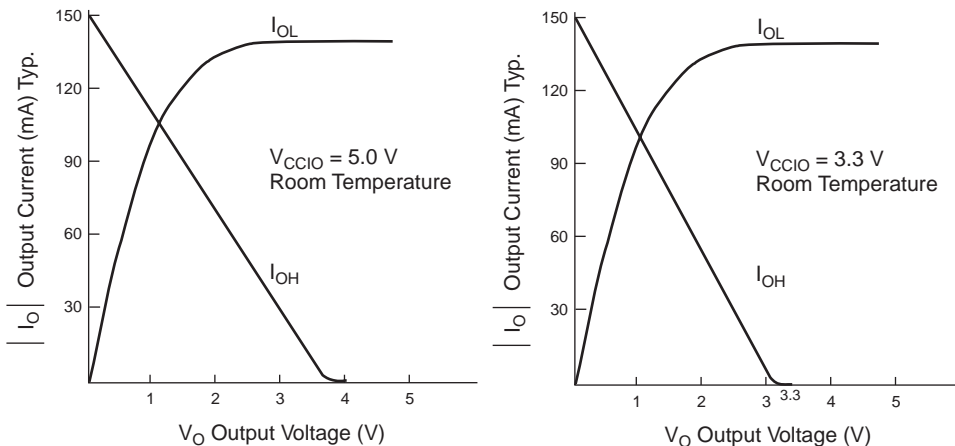
Symbol	Parameter	Conditions	Min	Max	Unit
C_{IN}	Dedicated input pin capacitance	$V_{IN} = 0 \text{ V}, f = 1.0 \text{ MHz}$		10	pF
$C_{I/O}$	I/O pin capacitance	$V_{OUT} = 0 \text{ V}, f = 1.0 \text{ MHz}$		10	pF

Notes to tables:

- (1) See the *Operating Requirements for Altera Devices Data Sheet* in the **1998 Data Book**.
- (2) Minimum DC input is -0.3 V. During transitions, the inputs may undershoot to -2.0 V or overshoot to 7.0 V for periods shorter than 20 ns under no-load conditions.
- (3) Numbers in parentheses are for industrial-temperature-range devices.
- (4) V_{CC} must rise monotonically.
- (5) 3.3 -V I/O operation is not available for 44 -pin packages.
- (6) The V_{CCISP} parameter applies only to MAX 7000S devices.
- (7) These values are specified under the “**MAX 7000 5.0 V Device Recommended Operating Conditions**” on page 21.
- (8) The I_{OH} parameter refers to high-level TTL or CMOS output current.
- (9) The I_{OL} parameter refers to low-level TTL or CMOS output current.
- (10) When the JTAG interface is enabled in MAX 7000S devices, the input leakage current on the JTAG pins is typically -60 μ A.
- (11) Capacitance is measured at 25° C and is sample-tested only. The $OE1$ pin has a maximum capacitance of 20 pF.

Figure 11 shows the typical output drive characteristics of MAX 7000 devices.

Figure 11. Output Drive Characteristics of 5.0-V MAX 7000 Devices



3.3-V EPM7032V Devices

EPM7032V devices are high-performance MAX 7000 devices that meet the low power and low voltage requirements of 3.3 -V applications ranging from notebook computers to battery-operated, hand-held equipment. EPM7032V devices provide in-system speeds of up to 90.9 MHz and propagation delays of 12 ns. The devices are available in 44 -pin reprogrammable PLCC or TQFP packages and can accommodate designs with up to 36 inputs and 32 outputs.

Power Management

The 3.3-V operation of EPM7032V devices offer power savings of 30% to 50% over the 5.0-V operation of EPM7032 devices. Power-saving features of EPM7032V devices include a power-down mode and a programmable speed/power control as specified for non-3.3-V MAX 7000 devices.

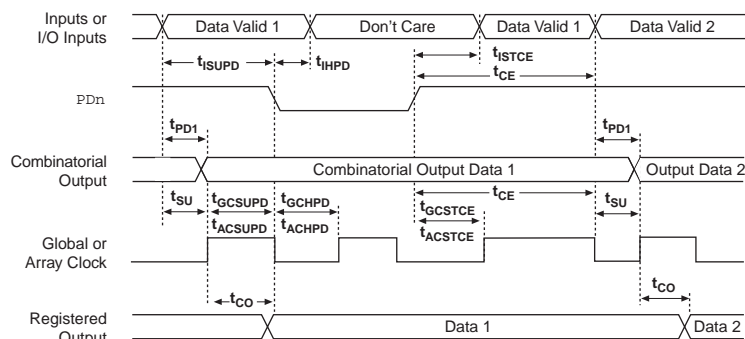
Power-Down Mode

EPM7032V devices provide a unique power-down mode that allows the device to consume near-zero power (typically 50 μ A). The power-down mode is controlled externally by the dedicated power-down pin (PD_n). When PD_n is asserted (active low), the power-down sequence latches all input pins, internal logic, and output pins of the EPM7032V device, preserving their present state. Output pins maintain their present low, high, or tri-state value while in power-down mode.

Once in power-down mode, any or all of the inputs, including clocks, can be toggled without affecting the state of the device. Because internal latches are used to ensure that the proper state exists during power-down mode, the external inputs and clocks must meet certain setup and hold time requirements. See [Figure 12](#) and the “Power-Down Timing Parameters” and “Chip-Enable Timing Parameters” tables on [page 40](#) of this data sheet.

Figure 12. Power-Down Mode Switching Waveforms

The switching waveforms for EPM7032V devices are identical to those of 5.0-V EPM7032 devices in all modes, except for the additional power-down mode shown here. t_R and $t_F < 3$ ns. Inputs are driven at 3.0 V for a logic high and 0.0 V for a logic low. All timing characteristics are measured at 1.5 V.



When the PDn signal is deasserted, the device is enabled and the combinatorial outputs respond to the present input conditions within the specified chip enable delay (t_{CE}). Registered outputs respond to clock transitions within t_{CE} . Clocking the device during the chip enable sequence can cause the data to change inside the chip if a clock transition occurs during certain intervals of the chip enable or chip disable sequences. All clocks should be gated to prevent clock transitions during the clock setup time (t_{GCSUPD} or t_{ACSUPD}) and during the chip enable setup time (t_{GCSTCE} or t_{ACSTCE}), as shown in [Figure 12](#).

All registers in EPM7032V devices provide clock enable control, which makes it easy to disable clocks. If output signals must be frozen in a high-impedance state during power-down, the associated output enable signal must be asserted, the system clock must be removed, and the PDn pin must be asserted. To reactivate the device, the sequence is reversed. For some systems, it may be more appropriate to switch the order of the clock and output enable controls.

All power-down/chip-enable timing parameters are computed from external input or I/O pins, with the macrocell Turbo Bit option turned on, and without the use of parallel expanders. For macrocells in low-power mode (Turbo Bit off), the low-power adder, t_{LPA} , must be added to the power-down/chip enable timing parameters, which include the data paths t_{LAD} , t_{LAC} , t_{IC} , t_{ACL} , t_{ACH} , and t_{SEXP} . For macrocells that use shared or parallel expanders, t_{SEXP} or t_{PEXP} must be added. For data or clock paths that use more than one logic array delay, the worst-case data or clock delay must be added to the respective power-down/chip-enable parameters. Actual worst-case timing of data and clock paths can be calculated with the MAX+PLUS II Simulator or Timing Analyzer, or with other industry-standard EDA verification tools.

EPM7032V 3.3-V Device Absolute Maximum Ratings *Note (1)*

Symbol	Parameter	Conditions	Min	Max	Unit
V_{CC}	Supply voltage	With respect to ground, Note (2)	-2.0	5.6	V
V_I	DC input voltage		-2.0	5.6	V
I_{OUT}	DC output current per pin		-25	25	mA
T_{STG}	Storage temperature	No bias	-65	150	°C
T_{AMB}	Ambient temperature	Under bias	-65	135	°C
T_J	Junction temperature	Under bias	0	135	°C

EPM7032V 3.3-V Device Recommended Operating Conditions

Symbol	Parameter	Conditions	Min	Max	Unit
V _{CC}	Supply voltage	<i>Note (3)</i>	3.0	3.6	V
V _I	Input voltage		0	V _{CC}	V
V _O	Output voltage		0	V _{CC}	V
T _A	Operating temperature	For commercial use	0	70	°C
		For industrial use	-40	85	°C
T _J	Junction temperature	For commercial use	0	90	°C
		For industrial use	-40	105	°C
t _R	Input rise time			40	ns
t _F	Input fall time			40	ns

EPM7032V 3.3-V Device DC Operating Conditions Notes (4), (5)

Symbol	Parameter	Conditions	Min	Typ	Max	Unit
V _{IH}	High-level input voltage		2.0		V _{CC} + 0.3	V
V _{IL}	Low-level input voltage		-0.3		0.8	V
V _{OH}	High-level TTL output voltage	I _{OH} = -0.1 mA DC, <i>Note (6)</i>	V _{CC} - 0.2			V
V _{OL}	Low-level output voltage	I _{OL} = 4 mA DC, <i>Note (7)</i>			0.45	V
I _I	Input leakage current	V _I = V _{CC} or ground	-10		10	µA
I _{OZ}	Tri-state output off-state current	V _O = V _{CC} or ground	-10		10	µA
I _{CC0}	V _{CC} supply current (standby, power-down mode)	<i>Note (8)</i>		2	150	µA
I _{CC1}	V _{CC} supply current (standby, low-power mode)	V _I = ground, no load, <i>Note (8)</i>		10	20	mA
I _{CC2}	V _{CC} supply current (active, low-power mode)	V _I = ground, no load, f = 1.0 MHz, <i>Note (8)</i>		15	25	mA

EPM7032V 3.3-V Device Capacitance Note (9)

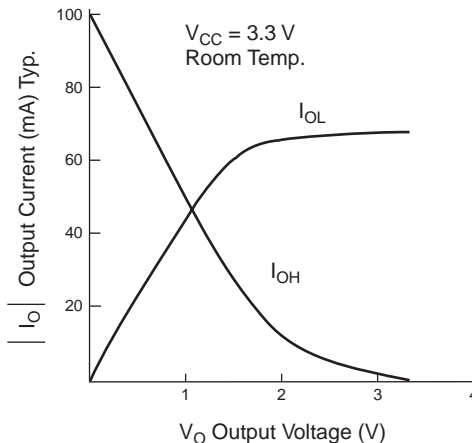
Symbol	Parameter	Conditions	Min	Max	Unit
C _{IN}	Dedicated input capacitance	V _{IN} = 0 V, f = 1.0 MHz		12	pF
C _{I/O}	I/O pin capacitance	V _{OUT} = 0 V, f = 1.0 MHz		12	pF

Notes to tables:

- (1) See the *Operating Requirements for Altera Devices Data Sheet* in the **1998 Data Book**.
- (2) Minimum DC input is -0.3 V. During transitions, the inputs may undershoot to -2.0 V or overshoot to V_{CC} + 2.0 V for periods shorter than 20 ns under no-load conditions.
- (3) V_{CC} must rise monotonically.
- (4) Typical values are for T_A = 25°C and V_{CC} = 3.3 V.
- (5) These values are specified under the “**MAX 7000 5.0 V Device Recommended Operating Conditions**” on page 21.
- (6) The I_{OH} parameter refers to high-level TTL output current.
- (7) The I_{OL} parameter refers to low-level TTL output current.
- (8) Measured with a 16-bit loadable, enabled, up/down counter programmed into each LAB. I_{CC} is measured at 0°C.
- (9) Capacitance is measured at 25°C and is sample-tested only. The OE1 pin (high-voltage pin during programming) has a maximum capacitance of 20 pF.

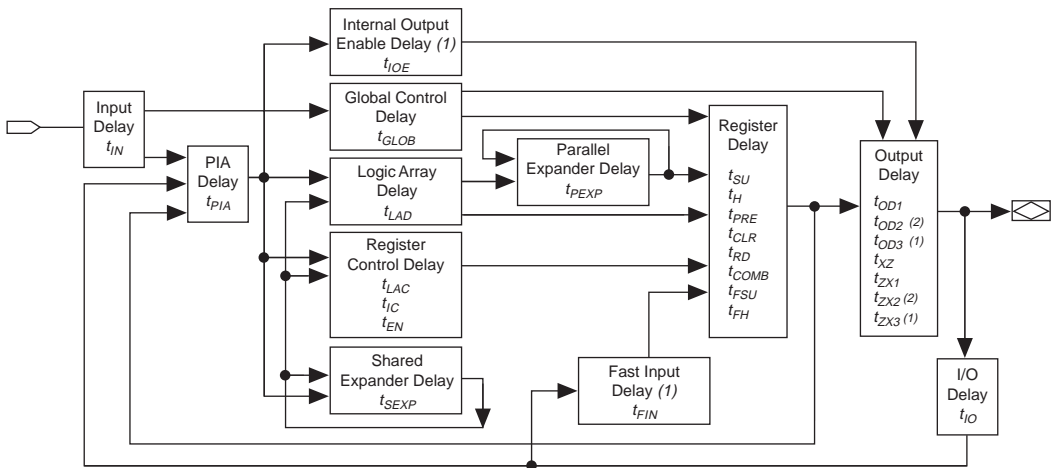
Figure 13 shows the typical output drive characteristics of EPM7032V devices.

Figure 13. EPM7032V Output Drive Characteristics



Timing Model

MAX 7000 device timing can be analyzed with the MAX+PLUS II software, with a variety of popular industry-standard EDA simulators and timing analyzers, or with the timing model shown in Figure 14. MAX 7000 devices have fixed internal delays that enable the designer to determine the worst-case timing of any design. The MAX+PLUS II software provides timing simulation, point-to-point delay prediction, and detailed timing analysis for device-wide performance evaluation.

Figure 14. MAX 7000 Timing Model**Notes:**

- (1) Only available in MAX 7000E and MAX 7000S devices.
- (2) Not available in 44-pin devices.

The timing characteristics of any signal path can be derived from the timing model and parameters of a particular device. External timing parameters, which represent pin-to-pin timing delays, can be calculated as the sum of internal parameters.

Figure 15 shows the internal timing relationship of internal and external delay parameters.

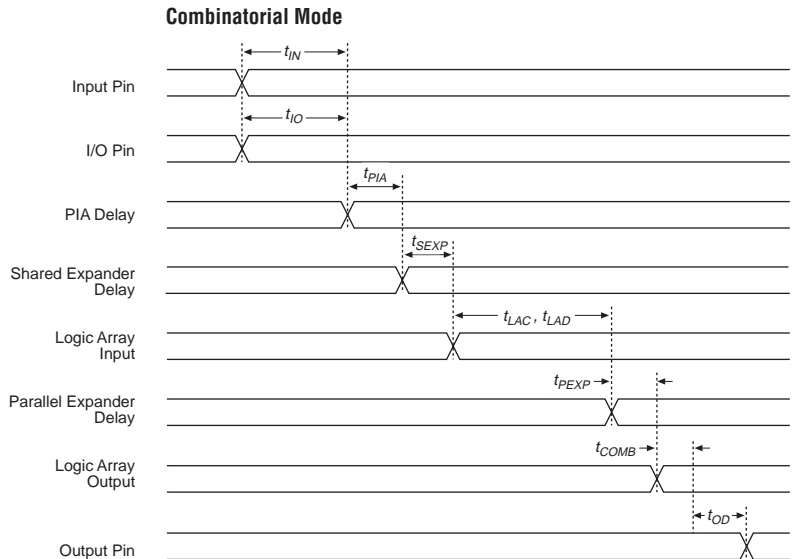


See [Application Note 94 \(Understanding MAX 7000 Timing\)](#) in this handbook for more information.

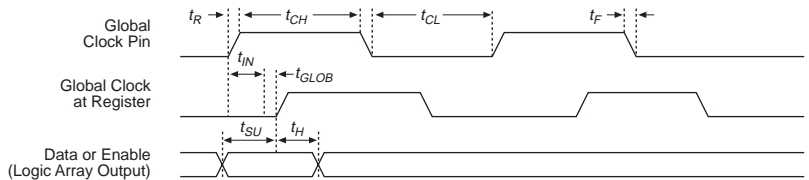
Figure 15. Switching Waveforms

t_R & $t_F < 3$ ns.

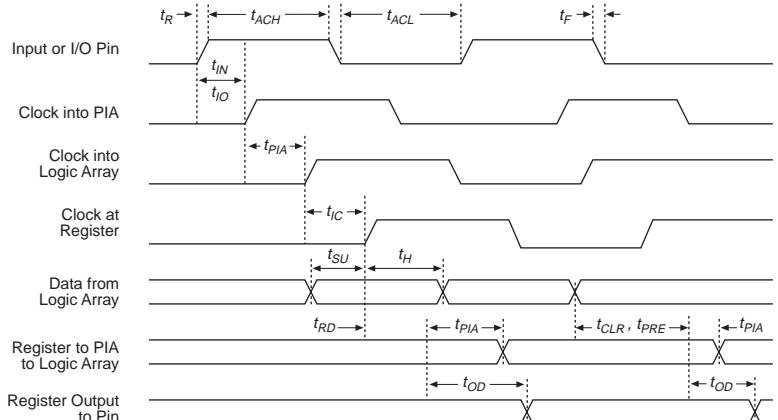
Inputs are driven at 3 V for a logic high and 0 V for a logic low. All timing characteristics are measured at 1.5 V.



Global Clock Mode



Array Clock Mode



MAX 7000 AC Operating Conditions Notes (1), (2)

External Timing Parameters			Speed Grade						
			-5		-6		-7		
Symbol	Parameter	Conditions	Min	Max	Min	Max	Min	Max	Unit
t_{PD1}	Input to non-registered output	C1 = 35 pF		5		6		7.5	ns
t_{PD2}	I/O input to non-registered output	C1 = 35 pF		5		6		7.5	ns
t_{SU}	Global clock setup time		4		5		6		ns
t_H	Global clock hold time		0		0		0		ns
t_{FSU}	Global clock setup time of fast input	Note (3)	2.5		2.5		3		ns
t_{FH}	Global clock hold time of fast input	Note (3)	0.5		0.5		0.5		ns
t_{CO1}	Global clock to output delay	C1 = 35 pF		3.5		4		4.5	ns
t_{CH}	Global clock high time		2		2.5		3		ns
t_{CL}	Global clock low time		2		2.5		3		ns
t_{ASU}	Array clock setup time		2		2.5		3		ns
t_{AH}	Array clock hold time		2		2		2		ns
t_{ACO1}	Array clock to output delay	C1 = 35 pF		5.5		6.5		7.5	ns
t_{ACH}	Array clock high time		2.5		3		3		ns
t_{ACL}	Array clock low time		2.5		3		3		ns
t_{ODH}	Output data hold time after clock	C1 = 35 pF, Note (4)	1		1		1		ns
t_{CNT}	Minimum global clock period			5.6		6.6		8	ns
f_{CNT}	Maximum internal global clock frequency	Note (5)	178.6		151.5		125		MHz
t_{ACNT}	Minimum array clock period			5.6		6.6		8	ns
f_{ACNT}	Maximum internal array clock frequency	Note (5)	178.6		151.5		125		MHz
f_{MAX}	Maximum clock frequency	Note (6)	250		200		166.7		MHz

Internal Timing Parameters			Speed Grade						
			-5		-6		-7		
Symbol	Parameter	Conditions	Min	Max	Min	Max	Min	Max	Unit
t_{IN}	Input pad and buffer delay			0.4		0.4		0.5	ns
t_{IO}	I/O input pad and buffer delay			0.4		0.4		0.5	ns
t_{FIN}	Fast input delay	<i>Note (3)</i>		0.8		0.8		1	ns
t_{SEXP}	Shared expander delay			3		3.5		4	ns
t_{PEXP}	Parallel expander delay			0.8		0.8		0.8	ns
t_{LAD}	Logic array delay			1.5		2		3	ns
t_{LAC}	Logic control array delay			1.5		2		3	ns
t_{IOE}	Internal output enable delay	<i>Note (3)</i>						2	ns
t_{OD1}	Output buffer and pad delay Slow slew rate = off, $V_{CCIO} = 5.0\text{ V}$	$C1 = 35\text{ pF}$		1.5		2		2	ns
t_{OD2}	Output buffer and pad delay Slow slew rate = off, $V_{CCIO} = 3.3\text{ V}$	$C1 = 35\text{ pF}$, <i>Note (7)</i>		2.0		2.5		2.5	ns
t_{OD3}	Output buffer and pad delay Slow slew rate = on, $V_{CCIO} = 5.0\text{ V}$ or 3.3 V	$C1 = 35\text{ pF}$, <i>Note (3)</i>		6.5		7		7	ns
t_{ZX1}	Output buffer enable delay Slow slew rate = off, $V_{CCIO} = 5.0\text{ V}$	$C1 = 35\text{ pF}$		4		4		4	ns
t_{ZX2}	Output buffer enable delay Slow slew rate = off, $V_{CCIO} = 3.3\text{ V}$	$C1 = 35\text{ pF}$, <i>Note (7)</i>		4.5		4.5		4.5	ns
t_{ZX3}	Output buffer enable delay Slow slew rate = on $V_{CCIO} = 5.0\text{ V}$ or 3.3 V	$C1 = 35\text{ pF}$, <i>Note (3)</i>		9		9		9	ns
t_{XZ}	Output buffer disable delay	$C1 = 5\text{ pF}$		4		4		4	ns
t_{SU}	Register setup time		2.5		3		3		ns
t_H	Register hold time		1.5		1.5		2		ns
t_{FSU}	Register setup time of fast input	<i>Note (3)</i>	2.5		2.5		3		ns
t_{FH}	Register hold time of fast input	<i>Note (3)</i>	0.5		0.5		0.5		ns
t_{RD}	Register delay			0.8		0.8		1	ns
t_{COMB}	Combinatorial delay			0.8		0.8		1	ns
t_{IC}	Array clock delay			2		2.5		3	ns
t_{EN}	Register enable time			1.5		2		3	ns
t_{GLOB}	Global control delay			0.8		0.8		1	ns
t_{PRE}	Register preset time			2		2		2	ns
t_{CLR}	Register clear time			2		2		2	ns
t_{PIA}	PIA delay			0.8		0.8		1	ns
t_{LPA}	Low-power adder	<i>Note (8)</i>		8		10		10	ns

External Timing Parameters			Speed Grade				
			MAX 7000E (-10P)	MAX 7000 (-10)	MAX 7000S (-10)	MAX 7000E (-10)	
Symbol	Parameter	Conditions	Min	Max	Min	Max	Unit
t_{PD1}	Input to non-registered output	C1 = 35 pF		10		10	ns
t_{PD2}	I/O input to non-registered output	C1 = 35 pF		10		10	ns
t_{SU}	Global clock setup time		7		8		ns
t_H	Global clock hold time		0		0		ns
t_{FSU}	Global clock setup time of fast input	<i>Note (3)</i>	3		3		ns
t_{FH}	Global clock hold time of fast input	<i>Note (3)</i>	0.5		0.5		ns
t_{CO1}	Global clock to output delay	C1 = 35 pF		5		5	ns
t_{CH}	Global clock high time		4		4		ns
t_{CL}	Global clock low time		4		4		ns
t_{ASU}	Array clock setup time		2		3		ns
t_{AH}	Array clock hold time		3		3		ns
t_{ACO1}	Array clock to output delay	C1 = 35 pF		10		10	ns
t_{ACH}	Array clock high time		4		4		ns
t_{ACL}	Array clock low time		4		4		ns
t_{ODH}	Output data hold time after clock	C1 = 35 pF, <i>Note (4)</i>	1		1		ns
t_{CNT}	Minimum global clock period			10		10	ns
f_{CNT}	Maximum internal global clock frequency	<i>Note (5)</i>	100		100		MHz
t_{ACNT}	Minimum array clock period			10		10	ns
f_{ACNT}	Maximum internal array clock frequency	<i>Note (5)</i>	100		100		MHz
f_{MAX}	Maximum clock frequency	<i>Note (6)</i>	125		125		MHz

Internal Timing Parameters			Speed Grade				
			MAX 7000E (-10P)	MAX 7000 (-10)	MAX 7000S (-10)	MAX 7000E (-10)	
Symbol	Parameter	Conditions	Min	Max	Min	Max	Unit
t_{IN}	Input pad and buffer delay			0.5		1	ns
t_{IO}	I/O input pad and buffer delay			0.5		1	ns
t_{FIN}	Fast input delay	<i>Note (3)</i>		1		1	ns
t_{SEXP}	Shared expander delay			5		5	ns
t_{PEXP}	Parallel expander delay			0.8		0.8	ns
t_{LAD}	Logic array delay			5		5	ns
t_{LAC}	Logic control array delay			5		5	ns
t_{IOE}	Internal output enable delay	<i>Note (3)</i>		2		2	ns
t_{OD1}	Output buffer and pad delay Slow slew rate = off $V_{CCIO} = 5.0\text{ V}$	$C_1 = 35\text{ pF}$		1.5		2	ns
t_{OD2}	Output buffer and pad delay Slow slew rate = off $V_{CCIO} = 3.3\text{ V}$	$C_1 = 35\text{ pF}$, <i>Note (7)</i>		2		2.5	ns
t_{OD3}	Output buffer and pad delay Slow slew rate = on $V_{CCIO} = 5.0\text{ V}$ or 3.3 V	$C_1 = 35\text{ pF}$, <i>Note (3)</i>		5.5		6	ns
t_{ZX1}	Output buffer enable delay Slow slew rate = off $V_{CCIO} = 5.0\text{ V}$	$C_1 = 35\text{ pF}$		5		5	ns
t_{ZX2}	Output buffer enable delay Slow slew rate = off $V_{CCIO} = 3.3\text{ V}$	$C_1 = 35\text{ pF}$, <i>Note (7)</i>		5.5		5.5	ns
t_{ZX3}	Output buffer enable delay Slow slew rate = on $V_{CCIO} = 5.0\text{ V}$ or 3.3 V	$C_1 = 35\text{ pF}$, <i>Note (3)</i>		9		9	ns
t_{XZ}	Output buffer disable delay	$C_1 = 5\text{ pF}$		5		5	ns
t_{SU}	Register setup time		2		3		ns
t_H	Register hold time		3		3		ns
t_{FSU}	Register setup time of fast input	<i>Note (3)</i>	3		3		ns
t_{FH}	Register hold time of fast input	<i>Note (3)</i>	0.5		0.5		ns
t_{RD}	Register delay			2		1	ns
t_{COMB}	Combinatorial delay			2		1	ns
t_{IC}	Array clock delay			5		5	ns
t_{EN}	Register enable time			5		5	ns
t_{GLOB}	Global control delay			1		1	ns
t_{PRE}	Register preset time			3		3	ns
t_{CLR}	Register clear time			3		3	ns
t_{PIA}	PIA delay			1		1	ns
t_{LPA}	Low-power adder	<i>Note (8)</i>		11		11	ns

External Timing Parameters			Speed Grade				
			MAX 7000E (-12P)	MAX 7000 (-12)	MAX 7000E (-12)		
Symbol	Parameter	Conditions	Min	Max	Min	Max	Unit
t_{PD1}	Input to non-registered output	C1 = 35 pF		12		12	ns
t_{PD2}	I/O input to non-registered output	C1 = 35 pF		12		12	ns
t_{SU}	Global clock setup time		7		10		ns
t_H	Global clock hold time		0		0		ns
t_{FSU}	Global clock setup time of fast input	<i>Note (3)</i>	3		3		ns
t_{FH}	Global clock hold time of fast input	<i>Note (3)</i>	0		0		ns
t_{CO1}	Global clock to output delay	C1 = 35 pF		6		6	ns
t_{CH}	Global clock high time		4		4		ns
t_{CL}	Global clock low time		4		4		ns
t_{ASU}	Array clock setup time		3		4		ns
t_{AH}	Array clock hold time		4		4		ns
t_{ACO1}	Array clock to output delay	C1 = 35 pF		12		12	ns
t_{ACH}	Array clock high time		5		5		ns
t_{ACL}	Array clock low time		5		5		ns
t_{ODH}	Output data hold time after clock	C1 = 35 pF, <i>Note (4)</i>	1		1		ns
t_{CNT}	Minimum global clock period			11		11	ns
f_{CNT}	Maximum internal global clock frequency	<i>Note (8)</i>	90.9		90.9		MHz
t_{ACNT}	Minimum array clock period			11		11	ns
f_{ACNT}	Maximum internal array clock frequency	<i>Note (8)</i>	90.9		90.9		MHz
f_{MAX}	Maximum clock frequency	<i>Note (6)</i>	125		125		MHz

Internal Timing Parameters			Speed Grade				
			MAX 7000E (-12P)		MAX 7000 (-12) MAX 7000E (-12)		
Symbol	Parameter	Conditions	Min	Max	Min	Max	Unit
t_{IN}	Input pad and buffer delay			1		2	ns
t_{IO}	I/O input pad and buffer delay			1		2	ns
t_{FIN}	Fast input delay	<i>Note (3)</i>		1		1	ns
t_{SEXP}	Shared expander delay			7		7	ns
t_{PEXP}	Parallel expander delay			1		1	ns
t_{LAD}	Logic array delay			7		5	ns
t_{LAC}	Logic control array delay			5		5	ns
t_{IOE}	Internal output enable delay	<i>Note (3)</i>		2		2	ns
t_{OD1}	Output buffer and pad delay Slow slew rate = off $V_{CCIO} = 5.0\text{ V}$	$C_1 = 35\text{ pF}$		1		3	ns
t_{OD2}	Output buffer and pad delay Slow slew rate = off $V_{CCIO} = 3.3\text{ V}$	$C_1 = 35\text{ pF}$, <i>Note (7)</i>		2		4	ns
t_{OD3}	Output buffer and pad delay Slow slew rate = on $V_{CCIO} = 5.0\text{ V}$ or 3.3 V	$C_1 = 35\text{ pF}$, <i>Note (3)</i>		5		7	ns
t_{ZX1}	Output buffer enable delay Slow slew rate = off $V_{CCIO} = 5.0\text{ V}$	$C_1 = 35\text{ pF}$		6		6	ns
t_{ZX2}	Output buffer enable delay Slow slew rate = off $V_{CCIO} = 3.3\text{ V}$	$C_1 = 35\text{ pF}$, <i>Note (7)</i>		7		7	ns
t_{ZX3}	Output buffer enable delay Slow slew rate = on $V_{CCIO} = 5.0\text{ V}$ or 3.3 V	$C_1 = 35\text{ pF}$, <i>Note (3)</i>		10		10	ns
t_{XZ}	Output buffer disable delay	$C_1 = 5\text{ pF}$		6		6	ns
t_{SU}	Register setup time		1		4		ns
t_H	Register hold time		6		4		ns
t_{FSU}	Register setup time of fast input	<i>Note (3)</i>	4		2		ns
t_{FH}	Register hold time of fast input	<i>Note (3)</i>	0		2		ns
t_{RD}	Register delay			2		1	ns
t_{COMB}	Combinatorial delay			2		1	ns
t_{IC}	Array clock delay			5		5	ns
t_{EN}	Register enable time			7		5	ns
t_{GLOB}	Global control delay			2		0	ns
t_{PRE}	Register preset time			4		3	ns
t_{CLR}	Register clear time			4		3	ns
t_{PIA}	PIA delay			1		1	ns
t_{LPA}	Low-power adder	<i>Note (8)</i>		12		12	ns

External Timing Parameters			Speed Grade						
			-15		-15T		-20		
Symbol	Parameter	Conditions	Min	Max	Min	Max	Min	Max	Unit
t_{PD1}	Input to non-registered output	$C_1 = 35 \text{ pF}$		15		15		20	ns
t_{PD2}	I/O input to non-registered output	$C_1 = 35 \text{ pF}$		15		15		20	ns
t_{SU}	Global clock setup time		11		11		12		ns
t_H	Global clock hold time		0		0		0		ns
t_{FSU}	Global clock setup time of fast input	<i>Note (3)</i>	3		—		5		ns
t_{FH}	Global clock hold time of fast input	<i>Note (3)</i>	0		—		0		ns
t_{CO1}	Global clock to output delay	$C_1 = 35 \text{ pF}$		8		8		12	ns
t_{CH}	Global clock high time		5		6		6		ns
t_{CL}	Global clock low time		5		6		6		ns
t_{ASU}	Array clock setup time		4		4		5		ns
t_{AH}	Array clock hold time		4		4		5		ns
t_{ACO1}	Array clock to output delay	$C_1 = 35 \text{ pF}$		15		15		20	ns
t_{ACH}	Array clock high time		6		6.5		8		ns
t_{ACL}	Array clock low time		6		6.5		8		ns
t_{ODH}	Output data hold time after clock	$C_1 = 35 \text{ pF}$, <i>Note (4)</i>	1		1		1		ns
t_{CNT}	Minimum global clock period			13		13		16	ns
f_{CNT}	Maximum internal global clock frequency	<i>Note (5)</i>	76.9		76.9		62.5		MHz
t_{ACNT}	Minimum array clock period			13		13		16	ns
f_{ACNT}	Maximum internal array clock frequency	<i>Note (5)</i>	76.9		76.9		62.5		MHz
f_{MAX}	Maximum clock frequency	<i>Note (6)</i>	100		83.3		83.3		MHz

Internal Timing Parameters			Speed Grade						
			-15		-15T		-20		
Symbol	Parameter	Conditions	Min	Max	Min	Max	Min	Max	Unit
t_{IN}	Input pad and buffer delay			2		2		3	ns
t_{IO}	I/O input pad and buffer delay			2		2		3	ns
t_{FIN}	Fast input delay	Note (3)		2		—		4	ns
t_{SEXP}	Shared expander delay			8		10		9	ns
t_{PEXP}	Parallel expander delay			1		1		2	ns
t_{LAD}	Logic array delay			6		6		8	ns
t_{LAC}	Logic control array delay			6		6		8	ns
t_{IOE}	Internal output enable delay	Note (3)		3		—		4	ns
t_{OD1}	Output buffer and pad delay Slow slew rate = off $V_{CCIO} = 5.0\text{ V}$	C1 = 35 pF		4		4		5	ns
t_{OD2}	Output buffer and pad delay Slow slew rate = off $V_{CCIO} = 3.3\text{ V}$	C1 = 35 pF, Note (7)		5		—		6	ns
t_{OD3}	Output buffer and pad delay Slow slew rate = on $V_{CCIO} = 5.0\text{ V or }3.3\text{ V}$	C1 = 35 pF, Notes (3), (7)		8		—		9	ns
t_{ZX1}	Output buffer enable delay Slow slew rate = off $V_{CCIO} = 5.0\text{ V}$	C1 = 35 pF		6		6		10	ns
t_{ZX2}	Output buffer enable delay Slow slew rate = off $V_{CCIO} = 3.3\text{ V}$	C1 = 35 pF, Note (7)		7		—		11	ns
t_{ZX3}	Output buffer enable delay Slow slew rate = on $V_{CCIO} = 5.0\text{ V or }3.3\text{ V}$	C1 = 35 pF, Notes (3), (7)		10		—		14	ns
t_{XZ}	Output buffer disable delay	C1 = 5 pF		6		6		10	ns
t_{SU}	Register setup time		4		4		4		ns
t_H	Register hold time		4		4		5		ns
t_{FSU}	Register setup time of fast input	Note (3)	2		—		4		ns
t_{FH}	Register hold time of fast input	Note (3)	2		—		3		ns
t_{RD}	Register delay		1		1		1		ns
t_{COMB}	Combinatorial delay		1		1		1		ns
t_{IC}	Array clock delay		6		6		8		ns
t_{EN}	Register enable time		6		6		8		ns
t_{GLOB}	Global control delay		1		1		3		ns
t_{PRE}	Register preset time		4		4		4		ns
t_{CLR}	Register clear time		4		4		4		ns
t_{PIA}	PIA delay		2		2		3		ns
t_{LPA}	Low-power adder	Note (8)	13		15		15		ns

Notes to tables:

- (1) These values are specified under the “MAX 7000 5.0 V Device Recommended Operating Conditions” on page 21.
- (2) Timing parameters for some devices are preliminary. See Table 2 on page 3 of this data sheet for preliminary speed grades and Table 4 on page 5 for preliminary packages.
- (3) This parameter applies only to MAX 7000E and MAX 7000S devices.
- (4) This parameter is a guideline that is sample-tested only and is based on extensive device characterization. This parameter applies for both global and array clocking.
- (5) Measured with a 16-bit loadable, enabled, up/down counter programmed into each LAB.
- (6) The f_{MAX} values represent the highest frequency for pipelined data.
- (7) Operating conditions: $V_{CCIO} = 3.3\text{ V} \pm 10\%$ for commercial and industrial use.
- (8) The t_{LPA} parameter must be added to the t_{LAD} , t_{LAC} , t_{IC} , t_{ACL} , t_{EN} , and t_{SEXP} parameters for macrocells running in the low-power mode.

EPM7032V AC Operating Conditions Note (1)

External Timing Parameters			EPM7032V-12		EPM7032V-15		EPM7032V-20		
Symbol	Parameter	Conditions	Min	Max	Min	Max	Min	Max	Unit
t_{PD1}	Input to non-registered output	C1 = 35 pF		12		15		20	ns
t_{PD2}	I/O input to non-registered output	C1 = 35 pF		12		15		20	ns
t_{SU}	Global clock setup time		10		11		12		ns
t_H	Global clock hold time		0		0		0		ns
t_{CO1}	Global clock to output delay	C1 = 35 pF		7		8		12	ns
t_{CH}	Global clock high time		4		5		6		ns
t_{CL}	Global clock low time		4		5		6		ns
t_{ASU}	Array clock setup time		4		4		5		ns
t_{AH}	Array clock hold time		4		4		5		ns
t_{ACO1}	Array clock to output delay	C1 = 35 pF		12		15		20	ns
t_{ACH}	Array clock high time		5		6		8		ns
t_{ACL}	Array clock low time		5		6		8		ns
t_{ODH}	Output data hold time after clock	C1 = 35 pF, Note (2)	1		1		1		ns
t_{CNT}	Minimum global clock period			11		13		16	ns
f_{CNT}	Maximum internal global clock frequency	Note (3)	90.9		76.9		62.5		MHz
t_{ACNT}	Minimum array clock period			11		13		16	ns
f_{ACNT}	Maximum internal array clock frequency	Note (3)	90.9		76.9		62.5		MHz
f_{MAX}	Maximum clock frequency	Note (4)	125		100		83.3		MHz

EPM7032V AC Operating Conditions *Note (1)*

Internal Timing Parameters			EPM7032V-12		EPM7032V-15		EPM7032V-20		
Symbol	Parameter	Conditions	Min	Max	Min	Max	Min	Max	Unit
t_{IN}	Input pad and buffer delay			3		2		3	ns
t_{IO}	I/O input pad and buffer delay			3		2		3	ns
t_{SEXP}	Shared expander delay			7		8		9	ns
t_{PEXP}	Parallel expander delay			1		1		2	ns
t_{LAD}	Logic array delay			4		6		8	ns
t_{LAC}	Logic control array delay			4		6		8	ns
t_{OD}	Output buffer and pad delay	C1 = 35 pF		3		4		5	ns
t_{ZX}	Output buffer enable delay	C1 = 35 pF		6		6		9	ns
t_{XZ}	Output buffer disable delay	C1 = 5 pF		6		6		9	ns
t_{SU}	Register setup time		5		4		4		ns
t_H	Register hold time		4		4		5		ns
t_{RD}	Register delay			1		1		1	ns
t_{COMB}	Combinatorial delay			1		1		1	ns
t_{IC}	Array clock delay			4		6		8	ns
t_{EN}	Register enable time			4		6		8	ns
t_{GLOB}	Global control delay			0		1		3	ns
t_{PRE}	Register preset time			3		4		4	ns
t_{CLR}	Register clear time			3		4		4	ns
t_{PIA}	PIA delay			1		2		3	ns
t_{LPA}	Low-power adder	<i>Note (5)</i>		15		17		20	ns

Notes to tables:

- (1) These values are specified under the “MAX 7000 3.3 V Device Recommended Operating Conditions” on page 26.
- (2) This parameter is a guideline that is sample-tested only and is based on extensive device characterization. This parameter applies for both global and array clocking.
- (3) Measured with a 16-bit loadable, enabled, up/down counter programmed into each LAB. I_{CC} is measured at 0° C.
- (4) The f_{MAX} values represent the highest frequency for pipelined data.
- (5) The t_{LPA} parameter must be added to the t_{LAD} , t_{LAC} , t_{IC} , t_{ACL} , t_{EN} , and t_{SEXP} parameters for macrocells running in low-power mode.

MAX 7000 3.3-V Device Power-Down/Chip-Enable Timing Parameters

Power-Down Timing Parameters		EPM7032V-12		EPM7032V-15		EPM7032V-20		
Symbol	Parameter	Min	Max	Min	Max	Min	Max	Unit
t_{ISUPD}	Input or I/O input setup time before power down	30		30		35		ns
t_{IHPD}	Input or I/O input hold time after power down	0		0		0		ns
t_{GCSUPD}	Global clock setup time before power down	20		20		25		ns
t_{GCHPD}	Global clock hold time after power down	0		0		0		ns
t_{ACSUPD}	Array clock setup time before power down	30		30		35		ns
t_{ACHPD}	Array clock hold time after power down	0		0		0		ns
t_{HPD}	Minimum high pulse width of power-down pin	800		800		900		ns
t_{LPD}	Minimum low pulse width of power-down pin	800		800		900		ns
t_{PDOWN}	Power down delay		800		800		900	ns

Chip-Enable Timing Parameters		EPM7032V-12		EPM7032V-15		EPM7032V-20		
Symbol	Parameter	Min	Max	Min	Max	Min	Max	Unit
t_{ISTCE}	Input or I/O input stable after chip enable		60		60		70	ns
t_{GCSTCE}	Global clock stable after chip enable		60		60		70	ns
t_{ACSTCE}	Array clock stable after chip enable		60		60		70	ns
t_{CE}	Data stable after chip enable		700		700		800	ns

Power Consumption

Supply power (P) versus frequency (f_{MAX} in MHz) for MAX 7000 devices is calculated with the following equation:

$$P = P_{INT} + P_{IO} = I_{CCINT} \times V_{CC} + P_{IO}$$

The P_{IO} value, which depends on the device output load characteristics and switching frequency, can be calculated using the guidelines given in *Application Note 74 (Evaluating Power for Altera Devices)* in the **1998 Data Book**.

The I_{CCINT} value depends on the switching frequency and the application logic. The I_{CCINT} value is calculated with the following equation:

$$I_{CCINT} =$$

$$A \times MC_{TON} + B \times (MC_{DEV} - MC_{TON}) + C \times MC_{USED} \times f_{MAX} \times tog_{LC}$$

The parameters in this equation are shown below:

- MC_{TON} = Number of macrocells with the Turbo Bit option turned on, as reported in the MAX+PLUS II Report File (.rpt)
- MC_{DEV} = Number of macrocells in the device
- MC_{USED} = Total number of macrocells in the design, as reported in the MAX+PLUS II Report File (.rpt)
- f_{MAX} = Highest clock frequency to the device
- t_{ogLC} = Average ratio of logic cells toggling at each clock (typically 0.125)
- A, B, C = Constants, shown in [Table 6](#)

Table 6. MAX 7000 I_{CC} Equation Constants

Device	A	B	C
EPM7032	1.87	0.52	0.144
EPM7032V	0.83	0.40	0.048
EPM7064	1.63	0.74	0.144
EPM7096	1.63	0.74	0.144
EPM7128E	1.17	0.54	0.096
EPM7160E	1.17	0.54	0.096
EPM7192E	1.17	0.54	0.096
EPM7256E	1.17	0.54	0.096
EPM7032S, Note (1)	0.93	0.40	0.040
EPM7064S, Note (1)	0.93	0.40	0.040
EPM7128S, Note (1)	0.93	0.40	0.040
EPM7160S, Note (1)	0.93	0.40	0.040
EPM7192S, Note (1)	0.93	0.40	0.040
EPM7256S, Note (1)	0.93	0.40	0.040

Note:

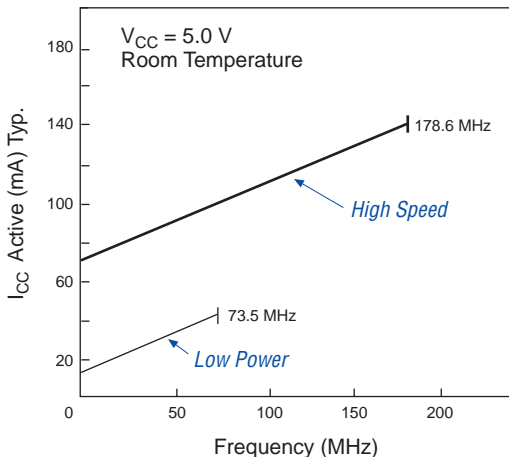
- (1) Values for these devices are preliminary.

This calculation provides an I_{CC} estimate based on typical conditions using a pattern of a 16-bit, loadable, enabled, up/down counter in each LAB with no output load. Actual I_{CC} values should be verified during operation because this measurement is sensitive to the actual pattern in the device and the environmental operating conditions.

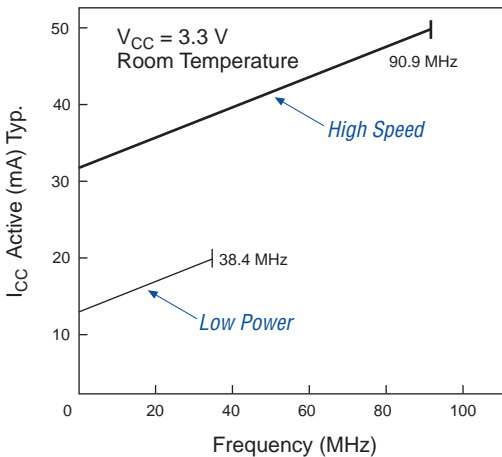
Figure 16 shows typical supply current versus frequency for MAX 7000 devices.

Figure 16. I_{CC} vs. Frequency for MAX 7000 Devices (Part 1 of 2)

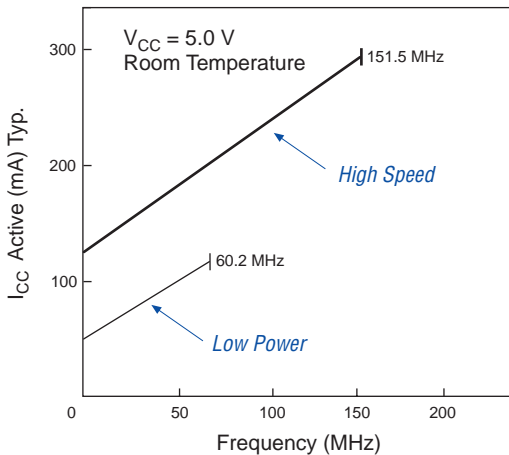
EPM7032



EPM7032V



EPM7064



EPM7096

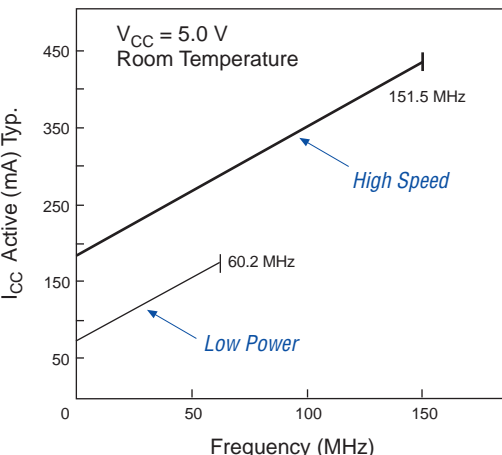


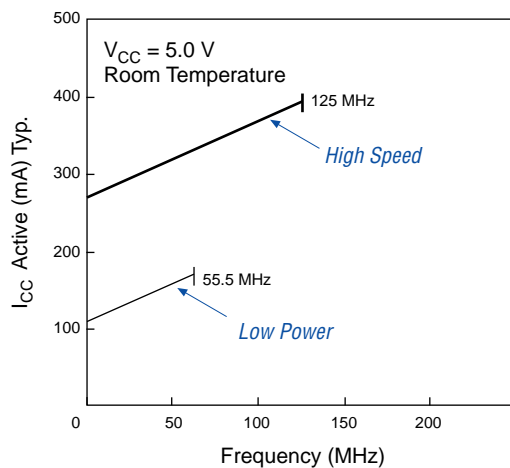
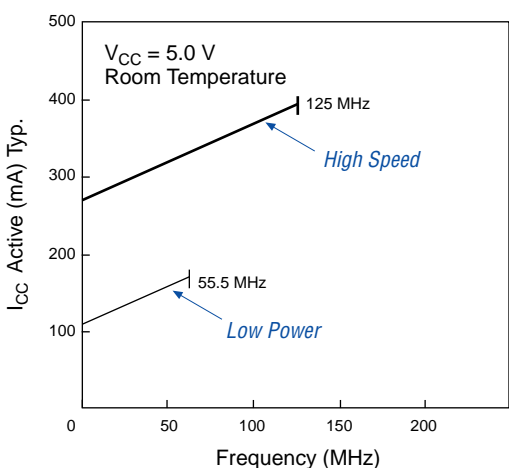
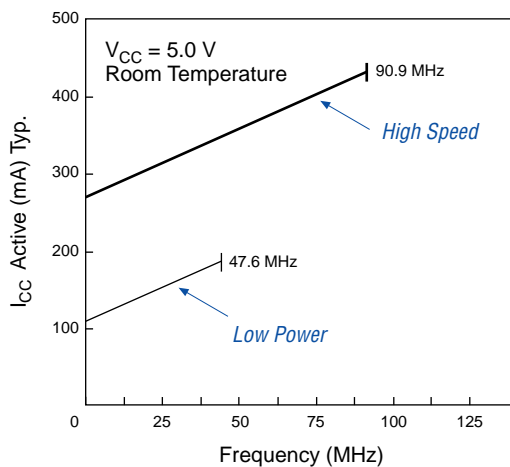
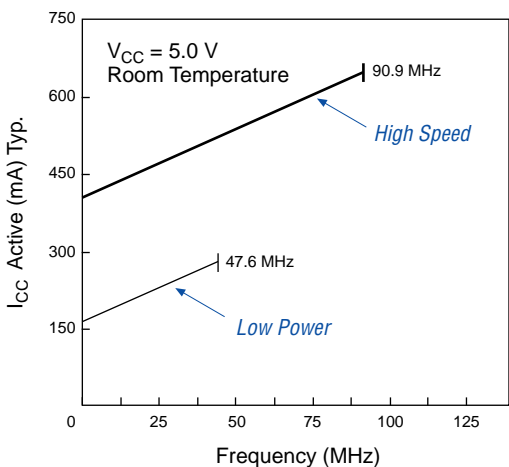
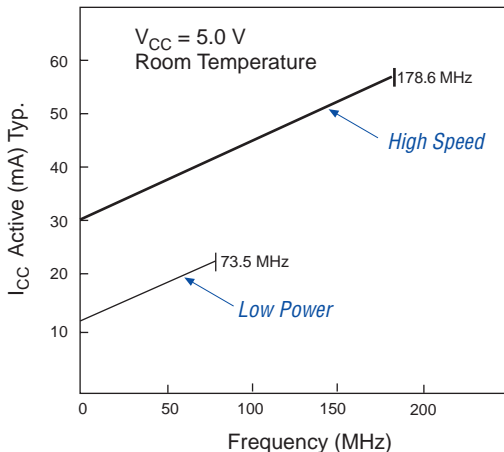
Figure 16. I_{CC} vs. Frequency for MAX 7000 Devices (Part 2 of 2)**EPM7128E****EPM7160E****EPM7192E****EPM7256E**

Figure 17 shows typical supply current versus frequency for MAX 7000S devices.

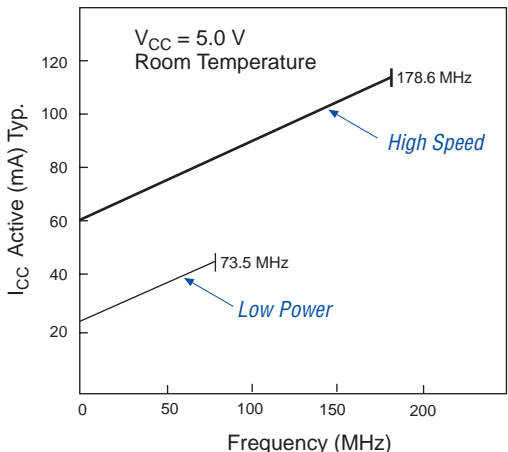
Figure 17. I_{CC} vs. Frequency for MAX 7000S Devices (Part 1 of 2)

Information on MAX 7000S devices is preliminary.

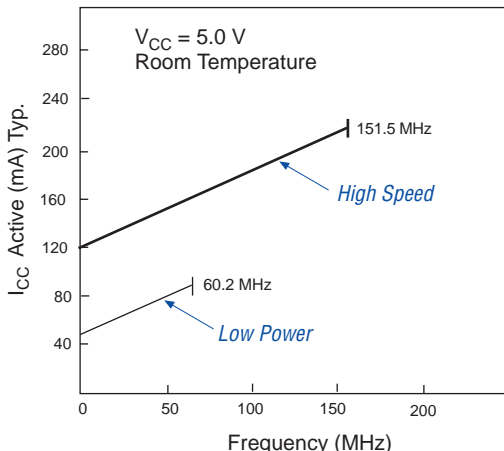
EPM7032S



EPM7064S



EPM7128S



EPM7160S

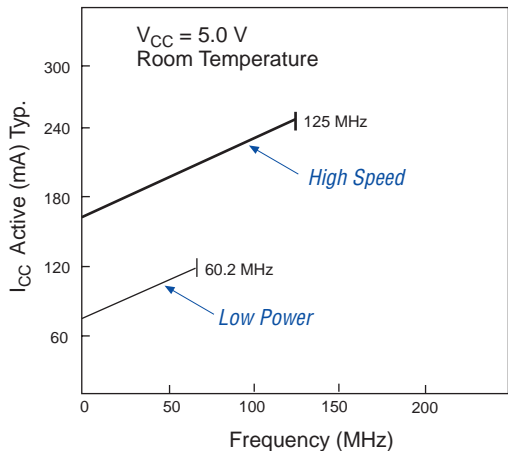
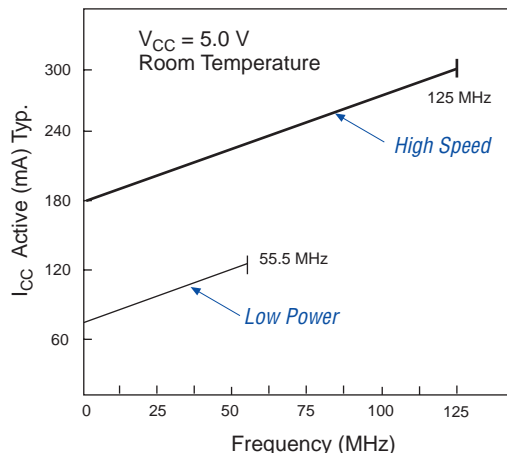


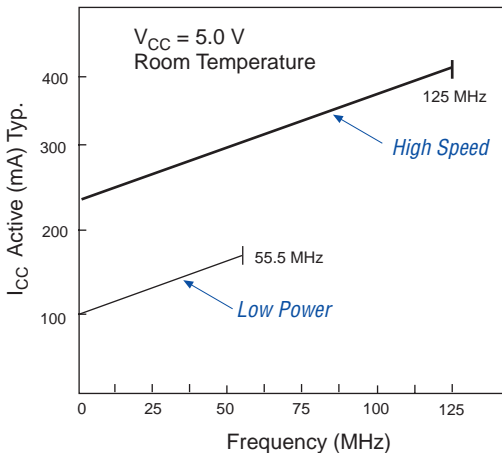
Figure 17. I_{CC} vs. Frequency for MAX 7000S Devices (Part 2 of 2)

Information on MAX 7000S devices is preliminary.

EPM7192S



EPM7256S



Device Pin-Outs

Tables 7 through 21 show the pin names and numbers for the pins in each MAX 7000 device package.

Table 7. EPM7032, EPM7032V & EPM7032S Dedicated Pin-Outs

Pin Name	44-Pin J-Lead	44-Pin PQFP/TQFP,(1)
INPUT/GCLK1	43	37
INPUT/GCLRn	1	39
INPUT/OE1	44	38
INPUT/OE2/GCLK2 (2)	2	40
TDI (3)	7	1
TMS (3)	13	7
TCK (3)	32	26
TDO (3)	38	32
PDn (4)	3	41
GND	10, 22, 30, 42	4, 16, 24, 36
VCC (4)	3, 15, 23, 35	9, 17, 29, 41
No Connect (N.C.)	—	—
Total User I/O Pins	32	32

Table 8. EPM7032, EPM7032V & EPM7032S I/O Pin-Outs Note (2)

MC	LAB	44-Pin J-Lead	44-Pin PQFP/TQFP, (1)	MC	LAB	44-Pin J-Lead	44-Pin PQFP/TQFP, (1)
1	A	4	42	17	B	41	35
2	A	5	43	18	B	40	34
3	A	6	44	19	B	39	33
4	A	7 (3)	1 (3)	20	B	38 (3)	32 (3)
5	A	8	2	21	B	37	31
6	A	9	3	22	B	36	30
7	A	11	5	23	B	34	28
8	A	12	6	24	B	33	27
9	A	13 (3)	7 (3)	25	B	32 (3)	26 (3)
10	A	14	8	26	B	31	25
11	A	16	10	27	B	29	23
12	A	17	11	28	B	28	22
13	A	18	12	29	B	27	21
14	A	19	13	30	B	26	20
15	A	20	14	31	B	25	19
16	A	21	15	32	B	24	18

Notes to tables:

- (1) The 44-pin PQFP package is not offered for EPM7032S devices.
- (2) The GCLK2 function is available in MAX 7000S devices only.
- (3) This JTAG pin applies to only MAX 7000S devices. In MAX 7000S devices, this pin may function as either a JTAG port or a user I/O pin. If the device is configured to use the JTAG ports for ISP, this pin is not available as a user I/O pin.
- (4) This PDn is available in EPM7032V devices.

Table 9. EPM7064 & EPM7064S Dedicated Pin-Outs Note (1)

Dedicated Pin	44-Pin J-Lead	44-Pin TQFP	68-Pin J-Lead, (2)	84-Pin J-Lead	100-Pin TQFP	100-Pin PQFP, (2)
INPUT/GCLK1	43	37	67	83	87	89
INPUT/GCLRn	1	39	1	1	89	91
INPUT/OE1	44	38	68	84	88	90
INPUT/OE2/GCLK2 (1)	2	40	2	2	90	92
TDI (3)	7	1	12	14	4	6
TMS (3)	13	7	19	23	15	17
TCK (3)	32	26	50	62	62	64
TDO (3)	38	32	57	71	73	75
GND	10, 22, 30, 42	4, 16, 24, 36	6, 16, 26, 34, 38, 48, 58, 66	7, 19, 32, 42, 47, 59, 72, 82	38, 86, 11, 26, 43, 59, 74, 95	13, 28, 40, 45, 61, 76, 88, 97
VCCINT (5.0 V only)	3, 15, 23, 35	9, 17, 29, 41	3, 35	3, 43	39, 91	41, 93
VCCIO (3.3 V or 5.0 V)	–	–	11, 21, 31, 43, 53, 63	13, 26, 38, 53, 66, 78	3, 18, 34, 51, 66, 82	5, 20, 36, 53, 68, 84
No Connect (N.C.)	–	–	–	–	1, 2, 5, 7, 22, 24, 27, 28, 49, 50, 53, 55, 70, 72, 77, 78	1, 2, 7, 9, 24, 26, 29, 30, 51, 52, 55, 57, 72, 74, 79, 80
Total User I/O Pins	32	32	48	64	64	64

Table 10. EPM7064 & EPM7064S I/O Pin-Outs (44-Pin J-Lead, 44-Pin TQFP & 68-Pin J-Lead Packages)

MC	LAB	44-Pin J-Lead	44-Pin TQFP	68-Pin J-Lead, (2)	MC	LAB	44-Pin J-Lead	44-Pin TQFP	68-Pin J-Lead, (2)
1	A	12	6	18	17	B	21	15	33
2	A	—	—	—	18	B	—	—	—
3	A	11	5	17	19	B	20	14	32
4	A	9	3	15	20	B	19	13	30
5	A	8	2	14	21	B	18	12	29
6	A	—	—	13	22	B	—	—	28
7	A	—	—	—	23	B	—	—	—
8	A	7 (3)	1 (3)	12 (3)	24	B	17	11	27
9	A	—	—	10	25	B	16	10	25
10	A	—	—	—	26	B	—	—	—
11	A	6	44	9	27	B	—	—	24
12	A	—	—	8	28	B	—	—	23
13	A	—	—	7	29	B	—	—	22
14	A	5	43	5	30	B	14	8	20
15	A	—	—	—	31	B	—	—	—
16	A	4	42	4	32	B	13 (3)	7 (3)	19 (3)
33	C	24	18	36	49	D	33	27	51
34	C	—	—	—	50	D	—	—	—
35	C	25	19	37	51	D	34	28	52
36	C	26	20	39	52	D	36	30	54
37	C	27	21	40	53	D	37	31	55
38	C	—	—	41	54	D	—	—	56
39	C	—	—	—	55	D	—	—	—
40	C	28	22	42	56	D	38 (3)	32 (3)	57 (3)
41	C	29	23	44	57	D	39	33	59
42	C	—	—	—	58	D	—	—	—
43	C	—	—	45	59	D	—	—	60
44	C	—	—	46	60	D	—	—	61
45	C	—	—	47	61	D	—	—	62
46	C	31	25	49	62	D	40	34	64
47	C	—	—	—	63	D	—	—	—
48	C	32 (3)	26 (3)	50 (3)	64	D	41	35	65

Table 11. EPM7064 & EPM7064S I/O Pin-Outs (84-Pin J-Lead, 100-Pin TQFP & 100-Pin PQFP Packages)

MC	LAB	84-Pin J-Lead	100-Pin TQFP	100-Pin PQFP, (2)	MC	LAB	84-Pin J-Lead	100-Pin TQFP	100-Pin PQFP, (2)
1	A	22	14	16	17	B	41	37	39
2	A	21	13	15	18	B	40	36	38
3	A	20	12	14	19	B	39	35	37
4	A	18	10	12	20	B	37	33	35
5	A	17	9	11	21	B	36	32	34
6	A	16	8	10	22	B	35	31	33
7	A	15	6	8	23	B	34	30	32
8	A	14 (3)	4 (3)	6 (3)	24	B	33	29	31
9	A	12	100	4	25	B	31	25	27
10	A	11	99	3	26	B	30	23	25
11	A	10	98	100	27	B	29	21	23
12	A	9	97	99	28	B	28	20	22
13	A	8	96	98	29	B	27	19	21
14	A	6	94	96	30	B	25	17	19
15	A	5	93	95	31	B	24	16	18
16	A	4	92	94	32	B	23 (3)	15 (3)	17 (3)
33	C	44	40	42	49	D	63	63	65
34	C	45	41	43	50	D	64	64	66
35	C	46	42	44	51	D	65	65	67
36	C	48	44	46	52	D	67	67	69
37	C	49	45	47	53	D	68	68	70
38	C	50	46	48	54	D	69	69	71
39	C	51	47	49	55	D	70	71	73
40	C	52	48	50	56	D	71 (3)	73 (3)	75 (3)
41	C	54	52	54	57	D	73	75	77
42	C	55	54	56	58	D	74	76	78
43	C	56	56	58	59	D	75	79	81
44	C	57	57	59	60	D	76	80	82
45	C	58	58	60	61	D	77	81	83
46	C	60	60	62	62	D	79	83	85
47	C	61	61	63	63	D	80	84	86
48	C	62 (3)	62 (3)	64 (3)	64	D	81	85	87

Notes to tables:

- (1) The GCLK2 function is available in MAX 7000S devices only.
- (2) This package is not offered for EPM7064S devices.
- (3) This JTAG pin applies to only MAX 7000S devices. In MAX 7000S devices, this pin may function as either a JTAG port or a user I/O pin. If the device is configured to use the JTAG ports for ISP, this pin is not available as a user I/O pin.

Table 12. EPM7096 Dedicated Pin-Outs

Dedicated Pin	68-Pin J-Lead	84-Pin J-Lead	100-Pin PQFP
INPUT/GCLK1	67	83	89
INPUT/GCLRn	1	1	91
INPUT/OE1	68	84	90
INPUT/OE2/GCLK2	2	2	92
GND	6, 16, 26, 34, 38, 48, 58, 66	7, 19, 32, 42, 47, 59, 72, 82	13, 28, 40, 45, 61, 76, 88, 97
VCCINT (5.0 V only)	3, 35	3, 43	41, 93
VCCIO (3.3 V or 5.0 V)	11, 21, 31, 43, 53, 63	13, 26, 38, 53, 66, 78	5, 20, 36, 53, 68, 84
No Connect (N.C.)	–	6, 39, 46, 79	9, 24, 37, 44, 57, 72, 85, 96
Total User I/O Pins	48	60	72

Table 13. EPM7096 I/O Pin-Outs (Part 1 of 2)

MC	LAB	68-Pin J-Lead	84-Pin J-Lead	100-Pin PQFP	MC	LAB	68-Pin J-Lead	84-Pin J-Lead	100-Pin PQFP
1	A	13	16	8	17	B	23	28	23
2	A	–	–	–	18	B	–	–	–
3	A	–	15	7	19	B	22	27	22
4	A	12	14	6	20	B	–	–	21
5	A	–	–	4	21	B	20	25	19
6	A	10	12	3	22	B	–	24	18
7	A	–	–	–	23	B	–	–	–
8	A	9	11	2	24	B	19	23	17
9	A	8	10	1	25	B	18	22	16
10	A	–	–	–	26	B	–	–	–
11	A	–	9	100	27	B	17	21	15
12	A	7	8	99	28	B	–	20	14
13	A	–	–	98	29	B	15	18	12
14	A	5	5	95	30	B	–	–	11
15	A	–	–	–	31	B	–	–	–
16	A	4	4	94	32	B	14	17	10

Table 13. EPM7096 I/O Pin-Outs (Part 2 of 2)

MC	LAB	68-Pin J-Lead	84-Pin J-Lead	100-Pin PQFP	MC	LAB	68-Pin J-Lead	84-Pin J-Lead	100-Pin PQFP
33	C	33	41	39	49	D	36	44	42
34	C	—	—	—	50	D	—	—	—
35	C	32	40	38	51	D	37	45	43
36	C	—	—	35	52	D	—	—	46
37	C	30	37	34	53	D	39	48	47
38	C	—	36	33	54	D	—	49	48
39	C	—	—	—	55	D	—	—	—
40	C	29	35	32	56	D	40	50	49
41	C	28	34	31	57	D	41	51	50
42	C	—	—	—	58	D	—	—	—
43	C	27	33	30	59	D	42	52	51
44	C	—	—	29	60	D	—	—	52
45	C	25	31	27	61	D	44	54	54
46	C	—	30	26	62	D	—	55	55
47	C	—	—	—	63	D	—	—	—
48	C	24	29	25	64	D	45	56	56
65	E	46	57	58	81	F	56	69	73
66	E	—	—	—	82	F	—	—	—
67	E	47	58	59	83	F	—	70	74
68	E	—	—	60	84	F	57	71	75
69	E	49	60	62	85	F	—	—	77
70	E	—	61	63	86	F	59	73	78
71	E	—	—	—	87	F	—	—	—
72	E	50	62	64	88	F	60	74	79
73	E	51	63	65	89	F	61	75	80
74	E	—	—	—	90	F	—	—	—
75	E	52	64	66	91	F	—	76	81
76	E	—	65	67	92	F	62	77	82
77	E	54	67	69	93	F	—	—	83
78	E	—	—	70	94	F	64	80	86
79	E	—	—	—	95	F	—	—	—
80	E	55	68	71	96	F	65	81	87

Table 14. EPM7128E & EPM7128S Dedicated Pin-Outs

Dedicated Pin	84-Pin J-Lead	100-Pin PQFP	100-Pin TQFP, ⁽¹⁾	160-Pin PQFP
INPUT/GCLK1	83	89	87	139
INPUT/GCLRn	1	91	89	141
INPUT/OE1	84	90	88	140
INPUT/OE2/GCLK2	2	92	90	142
TDI <i>Note (2)</i>	14	6	4	9
TMS <i>Note (2)</i>	23	17	15	22
TCK <i>Note (2)</i>	62	64	62	99
TDO <i>Note (2)</i>	71	75	73	112
GNDINT	42, 82	40, 88	38, 86	60, 138
GNDIO	7, 19, 32, 47, 59, 72	13, 28, 45, 61, 76, 97	11, 26, 43, 59, 74, 95	17, 42, 66, 95, 113, 148
VCCINT (5.0 V only)	3, 43	41, 93	39, 91	61, 143
VCCIO (3.3 V or 5.0 V)	13, 26, 38, 53, 66, 78	5, 20, 36, 53, 68, 84	3, 18, 34, 51, 66, 82	8, 26, 55, 79, 104, 133
No Connect (N.C.)	—	—	—	1, 2, 3, 4, 5, 6, 7, 34, 35, 36, 37, 38, 39, 40, 44, 45, 46, 47, 74, 75, 76, 77, 81, 82, 83, 84, 85, 86, 87, 114, 115, 116, 117, 118, 119, 120, 124, 125, 126, 127, 154, 155, 156, 157
Total User I/O Pins	64	80	80	96

Table 15. EPM7128E & EPM7128S I/O Pin-Outs (Part 1 of 2) Note (2)

MC	LAB	84-Pin J-Lead	100-Pin PQFP	100-Pin TQFP, (1)	160-Pin PQFP	MC	LAB	84-Pin J-Lead	100-Pin PQFP	100-Pin TQFP, (1)	160-Pin PQFP
1	A	—	4	2	160	17	B	22	16	14	21
2	A	—	—	—	—	18	B	—	—	—	—
3	A	12	3	1	159	19	B	21	15	13	20
4	A	—	—	—	158	20	B	—	—	—	19
5	A	11	2	100	153	21	B	20	14	12	18
6	A	10	1	99	152	22	B	—	12	10	16
7	A	—	—	—	—	23	B	—	—	—	—
8	A	9	100	98	151	24	B	18	11	9	15
9	A	—	99	97	150	25	B	17	10	8	14
10	A	—	—	—	—	26	B	—	—	—	—
11	A	8	98	96	149	27	B	16	9	7	13
12	A	—	—	—	147	28	B	—	—	—	12
13	A	6	96	94	146	29	B	15	8	6	11
14	A	5	95	93	145	30	B	—	7	5	10
15	A	—	—	—	—	31	B	—	—	—	—
16	A	4	94	92	144	32	B	14 (3)	6 (3)	4 (3)	9 (3)
33	C	—	27	25	41	49	D	41	39	37	59
34	C	—	—	—	—	50	D	—	—	—	—
35	C	31	26	24	33	51	D	40	38	36	58
36	C	—	—	—	32	52	D	—	—	—	57
37	C	30	25	23	31	53	D	39	37	35	56
38	C	29	24	22	30	54	D	—	35	33	54
39	C	—	—	—	—	55	D	—	—	—	—
40	C	28	23	21	29	56	D	37	34	32	53
41	C	—	22	20	28	57	D	36	33	31	52
42	C	—	—	—	—	58	D	—	—	—	—
43	C	27	21	19	27	59	D	35	32	30	51
44	C	—	—	—	25	60	D	—	—	—	50
45	C	25	19	17	24	61	D	34	31	29	49
46	C	24	18	16	23	62	D	—	30	28	48
47	C	—	—	—	—	63	D	—	—	—	—
48	C	23 (3)	17 (3)	15 (3)	22 (3)	64	D	33	29	27	43

Table 15. EPM7128E & EPM7128S I/O Pin-Outs (Part 2 of 2) *Note (2)*

MC	LAB	84-Pin J-Lead	100-Pin PQFP	100-Pin TQFP, (1)	160-Pin PQFP	MC	LAB	84-Pin J-Lead	100-Pin PQFP	100-Pin TQFP, (1)	160-Pin PQFP
65	E	44	42	40	62	81	F	—	54	52	80
66	E	—	—	—	—	82	F	—	—	—	—
67	E	45	43	41	63	83	F	54	55	53	88
68	E	—	—	—	64	84	F	—	—	—	89
69	E	46	44	42	65	85	F	55	56	54	90
70	E	—	46	44	67	86	F	56	57	55	91
71	E	—	—	—	—	87	F	—	—	—	—
72	E	48	47	45	68	88	F	57	58	56	92
73	E	49	48	46	69	89	F	—	59	57	93
74	E	—	—	—	—	90	F	—	—	—	—
75	E	50	49	47	70	91	F	58	60	58	94
76	E	—	—	—	71	92	F	—	—	—	96
77	E	51	50	48	72	93	F	60	62	60	97
78	E	—	51	49	73	94	F	61	63	61	98
79	E	—	—	—	—	95	F	—	—	—	—
80	E	52	52	50	78	96	F	62 (3)	64 (3)	62 (3)	99 (3)
97	G	63	65	63	100	113	H	—	77	75	121
98	G	—	—	—	—	114	H	—	—	—	—
99	G	64	66	64	101	115	H	73	78	76	122
100	G	—	—	—	102	116	H	—	—	—	123
101	G	65	67	65	103	117	H	74	79	77	128
102	G	—	69	67	105	118	H	75	80	78	129
103	G	—	—	—	—	119	H	—	—	—	—
104	G	67	70	68	106	120	H	76	81	79	130
105	G	68	71	69	107	121	H	—	82	80	131
106	G	—	—	—	—	122	H	—	—	—	—
107	G	69	72	70	108	123	H	77	83	81	132
108	G	—	—	—	109	124	H	—	—	—	134
109	G	70	73	71	110	125	H	79	85	83	135
110	G	—	74	72	111	126	H	80	86	84	136
111	G	—	—	—	—	127	H	—	—	—	—
112	G	71 (3)	75 (3)	73 (3)	112 (3)	128	H	81	87	85	137

Notes to tables:

- (1) A complete thermal analysis should be performed before committing a design to this device package.
- (2) Information on MAX 7000S devices is preliminary.
- (3) This JTAG pin applies to only MAX 7000S devices. In MAX 7000S devices, this pin may function as either a JTAG port or a user I/O pin. If the device is configured to use the JTAG ports for boundary-scan testing or for ISP, this pin is not available as a user I/O pin.

Table 16. EPM7160E & EPM7160S Dedicated Pin-Outs Note (1)

Dedicated Pin	84-Pin J-Lead	100-Pin TQFP, (2)	100-Pin PQFP, (3)	160-Pin PQFP
INPUT/GCLK1	83	87	89	139
INPUT/GCLRn	1	89	91	141
INPUT/OE1	84	88	90	140
INPUT/OE2/GCLK2	2	90	92	142
TDI (1)	14	4	6	9
TMS (1)	23	15	17	22
TCK (1)	62	62	64	99
TDO (1)	71	73	75	112
GND	7, 19, 32, 42, 47, 59, 72, 82	38, 86, 11, 26, 43, 59, 74, 95	13, 28, 40, 45, 61, 76, 88, 97	17, 42, 60, 66, 95, 113, 138, 148
VCCINT (5.0 V only)	3, 43	39, 91	41, 93	61, 143
VCCIO (3.3 V or 5.0 V)	13, 26, 38, 53, 66, 78	3, 18, 34, 51, 66, 82	5, 20, 36, 53, 68, 84	8, 26, 55, 79, 104, 133
No Connect (N.C.)	6, 39, 46, 79	—	—	1, 2, 3, 4, 5, 6, 34, 35, 36, 37, 38, 39, 40, 45, 46, 47, 74, 75, 76, 81, 82, 83, 84, 85, 86, 87, 115, 116, 117, 118, 119, 120, 124, 125, 126, 127, 154, 155, 156, 157
Total User I/O Pins	60	80	80	100

Table 17. EPM7160E & EPM7160S I/O Pin-Outs (Part 1 of 3)

MC	LAB	84-Pin J-Lead	100-Pin TQFP, (2)	100-Pin PQFP, (3)	160-Pin PQFP	MC	LAB	84-Pin J-Lead	100-Pin TQFP, (2)	100-Pin PQFP, (3)	160-Pin PQFP
1	A	11	100	2	158	17	B	18	9	11	15
2	A	—	—	—	—	18	B	—	—	—	—
3	A	10	99	1	153	19	B	17	8	10	14
4	A	—	—	—	—	20	B	—	—	—	—
5	A	—	—	—	152	21	B	—	—	—	13
6	A	—	98	100	151	22	B	—	7	9	12
7	A	—	—	—	—	23	B	—	—	—	—
8	A	9	97	99	150	24	B	16	6	8	11
9	A	8	96	98	149	25	B	15	5	7	10
10	A	—	—	—	—	26	B	—	—	—	—
11	A	5	94	96	147	27	B	14 (1)	4 (1)	6 (1)	9 (1)
12	A	—	—	—	—	28	B	—	—	—	—

Table 17. EPM7160E & EPM7160S I/O Pin-Outs (Part 2 of 3)

MC	LAB	84-Pin J-Lead	100-Pin TQFP, (2)	100-Pin PQFP, (3)	160-Pin PQFP	MC	LAB	84-Pin J-Lead	100-Pin TQFP, (2)	100-Pin PQFP, (3)	160-Pin PQFP
13	A	—	—	—	146	29	B	—	—	—	7
14	A	—	93	95	145	30	B	—	2	4	160
15	A	—	—	—	—	31	B	—	—	—	—
16	A	4	92	94	144	32	B	12	1	3	159
33	C	—	19	21	27	49	D	—	—	—	48
34	C	—	—	—	—	50	D	—	—	—	—
35	C	25	17	19	25	51	D	33	28	30	44
36	C	—	—	—	—	52	D	—	—	—	—
37	C	—	—	—	24	53	D	—	27	29	43
38	C	24	16	18	23	54	D	31	25	27	41
39	C	—	—	—	—	55	D	—	—	—	—
40	C	23 (1)	15 (1)	17 (1)	22 (1)	56	D	30	24	26	33
41	C	—	10	12	16	57	D	—	—	—	32
42	C	—	—	—	—	58	D	—	—	—	—
43	C	20	12	14	18	59	D	29	23	25	31
44	C	—	—	—	—	60	D	—	—	—	—
45	C	—	—	—	19	61	D	—	22	24	30
46	C	21	13	15	20	62	D	28	21	23	29
47	C	—	—	—	—	63	D	—	—	—	—
48	C	22	14	16	21	64	D	27	20	22	28
65	E	—	—	—	59	81	F	—	—	—	62
66	E	—	—	—	—	82	F	—	—	—	—
67	E	41	37	39	58	83	F	44	40	42	63
68	E	—	—	—	—	84	F	—	—	—	—
69	E	—	36	38	57	85	F	—	41	43	64
70	E	40	35	37	56	86	F	45	42	44	65
71	E	—	—	—	—	87	F	—	—	—	—
72	E	37	33	35	54	88	F	48	44	46	67
73	E	—	—	—	53	89	F	—	—	—	68
74	E	—	—	—	—	90	F	—	—	—	—
75	E	36	32	34	52	91	F	49	45	47	69
76	E	—	—	—	—	92	F	—	—	—	—
77	E	—	31	33	51	93	F	—	46	48	70
78	E	35	30	32	50	94	F	50	47	49	71
79	E	—	—	—	—	95	F	—	—	—	—
80	E	34	29	31	49	96	F	51	48	50	72

Table 17. EPM7160E & EPM7160S I/O Pin-Outs (Part 3 of 3)

MC	LAB	84-Pin J-Lead	100-Pin TQFP, (2)	100-Pin PQFP, (3)	160-Pin PQFP	MC	LAB	84-Pin J-Lead	100-Pin TQFP, (2)	100-Pin PQFP, (3)	160-Pin PQFP
97	G	—	—	—	73	113	H	—	58	60	94
98	G	—	—	—	—	114	H	—	—	—	—
99	G	52	49	51	77	115	H	60	60	62	96
100	G	—	—	—	—	116	H	—	—	—	—
101	G	—	50	52	78	117	H	—	—	—	97
102	G	54	52	54	80	118	H	61	61	63	98
103	G	—	—	—	—	119	H	—	—	—	—
104	G	55	53	55	88	120	H	62 (1)	62 (1)	64 (1)	99 (1)
105	G	—	—	—	89	121	H	—	67	69	105
106	G	—	—	—	—	122	H	—	—	—	—
107	G	56	54	56	90	123	H	65	65	67	103
108	G	—	—	—	—	124	H	—	—	—	—
109	G	—	55	57	91	125	H	—	—	—	102
110	G	57	56	58	92	126	H	64	64	66	101
111	G	—	—	—	—	127	H	—	—	—	—
112	G	58	57	59	93	128	H	63	63	65	100
129	I	67	68	70	106	145	J	74	77	79	123
130	I	—	—	—	—	146	J	—	—	—	—
131	I	68	69	71	107	147	J	75	78	80	128
132	I	—	—	—	—	148	J	—	—	—	—
133	I	—	—	—	108	149	J	—	—	—	129
134	I	—	70	72	109	150	J	—	79	81	130
135	I	—	—	—	—	151	J	—	—	—	—
136	I	69	71	73	110	152	J	76	80	82	131
137	I	70	72	74	111	153	J	77	81	83	132
138	I	—	—	—	—	154	J	—	—	—	—
139	I	71 (1)	73 (1)	75 (1)	112 (1)	155	J	80	83	85	134
140	I	—	—	—	—	156	J	—	—	—	—
141	I	—	—	—	114	157	J	—	—	—	135
142	I	—	75	77	121	158	J	—	84	86	136
143	I	—	—	—	—	159	J	—	—	—	—
144	I	73	76	78	122	160	J	81	85	87	137

Note to tables:

- (1) This JTAG pin applies to only MAX 7000S devices. For MAX 7000S devices, this pin may function as either a JTAG port or a user I/O pin. If the device is configured to use the JTAG ports for BST or with ISP, this pin is not available as a user I/O pin.
- (2) A complete thermal analysis should be performed before committing a design to this device package.
- (3) The 100-pin PQFP is not available for EPM7160S devices.

Table 18. EPM7192E & EPM7192S Dedicated Pin-Outs

Dedicated Pin	160-Pin PGA, Note (1)	160-Pin PQFP
INPUT/GCLK1	M8	139
INPUT/GCLRn	N8	141
INPUT/OE1	P8	140
INPUT/OE2/GCLK2	R8	142
TDI (2)	P9	146
TMS (2)	G15	23
TCK (2)	G2	98
TDO (2)	R7	135
GND	C4, C6, C11, D7, D9, D13, G4, H12, J4, M7, M9, M13, N4, N11	3, 18, 32, 47, 57, 64, 66, 81, 96, 111, 126, 138, 143, 148
VCCINT (5.0 V only)	C7, C9, N7, N9	56, 65, 137, 144
VCCIO (3.3 V or 5.0 V)	C5, C10, C12, D3, G12, H4, J12, M3, N5, N12	10, 25, 40, 55, 74, 89, 103, 118, 133, 155
No Connect (N.C.)	A1, A2, A14, A15, R1, R2, R14, R15	1, 11, 39, 54, 67, 82, 110, 120
Total User I/O Pins	120	120

Table 19. EPM7192E & EPM7192S I/O Pin-Outs (Part 1 of 3)

MC	LAB	160-Pin PGA, (1)	160-Pin PQFP	MC	LAB	160-Pin PGA, (1)	160-Pin PQFP	MC	LAB	160-Pin PGA, (1)	160-Pin PQFP
1	A	M12	156	17	B	L14	8	33	C	H14	21
2	A	—	—	18	B	—	—	34	C	—	—
3	A	P11	154	19	B	M14	7	35	C	J13	20
4	A	—	—	20	B	—	—	36	C	—	—
5	A	P12	153	21	B	M15	6	37	C	H15	19
6	A	P10	152	22	B	N14	5	38	C	J15	17
7	A	—	—	23	B	—	—	39	C	—	—
8	A	R12	151	24	B	N15	4	40	C	J14	16
9	A	N10	150	25	B	P15	2	41	C	K15	15
10	A	—	—	26	B	—	—	42	C	—	—
11	A	R11	149	27	B	N13	160	43	C	K13	14
12	A	—	—	28	B	—	—	44	C	—	—
13	A	R10	147	29	B	P14	159	45	C	L15	13
14	A	P9 (2)	146 (2)	30	B	P13	158	46	C	K14	12
15	A	—	—	31	B	—	—	47	C	—	—
16	A	R9	145	32	B	R13	157	48	C	L13	9

Table 19. EPM7192E & EPM7192S I/O Pin-Outs (Part 2 of 3)

MC	LAB	160-Pin PGA, (1)	160-Pin PQFP	MC	LAB	160-Pin PGA, (1)	160-Pin PQFP	MC	LAB	160-Pin PGA, (1)	160-Pin PQFP
49	D	D15	33	65	E	B12	45	81	F	D8	60
50	D	—	—	66	E	—	—	82	F	—	—
51	D	E15	31	67	E	B13	44	83	F	A9	59
52	D	—	—	68	E	—	—	84	F	—	—
53	D	E14	30	69	E	C13	43	85	F	C8	58
54	D	F15	29	70	E	B14	42	86	F	B9	53
55	D	—	—	71	E	—	—	87	F	—	—
56	D	F13	28	72	E	C14	41	88	F	A10	52
57	D	G14	27	73	E	D12	38	89	F	B10	51
58	D	—	—	74	E	—	—	90	F	—	—
59	D	F14	26	75	E	B15	37	91	F	A11	50
60	D	—	—	76	E	—	—	92	F	—	—
61	D	G13	24	77	E	D14	36	93	F	B11	49
62	D	G15 (2)	23 (2)	78	E	C15	35	94	F	A12	48
63	D	—	—	79	E	—	—	95	F	—	—
64	D	H13	22	80	E	E13	34	96	F	A13	46
97	G	A8	61	113	H	A3	76	129	I	E3	88
98	G	—	—	114	H	—	—	130	I	—	—
99	G	B8	62	115	H	B4	77	131	I	F3	90
100	G	—	—	116	H	—	—	132	I	—	—
101	G	A7	63	117	H	B3	78	133	I	E2	91
102	G	A6	68	118	H	C3	79	134	I	F2	92
103	G	—	—	119	H	—	—	135	I	—	—
104	G	B7	69	120	H	B2	80	136	I	E1	93
105	G	A5	70	121	H	B1	83	137	I	G3	94
106	G	—	—	122	H	—	—	138	I	—	—
107	G	B6	71	123	H	C2	84	139	I	F1	95
108	G	—	—	124	H	—	—	140	I	—	—
109	G	A4	72	125	H	C1	85	141	I	G1	97
110	G	B5	73	126	H	D2	86	142	I	G2 (2)	98 (2)
111	G	—	—	127	H	—	—	143	I	—	—
112	G	D4	75	128	H	D1	87	144	I	H1	99

Table 19. EPM7192E & EPM7192S I/O Pin-Outs (Part 3 of 3)

MC	LAB	160-Pin PGA, (1)	160-Pin PQFP	MC	LAB	160-Pin PGA, (1)	160-Pin PQFP	MC	LAB	160-Pin PGA, (1)	160-Pin PQFP
145	J	H2	100	161	K	L2	113	177	L	R3	125
146	J	—	—	162	K	—	—	178	L	—	—
147	J	J1	101	163	K	N1	114	179	L	R4	127
148	J	—	—	164	K	—	—	180	L	—	—
149	J	H3	102	165	K	L3	115	181	L	M4	128
150	J	J3	104	166	K	P1	116	182	L	R5	129
151	J	—	—	167	K	—	—	183	L	—	—
152	J	K1	105	168	K	M2	117	184	L	P5	130
153	J	J2	106	169	K	N2	119	185	L	R6	131
154	J	—	—	170	K	—	—	186	L	—	—
155	J	K2	107	171	K	P2	121	187	L	P6	132
156	J	—	—	172	K	—	—	188	L	—	—
157	J	K3	108	173	K	N3	122	189	L	N6	134
158	J	L1	109	174	K	P3	123	190	L	R7 (2)	135 (2)
159	J	—	—	175	K	—	—	191	L	—	—
160	J	M1	112	176	K	P4	124	192	L	P7	136

Notes to tables:

- (1) This package is not offered for EPM7192S devices.
- (2) This JTAG pin applies to only MAX 7000S devices. For MAX 7000S devices, this pin may function as either a JTAG port or a user I/O pin. If the device is configured to use the JTAG ports for ISP, this pin is not available as a user I/O pin.

Table 20. EPM7256E & EPM7256S Dedicated Pin-Outs

Dedicated Pin	160-Pin PQFP, (1), (2)	192-Pin PGA, (2)	208-Pin RQFP/PQFP
INPUT/GCLK1	139	P9	184
INPUT/GCLRn	141	R9	182
INPUT/OE1	140	T9	183
INPUT/OE2/GCLK2	142	U9	181
TDI, <i>Note (3)</i>	146	U10	176
TMS, <i>Note (3)</i>	23	H15	127
TCK, <i>Note (3)</i>	98	H3	30
TDO, <i>Note (3)</i>	135	U8	189
GND	3, 18, 32, 47, 57, 64, 66, 81, 96, 111, 126, 138, 143, 148	C7, C13, D4, D8, D10, G14, H4, K14, L4, P8, P10, P15, R4, R11	14, 32, 50, 72, 75, 82, 94, 116, 134, 152, 174, 180, 185, 200
VCCINT (5.0 V only)	56, 65, 137, 144	D7, D11, P7, P11	74, 83, 179, 186
VCCIO (3.3 V or 5.0 V)	10, 25, 40, 55, 74, 89, 103, 118, 133, 155	C5, C11, D14, G4, H14, K4, L14, P3, R5, R14	5, 23, 41, 63, 85, 107, 125, 143, 165, 191
No Connect (N.C.)	—	—	1, 2, 51, 52, 53, 54, 103, 104, 105, 106, 155, 156, 157, 158, 207, 208.
Total User I/O Pins	128	160	160

Table 21. EPM7256E & EPM7256S I/O Pin-Outs (Part 1 of 5)

MC	LAB	160-Pin PQFP, (1), (2)	192-Pin PGA, (2)	208-Pin RQFP/PQFP	MC	LAB	160-Pin PQFP, (1), (2)	192-Pin PGA, (2)	208-Pin RQFP/PQFP
1	A	2	U17	153	17	B	12	N17	141
2	A	—	—	—	18	B	—	—	—
3	A	1	R16	154	19	B	11	M16	142
4	A	—	—	—	20	B	—	—	—
5	A	160	P14	159	21	B	9	M15	144
6	A	—	U16	160	22	B	—	P17	145
7	A	—	—	—	23	B	—	—	—
8	A	159	R15	161	24	B	8	N16	146
9	A	158	U15	162	25	B	7	R17	147
10	A	—	—	—	26	B	—	—	—
11	A	157	T15	163	27	B	6	P16	148
12	A	—	—	—	28	B	—	—	—
13	A	156	U14	164	29	B	5	T17	149

Table 21. EPM7256E & EPM7256S I/O Pin-Outs (Part 2 of 5)

MC	LAB	160-Pin PQFP, (1), (2)	192-Pin PGA, (2)	208-Pin RQFP/PQFP	MC	LAB	160-Pin PQFP, (1), (2)	192-Pin PGA, (2)	208-Pin RQFP/PQFP
14	A	—	U13	166	30	B	—	N15	150
15	A	—	—	—	31	B	—	—	—
16	A	154	T14	167	32	B	4	T16	151
33	C	39	B17	108	49	D	49	A14	92
34	C	—	—	—	50	D	—	—	—
35	C	38	C15	109	51	D	48	B12	93
36	C	—	—	—	52	D	—	—	—
37	C	37	C17	110	53	D	46	B13	95
38	C	—	C16	111	54	D	—	A15	96
39	C	—	—	—	55	D	—	—	—
40	C	36	D17	112	56	D	45	B14	97
41	C	35	D15	113	57	D	44	A16	98
42	C	—	—	—	58	D	—	—	—
43	C	34	E17	114	59	D	43	C14	99
44	C	—	—	—	60	D	—	—	—
45	C	33	D16	115	61	D	42	B16	100
46	C	—	E15	117	62	D	—	B15	101
47	C	—	—	—	63	D	—	—	—
48	C	31	F16	118	64	D	41	A17	102
65	E	153	U12	168	81	F	21	J16	130
66	E	—	—	—	82	F	—	—	—
67	E	152	R13	169	83	F	20	J15	131
68	E	—	—	—	84	F	—	—	—
69	E	151	U11	170	85	F	19	K17	132
70	E	—	T13	171	86	F	—	J14	133
71	E	—	—	—	87	F	—	—	—
72	E	150	T11	172	88	F	17	K16	135
73	E	149	T12	173	89	F	16	K15	136
74	E	—	—	—	90	F	—	—	—
75	E	147	R12	175	91	F	15	L17	137
76	E	—	—	—	92	F	—	—	—
77	E	146 (3)	U10 (3)	176 (3)	93	F	14	L16	138
78	E	—	R10	177	94	F	—	M17	139
79	E	—	—	—	95	F	—	—	—
80	E	145	T10	178	96	F	13	L15	140

Table 21. EPM7256E & EPM7256S I/O Pin-Outs (Part 3 of 5)

MC	LAB	160-Pin PQFP, (1), (2)	192-Pin PGA, (2)	208-Pin RQFP/PQFP	MC	LAB	160-Pin PQFP, (1), (2)	192-Pin PGA, (2)	208-Pin RQFP/PQFP
97	G	30	E16	119	113	H	60	C9	79
98	G	—	—	—	114	H	—	—	—
99	G	29	F17	120	115	H	59	D9	80
100	G	—	—	—	116	H	—	—	—
101	G	28	F15	121	117	H	58	C10	81
102	G	—	G16	122	118	H	—	A10	84
103	G	—	—	—	119	H	—	—	—
104	G	27	G15	123	120	H	54	A11	86
105	G	26	G17	124	121	H	53	B10	87
106	G	—	—	—	122	H	—	—	—
107	G	24	H17	126	123	H	52	A12	88
108	G	—	—	—	124	H	—	—	—
109	G	23 (3)	H15 (3)	127 (3)	125	H	51	B11	89
110	G	—	J17	128	126	H	—	A13	90
111	G	—	—	—	127	H	—	—	—
112	G	22	H16	129	128	H	50	C12	91
129	I	128	U6	197	145	J	100	J2	27
130	I	—	—	—	146	J	—	—	—
131	I	129	T5	196	147	J	101	J3	26
132	I	—	—	—	148	J	—	—	—
133	I	130	U7	195	149	J	102	K1	25
134	I	—	T6	194	150	J	—	J4	24
135	I	—	—	—	151	J	—	—	—
136	I	131	T7	193	152	J	104	K2	22
137	I	132	R6	192	153	J	105	K3	21
138	I	—	—	—	154	J	—	—	—
139	I	134	R7	190	155	J	106	L1	20
140	I	—	—	—	156	J	—	—	—
141	I	135 (3)	U8 (3)	189 (3)	157	J	107	L2	19
142	I	—	R8	188	158	J	—	M1	18
143	I	—	—	—	159	J	—	—	—
144	I	136	T8	187	160	J	108	L3	17

Table 21. EPM7256E & EPM7256S I/O Pin-Outs (Part 4 of 5)

MC	LAB	160-Pin PQFP, (1), (2)	192-Pin PGA, (2)	208-Pin RQFP/PQFP	MC	LAB	160-Pin PQFP, (1), (2)	192-Pin PGA, (2)	208-Pin RQFP/PQFP
161	K	91	F3	38	177	L	61	B9	78
162	K	—	—	—	178	L	—	—	—
163	K	92	F1	37	179	L	62	C8	77
164	K	—	—	—	180	L	—	—	—
165	K	93	E2	36	181	L	63	A9	76
166	K	—	G2	35	182	L	—	A8	73
167	K	—	—	—	183	L	—	—	—
168	K	94	G3	34	184	L	67	A7	71
169	K	95	G1	33	185	L	68	B8	70
170	K	—	—	—	186	L	—	—	—
171	K	97	H1	31	187	L	69	A6	69
172	K	—	—	—	188	L	—	—	—
173	K	98 (3)	H3 (3)	30 (3)	189	L	70	B7	68
174	K	—	J1	29	190	L	—	A5	67
175	K	—	—	—	191	L	—	—	—
176	K	99	H2	28	192	L	71	C6	66
193	M	119	U1	4	209	N	109	N1	16
194	M	—	—	—	210	N	—	—	—
195	M	120	R2	3	211	N	110	M2	15
196	M	—	—	—	212	N	—	—	—
197	M	121	R3	206	213	N	112	M3	13
198	M	—	U2	205	214	N	—	P1	12
199	M	—	—	—	215	N	—	—	—
200	M	122	P4	204	216	N	113	N2	11
201	M	123	U3	203	217	N	114	R1	10
202	M	—	—	—	218	N	—	—	—
203	M	124	T3	202	219	N	115	P2	9
204	M	—	—	—	220	N	—	—	—
205	M	125	U4	201	221	N	116	T1	8
206	M	—	U5	199	222	N	—	N3	7
207	M	—	—	—	223	N	—	—	—
208	M	127	T4	198	224	N	117	T2	6

Table 21. EPM7256E & EPM7256S I/O Pin-Outs (Part 5 of 5)

MC	LAB	160-Pin PQFP, (1), (2)	192-Pin PGA, (2)	208-Pin RQFP/PQFP	MC	LAB	160-Pin PQFP, (1), (2)	192-Pin PGA, (2)	208-Pin RQFP/PQFP
225	O	82	B1	49	241	P	72	A4	65
226	O	—	—	—	242	P	—	—	—
227	O	83	C3	48	243	P	73	B6	64
228	O	—	—	—	244	P	—	—	—
229	O	84	C1	47	245	P	75	B5	62
230	O	—	D3	46	246	P	—	A3	61
231	O	—	—	—	247	P	—	—	—
232	O	85	D1	45	248	P	76	B4	60
233	O	86	C2	44	249	P	77	A2	59
234	O	—	—	—	250	P	—	—	—
235	O	87	E1	43	251	P	78	C4	58
236	O	—	—	—	252	P	—	—	—
237	O	88	E3	42	253	P	79	B2	57
238	O	—	D2	40	254	P	—	B3	56
239	O	—	—	—	255	P	—	—	—
240	O	90	F2	39	256	P	80	A1	55

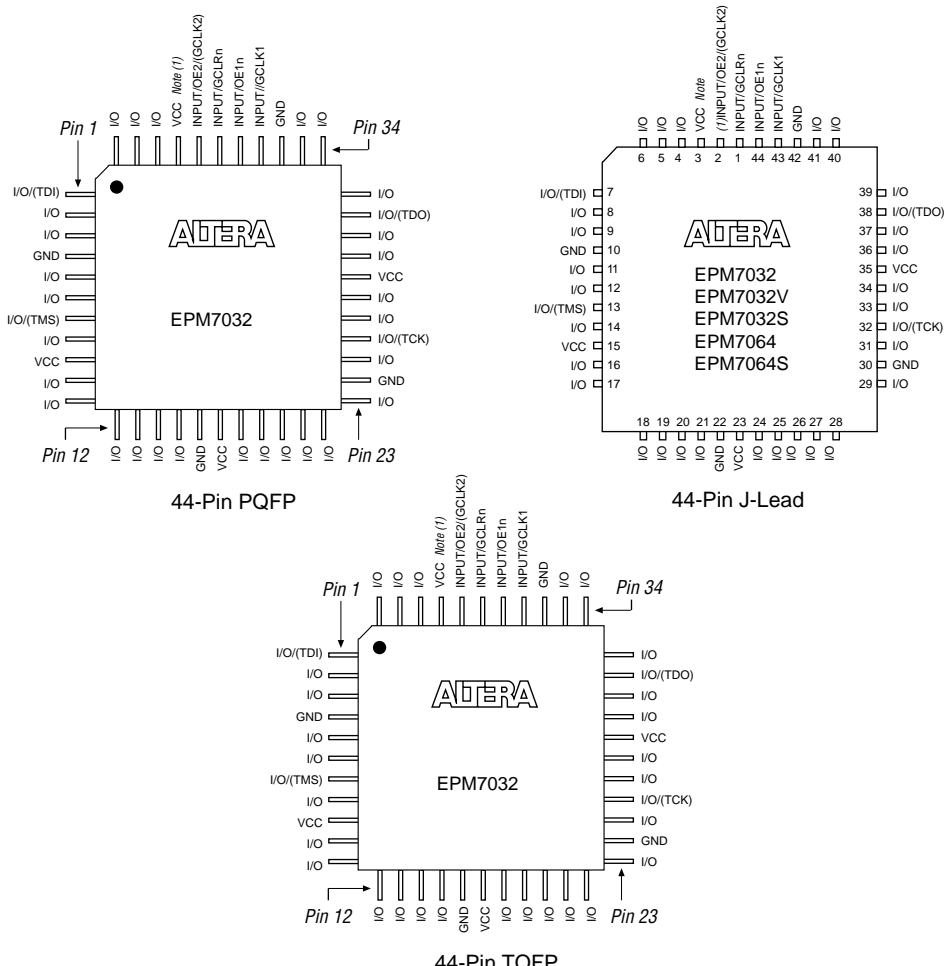
Notes to tables:

- (1) A complete thermal analysis should be performed before committing a design to this device package. See the *Operating Requirements for Altera Devices Data Sheet* in the **1998 Data Book** for more information.
- (2) This package is not available in EPM7256S devices.
- (3) This JTAG pin applies to only MAX 7000S devices. For MAX 7000S devices, this pin may function as either a JTAG port or a user I/O pin. If the device is configured to use the JTAG ports for ISP, this pin is not available as a user I/O pin.

Figures 18 through 24 show the package pin-out diagrams for MAX 7000 devices.

Figure 18. 44-Pin Package Pin-Out Diagram

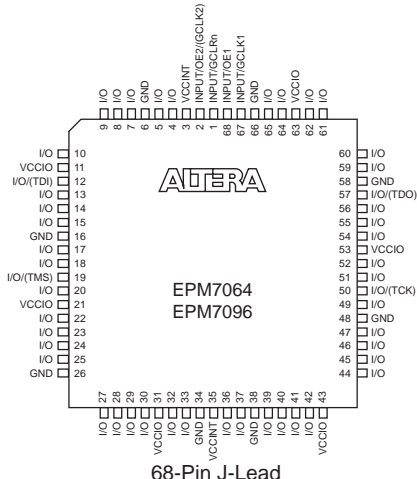
Package outlines not drawn to scale. Pin functions shown in parentheses are for MAX 7000S devices only.

**Note:**

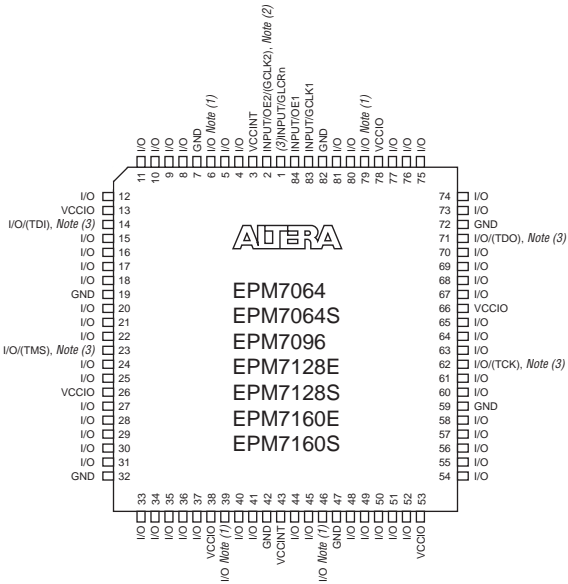
- This pin is a power-down pin (PDn) for EPM7032V devices.

Figure 19. 68-Pin Package Pin-Out Diagram

Package outlines not drawn to scale. Pin functions shown in parentheses are for MAX 7000S devices only.

**Figure 20. 84-Pin Package Pin-Out Diagram**

Package outline not drawn to scale. Pin functions in parentheses are for MAX 7000S devices only.



Notes:

- (1) Pins 6, 39, 46, and 79 are no-connect (N.C.) pins on EPM7096, EPM7160E, and EPM7160S devices.
- (2) These pins are only available in MAX 7000E and MAX 7000S devices.
- (3) JTAG ports are only available in MAX 7000S devices.

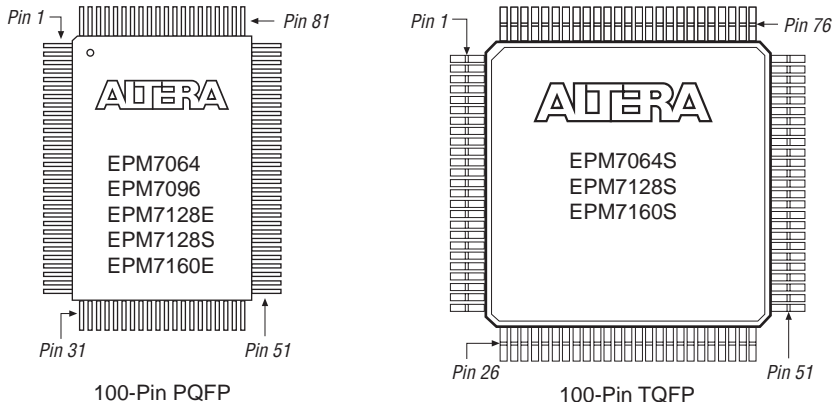
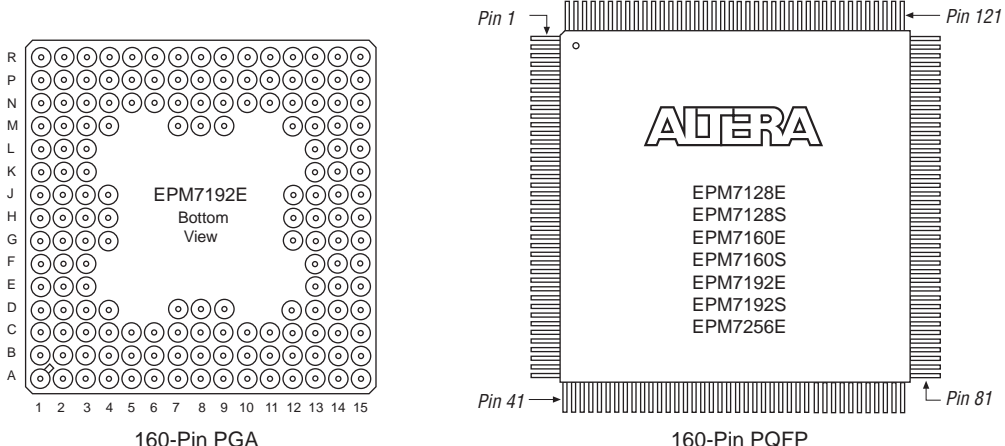
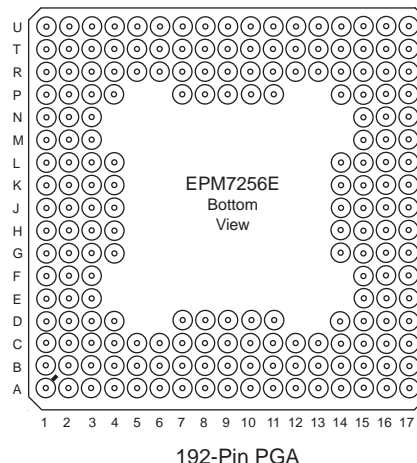
Figure 21. 100-Pin Package Pin-Out Diagram*Package outline not drawn to scale.***Figure 22. 160-Pin Package Pin-Out Diagram***Package outline not drawn to scale.*

Figure 23. 192-Pin Package Pin-Out Diagram

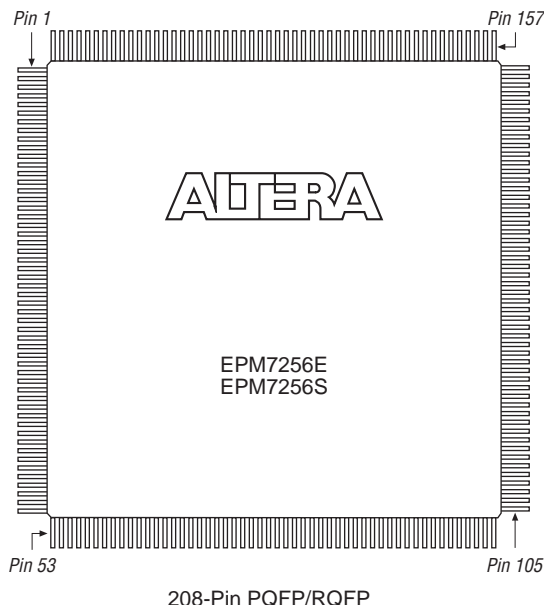
Package outline not drawn to scale.



192-Pin PGA

Figure 24. 208-Pin Package Pin-Out Diagram

Package outline not drawn to scale.



208-Pin PQFP/RQFP

Revision History

The information contained in the *MAX 7000 Programmable Logic Device Family Data Sheet* version 5.03 supersedes information published in previous versions.

Version 5.03 Changes

The *MAX 7000 Programmable Logic Device Family Data Sheet* version 5.03 contains the following change:

- Throughout the document, clarified which devices support JTAG BST.

Version 5.02 Changes

The *MAX 7000 Programmable Logic Device Family Data Sheet* version 5.02 contained the following changes:

- Added description of “F” suffix devices to the “[In-System Programmability \(ISP\)](#)” section on page 16.

Version 5.01 Changes

The *MAX 7000 Programmable Logic Device Family Data Sheet* version 5.01 contained the following changes:

- Added detailed information on I/O operation to the “[In-System Programmability \(ISP\)](#)” section on page 16.
- Added missing data on V_{OH} and V_{OL} operation to the MAX 7000 5.0-V Device DC Operating Conditions table.
- Added note to [Table 6](#) regarding preliminary status to applicable MAX 7000 devices.
- Corrected Note (3) to Note (4) for the P_{Dn} pin in [Table 7](#).
- Added missing GND pins to [Table 14](#).
- Made minor textual, illustration, and style changes to the data sheet.



101 Innovation Drive
San Jose, CA 95134

(408) 544-7000

<http://www.altera.com>

Applications Hotline:

(800) 800-EPLD

Customer Marketing:

(408) 894-7104

Literature Services:

(888) 3-ALTERA

lit_req@altera.com

Altera, MAX, MAX 7000, MAX 7000S, MAX+PLUS, MAX+PLUS II, MultiVolt, BitBlaster, ByteBlaster, FastTrack Interconnect, EPM7032, EPM7032V, EPM7032S, EPM7064, EPM7064S, EPM7096, EPM7128E, EPM7128S, EPM7160E, EPM7160S, EPM7192E, EPM7192S, EPM7256E, and EPM7256S are trademarks and/or service marks of Altera Corporation in the United States or other countries. Altera acknowledges the trademarks of other organizations for their respective products or services mentioned in this document, specifically: Verilog is a registered trademark of Cadence Design Systems, Inc. Altera products are protected under numerous U.S. and foreign patents and pending applications, maskwork rights, and copyrights. Altera warrants performance of its semiconductor products to current specifications in accordance with Altera's standard warranty, but reserves the right to make changes to any products and services at any time without notice. Altera assumes no responsibility or liability arising out of the application or use of any information, product, or service described herein except as expressly agreed to in writing by Altera Corporation. Altera customers are advised to obtain the latest version of device specifications before relying on any published information and before placing orders for products or services.

Copyright © 1998 Altera Corporation. All rights reserved.



Altera Corporation